

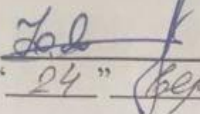


Вінницький національний технічний університет  
Факультет менеджменту та інформаційної безпеки  
Кафедра менеджменту та безпеки інформаційних систем

Рівень вищої освіти II-й (магістерський)  
Галузь знань 12 – Інформаційні технології  
Спеціальність 125 – Кібербезпека та захист інформації  
Освітньо-професійна програма - Кібербезпека інформаційних технологій та систем

**ЗАТВЕРДЖУЮ**

Голова секції УБ, кафедра МБІС

 **Юрій ЯРЕМЧУК**  
" 24 " Вересня 2025 р.

### ЗАВДАННЯ

на магістерську кваліфікаційну роботу студенту

Молчан Єгор Віталійович

(прізвище, ім'я, по-батькові)

1. Тема роботи Вдосконалення методу виявлення deepfake аудіо на основі аналізу аномалій спектральних характеристик сигналу

Керівник роботи Грицак Анатолій Васильович, к.т.н., доцент кафедри  
(прізвище, ім'я, по-батькові, науковий ступінь, вчене звання)

затверджені наказом вищого навчального закладу від "24" вересня 2025 року № 313

2. Строк подання студентом роботи за тиждень до захисту

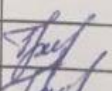
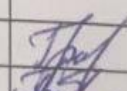
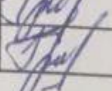
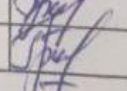
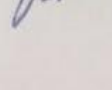
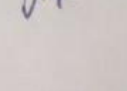
3. Вихідні дані до роботи: електронні джерела, наукові статті, існуюче програмне забезпечення, технічна документація

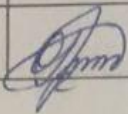
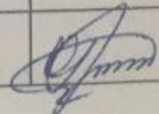
4. Зміст текстової частини: Вступ. Розділ 1. Теоретичні засади виявлення deepfake-аудіо. Розділ 2. Розробка алгоритму виявлення deepfake-аудіо.

Розділ 3. Програмна реалізація алгоритму. Висновки. Джерела. Додатки.

5. Перелік ілюстративного матеріалу (з точним зазначенням обов'язкових креслень) Поетапна реалізація проекту.

6. Консультанти розділів роботи

Розділ	Прізвище, ініціали та посада консультанта	Підпис, дата	
		завдання видав	завдання прийняв
Основна частина			
I	Грицак А.В., к.т.н., доцент кафедри		
II	Грицак А.В., к.т.н., доцент кафедри		
III	Грицак А.В., к.т.н., доцент кафедри		

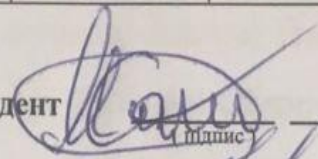
Економічна частина			
IV	Ратушняк О.Г., доцент кафедри ЕПВМ, к.т.н.		

7. Дата видачі завдання 24 вересня 2025 р.

### КАЛЕНДАРНИЙ ПЛАН

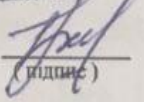
№	Назва етапів магістерської кваліфікаційної роботи	Строк виконання етапів роботи		Примітка
1	Вибір та узгодження теми	24.09.2025	30.09.2025	
2	Аналіз літературних джерел	01.10.2025	14.10.2025	
3	Побудова моделі та блок-схеми алгоритму	15.10.2025	10.11.2025	
4	Експерименти, тестування	11.11.2025	23.11.2025	
5	Оформлення	24.11.2025	28.11.2025	
6	Підготовка до захисту	29.11.2025	02.12.2025	

Студент



Молчан Є.В.

Керівник роботи



Грицак А.В.

## ABSTRACT

Molchan E.V. Improvement of the method for detecting deepfake audio based on spectral anomaly analysis. Master's thesis in specialty cybersecurity 125 – KITS-24m. – Vinnytsa, VNTU, 2025p.

In the master's thesis, a method for detecting deepfake audio recordings based on the analysis of spectral anomalies of the voice signal was developed and investigated. The work focuses on improving the reliability of identification of artificially synthesized speech generated using modern AI systems. In the general part, the essence of deepfake technologies, methods of voice synthesis and current threats related to their use are considered. The feasibility of developing advanced methods for identifying audio manipulations is substantiated.

In the research and practical sections, spectral features of signals were analyzed using MFCC, Mel-spectrograms, ZCR and Chroma coefficients; models based on CNN-BiLSTM architecture and ensemble detection methods were investigated. Particular attention is paid to the modern RAIS (Rehearsal with Auxiliary-Informed Sampling) approach, which enables adaptation to new types of synthetic audio and reduces the probability of classification error to an average of 1.95%.

A software module for detecting deepfake audio was implemented and tested. The graphical part includes spectrogram visualization, signal feature extraction schemes and model result plots.

Keywords: deepfake audio, spectral analysis, MFCC, Mel-spectrogram, audio forensics, neural network detection, RAIS.

## АНОТАЦІЯ

Молчан Є.В. Вдосконалення методу виявлення deepfake-аудіо на основі аналізу спектральних аномалій. Магістерська кваліфікаційна робота за спеціальністю Кібербезпека 125 – КІТС-24м. – Вінниця, ВНТУ, 2025р.

У магістерській роботі розроблено та досліджено метод виявлення deepfake-аудіозаписів на основі аналізу спектральних аномалій голосового сигналу. Робота спрямована на підвищення надійності розпізнавання штучно синтезованого мовлення, створеного за допомогою сучасних систем штучного інтелекту. У загальній частині розглянуто сутність технологій deepfake, методи голосового синтезу та проаналізовано сучасні загрози, пов'язані з використанням фейкових аудіозаписів. Обґрунтовано актуальність і необхідність удосконалення методів їх виявлення.

У дослідницько-практичній частині проведено спектральний аналіз сигналів із використанням MFCC-коефіцієнтів, Mel-спектрограм, показника Zero-Crossing Rate та ознак Chroma; досліджено моделі на основі архітектур CNN-BiLSTM та ансамблевих алгоритмів. Особливу увагу приділено сучасному підходу RAIS (Rehearsal with Auxiliary-Informed Sampling), який дозволяє адаптувати модель до нових типів синтезованого аудіо та знижує ймовірність помилки класифікації до середнього значення 1,95%.

Реалізовано програмний модуль для виявлення deepfake-аудіо та проведено експериментальну оцінку його ефективності. Графічна частина містить спектрограми, блок-схеми обробки сигналів та результати роботи моделі.

Ключові слова: deepfake-аудіо, спектральний аналіз, MFCC, Mel-спектрограма, виявлення аудіофейків, нейронні мережі, RAIS.

## ЗМІСТ

ВСТУП.....	7
1. ТЕОРЕТИЧНІ ЗАСАДИ ВИЯВЛЕННЯ DEEPFAKE-АУДІО... ..	9
1.1. Роль захисту звукової інформації у забезпеченні інформаційної безпеки .....	9
1.2. Огляд сучасних технологій синтезу аудіо та формування deepfake .....	10
1.3. Методи виявлення підробок у звукових даних: переваги та обмеження.....	22
1.4. Основи спектрального аналізу аудіосигналів у контексті виявлення аномалій .....	27
1.5. Висновки та постановка задачі дослідження.....	32
2. РОЗРОБКА АЛГОРИТМУ ВИЯВЛЕННЯ DEEPFAKE-АУДІО .....	34
2.1. Формулювання вимог до алгоритму .....	34
2.2. Обґрунтування вибору методів та інструментів для розробки .....	36
2.3. Побудова загальної моделі та блок-схеми алгоритму.....	39
2.4. Алгоритмічний опис етапів обробки та аналізу аудіосигналу .....	42
2.5. Визначення критеріїв ефективності алгоритму.....	47
2.6. Висновки до розділу .....	49
3. ПРОГРАМНА РЕАЛІЗАЦІЯ АЛГОРИТМУ... ..	51
3.1. Вибір середовища програмування та бібліотек для реалізації .....	51
3.2. Реалізація окремих модулів алгоритму.....	55
3.3. Інтеграція модулів та створення програмного забезпечення.....	60
3.4. Тестування алгоритму на вибірках аудіоданих.....	64
3.5. Оцінка ефективності реалізованого рішення .....	67
3.6. Висновки до розділу .....	69
4 ЕКОНОМІЧНА ЧАСТИНА .....	70
4.1 Оцінювання комерційного потенціалу розробки ПЗ.....	70
4.2 Прогнозування витрат на виконання наукової роботи та впровадження її результатів .....	77

4.3 Прогнозування комерційних ефектів від реалізації результатів розробки	82
4.4 Розрахунок ефективності вкладених інвестицій та періоду їх окупності .	84
4.5 Висновки до розділу .....	87
ВИСНОВКИ.....	71
СПИСОК ВИКОРИСТАНИХ ДЖЕРЕЛ.....	73
ДОДАТОК А. Код додатку .....	77
ДОДАТОК Б. Лістинг програми .....	83
ДОДАТОК В. Ілюстративний матеріал .....	112
ДОДАТОК Г. Протокол перевірки на антиплагіат .....	117

## ВСТУП

Сучасний розвиток технологій штучного інтелекту та глибинного навчання призвів до появи нових інструментів генерації мультимедійного контенту, серед яких особливе місце займають deepfake-технології. Спочатку ці технології позиціонувалися як засіб для створення реалістичних аудіо- та відеоефектів у розважальній сфері, проте згодом вони набули широкого поширення у сфері інформаційних атак, шахрайства та маніпуляцій громадською думкою. Зокрема, deepfake аудіо може використовуватися для імітації голосу конкретної особи, що створює серйозні ризики для безпеки та довіри у цифровому середовищі.

Зростання кількості підроблених аудіозаписів актуалізує проблему їх виявлення та протидії. Традиційні методи детекції, що базуються на статистичних характеристиках сигналу, поступово втрачають ефективність у зв'язку з удосконаленням алгоритмів синтезу мовлення. У цьому контексті особливого значення набувають підходи, що аналізують спектральні характеристики мовних сигналів, оскільки саме в спектральному просторі зберігаються відмінності між натуральними та синтетичними голосами, які не завжди помітні для слухача.

Об'єктом дослідження є процес виявлення синтетично згенерованих аудіозаписів (deepfake).

Предметом дослідження є методи аналізу спектральних характеристик сигналу для виявлення аномалій, що притаманні штучно згенерованому аудіо.

Мета роботи полягає у вдосконаленні методу виявлення deepfake аудіо шляхом використання аналізу аномалій спектральних характеристик мовних сигналів та впровадження алгоритмів, здатних підвищити точність і надійність класифікації.

Для досягнення поставленої мети у дипломній роботі передбачено виконання таких завдань:

- провести огляд існуючих методів виявлення deepfake аудіо та визначити їхні переваги й недоліки;
- дослідити спектральні характеристики реальних та синтетичних мовних сигналів;
- розробити алгоритм аналізу аномалій у спектральному просторі;
- реалізувати програмний прототип системи виявлення deepfake аудіо;
- провести експериментальні дослідження ефективності запропонованого підходу та порівняти його з відомими методами.

Наукова новизна роботи полягає у вдосконаленні методу виявлення deepfake аудіо за рахунок використання спектрального аналізу сигналів та алгоритмів машинного навчання, що дозволяє підвищити точність визначення підробленого мовлення в умовах наявності шумів і спотворень.

Практичне значення результатів полягає у можливості застосування розробленого методу у системах кібербезпеки, автоматичної перевірки автентичності аудіо, медіа-форензики та правових експертиз.

## 1. ТЕОРЕТИЧНІ ЗАСАДИ ВИЯВЛЕННЯ DEERFAKE-АУДІО

### 1.1. Роль захисту звукової інформації у забезпеченні інформаційної безпеки

Звукова інформація є одним із найважливіших носіїв даних у сучасному інформаційному суспільстві. Вона використовується у сфері комунікацій, медіа, правозастосовній практиці, банківських і фінансових операціях, а також у різноманітних інформаційних системах, що потребують ідентифікації та автентифікації користувачів. Голос людини має унікальні біометричні характеристики, які часто застосовуються як засіб захисту доступу до ресурсів та сервісів. Тому питання захисту звукової інформації безпосередньо пов'язане із забезпеченням інформаційної безпеки.

Сучасні загрози у сфері кібербезпеки включають використання технологій штучного інтелекту для створення підроблених аудіозаписів — так званих *deepfake* аудіо. Ці записи здатні імітувати голос певної особи настільки реалістично, що відрізнити їх від справжніх стає складним навіть для експертів. В умовах активного розвитку алгоритмів синтезу мовлення, що базуються на глибинному навчанні (наприклад, WaveNet, Tacotron, VITS), виникає серйозна загроза використання фальсифікованих аудіо для[1]:

- фінансового шахрайства (імітація голосу керівника компанії для переказу коштів);
- соціальної інженерії (маніпуляція співробітниками організацій шляхом підроблених голосових повідомлень);
- підриву репутації та дискредитації публічних осіб;
- поширення дезінформації у медіапросторі.

У зв'язку з цим захист звукової інформації стає одним із ключових елементів комплексної системи інформаційної безпеки. Він передбачає не лише забезпечення конфіденційності переданих даних, але й гарантію їх автентичності та цілісності. Якщо раніше основну увагу приділяли

криптографічним методам захисту каналів передавання даних, то нині актуальним стає завдання перевірки достовірності самого змісту аудіозаписів.

Особливу роль у цьому відіграють методи цифрової обробки сигналів, які дозволяють виявляти приховані ознаки підробки. Так, у спектральному просторі зберігаються тонкі відмінності між реальним і синтетичним мовленням, що можуть бути використані для побудови систем автоматичного розпізнавання deepfake аудіо. Інтеграція таких систем у процеси кіберзахисту організацій дозволяє значно підвищити рівень захищеності інформаційних ресурсів[2].

Захист звукової інформації має стратегічне значення у забезпеченні інформаційної безпеки, оскільки він є критично важливим для запобігання витоку, підробці та несанкціонованому використанню аудіоданих. Ефективне виявлення аномалій у мовних сигналах дає можливість мінімізувати ризики, пов'язані з використанням deepfake-технологій, та сприяє формуванню довіри до інформаційних систем.

## **1.2. Огляд сучасних технологій синтезу аудіо та формування deepfake**

Розвиток технологій глибинного навчання призвів до якісного зростання можливостей у сфері синтезу аудіо. Якщо перші системи синтезу мовлення будувалися на основі конкатенаційних та формантних методів, які мали значні обмеження у природності та виразності звучання, то сучасні підходи дозволяють створювати аудіозаписи, майже не відмінні від людського мовлення. Саме це стало підґрунтям для появи феномену deepfake аудіо.

Сучасні технології синтезу аудіо ґрунтуються на використанні нейронних мереж, зокрема [3]:

1. WaveNet (DeepMind, 2016)
2. Tacotron і Tacotron 2 (Google)
3. FastSpeech, FastSpeech 2

4. VITS (Variational Inference Text-to-Speech)
5. Voice Cloning
6. Generative Adversarial Networks (GANs)

WaveNet — це генеративна модель сирого звукового сигналу, запропонована командою DeepMind у 2016 році. Основна ідея WaveNet полягає в прямому моделюванні хвильового (raw-waveform) аудіо на рівні сэмплів замість традиційного попереднього представлення у вигляді параметричних моделей або спектральних бінів. Такий підхід дозволяє моделі навчитися захоплювати тонкі тимбральні, фазові та тимчасові залежності в аудіосигналі і в результаті генерувати високоякісний, природний звук.

Принципова формалізація (авторегресивна модель).

WaveNet моделює розподіл аудіосигналу  $x = (x_1, x_2, \dots, x_T)$  як добуток умовних розподілів по сэмплах:

$$p(x) = \prod_{t=1}^T p(x_t | x_{<t})$$

тобто кожний наступний сэмпл передбачається на підставі попередніх. Навчання виконується максимізацією правдоподібності (еквівалентно мінімізації крос-ентропії при дискретному квантуванні виходу).

Квантування і вихідний простір.

Для чисельно стабільної та зручної задачі генерації WaveNet у першій реалізації застосовує  $\mu$ -law компресію ( $\mu$ -law companding) та 8-бітне квантування (256 рівнів). Це дає на виході категоріальний розподіл над 256 класами і дозволяє використовувати softmax + крос-ентропію як функцію втрат. Пізніші варіанти застосовували більш тонку параметризацію (наприклад, mixture of logistics) для безперервних значень.

Архітектура: каузальні дилатовані згортки.

Ключовий елемент архітектури — стек каузальних (causal) сверточних шарів з дилатацією (dilated causal convolutions). Каузальні згортки гарантують, що при прогнозуванні  $x_t$  використовуються тільки попередні сэмпли  $x_{<t}$ . Дилатація дозволяє швидко розширювати рецептивне поле без значного збільшення глибини мережі [4].

Типове налаштування: в одному стеку шари мають дилатації, що подвоюються: 1, 2, 4, 8, ...,  $2^{\{N-1\}}$ . Повторення такого стека кілька разів дає велике рецептивне поле. Формула рецептивного поля для випадку ядра ширини  $k$  і сумарних дилатацій  $D_{\text{sum}}$ :

$$\text{receptive\_field} = (k - 1) * D_{\text{sum}} + 1.$$

Наприклад, при  $k = 2$  і дилатаціях 1,2,4,...,512 (10 шарів) сума дилатацій  $= 1+2+4+\dots+512 = 2^{\{10\}}-1 = 1023$ , отже рецептивне поле  $= 1*1023 + 1 = 1024$  сэмпли. При частоті 16 kHz це  $\approx 1024 / 16000 \approx 0.064$  с (64 ms).

Решітка блоків і гейтована активація.

Кожен шар-«блок» містить гейтовану активацію (в натхненні від PixelCNN): для вхідного сигналу  $x$  шар обчислює

$$z = \tanh(W_f * x + V_f * c) \odot \text{sigmoid}(W_g * x + V_g * c),$$

де  $W_f$ ,  $W_g$  — параметри згортки,  $V_f$ ,  $V_g$  — параметри умовної ін'єкції (якщо є conditioning  $c$ ), а  $\odot$  — поелементне множення (gating). Вихід блоку розділяється на дві частини: частина йде у накопичувальний skip-зв'язок (skip connection) до фінального softmax-шару, інша частина повертається через residual-зв'язок у наступні шари. Така архітектурна схема (residual + skip connections) поліпшує оптимізацію і дозволяє будувати дуже глибокі моделі.

WaveNet підтримує два механізми умовності: глобальну (наприклад, ідентифікатор мовця) та локальну (часова послідовність характеристик, наприклад мел-спектрограма). Локальний conditioning зазвичай подається як додатковий вхід  $c(t)$ , який аплікується до кожного блоку (через  $1 \times 1$  згортки або афінні перетворення) і дозволяє моделі генерувати звук з урахуванням зовнішньої інформації — це застосовується у TTS, де WaveNet виступає як вокодер, що перетворює мел-спектрограми в хвильові дані.

Початково WaveNet у перших експериментах використовував softmax над 256 рівнями  $\mu$ -law квантування і мінімізував крос-ентропію. Навчання ведеться методом стохастичного градієнтного спуску (наприклад, Adam). Навчальний процес — стандартний teacher-forcing: модель при навчанні бачить справжні попередні сэмпли як контекст.

Оскільки WaveNet — авторегресивна модель, під час генерації кожен наступний сэмпл вибирається послідовно, використовуючи вже згенеровані попередні сэмпли. Це призводить до високих вимог до часу інференсу (генерація у реальному часі на CPU/GPU — повільна). Поява відповідних апаратних оптимізацій і наступних методів (Parallel WaveNet, WaveRNN, WaveGlow та інші) була спрямована якраз на прискорення синтезу [5].

Переваги WaveNet.

— Генерує дуже природний і реалістичний звук, значно кращий за традиційні формантні або конкатенаційні підходи.

— Здатен моделювати тонкі фазові й тимбральні деталі, що важливо для природної інтонації.

— Гнучкий у частині conditioning — може працювати як універсальний вокодер для TTS з вхідними мел-спектрограмами або керуватися іншою інформацією (speaker id, prosody тощо).

Недоліки та обмеження.

— Повільний авторегресивний інференс (послідовне генерування).

— Високі обчислювальні витрати при навчанні і генерації.

— Потребує великої кількості навчальних даних для високої якості синтезу конкретних голосів.

— Початкова реалізація вимагає попереднього квантування ( $\mu$ -law) — інформаційні втрати через 8-бітне квантування компенсуються моделлю, але для деяких застосувань можлива інша параметризація.

WaveNet став популярним як високоякісний вокодер у поєднанні з моделями, що породжують мел-спектрограми (Tacotron, Tacotron2). Комбінація Tacotron2 + WaveNet дає дуже природне TTS-звучання. Саме через таку якість WaveNet і подібні підходи стали частиною ланцюга генерації високоякісних voice-cloning/ deepfake систем.

Щоб вирішити проблему швидкості, з'явилися варіанти ідей: Parallel WaveNet (distillation, зведення в непослідовну модель), WaveRNN (рекурентний підхід з одним сэмпл-уровнем RNN для швидшого синтезу),

WaveGlow (normalizing flows для паралельної генерації), ClariNet, MelGAN та інші. Вони або знижують вартість генерації, або змінюють параметризацію виходу (наприклад, mixture of logistics) для кращої якості без 8-бітного квантування.

WaveNet 2016 року — це проривна архітектура генерації сирого аудіосигналу, яка змінила підхід до синтезу мови й сильно вплинула на розвиток TTS і voice-cloning технологій. Її сила — у безпосередньому моделюванні сирого сигналу та здатності уловлювати тонкі акустичні деталі; її слабкість — у високих обчислювальних витратах і повільності авторегресивного інференсу. Багато наступних робіт прямо спиралися на ідеї WaveNet, удосконалюючи їх як для якості синтезу, так і для практичної швидкодії [6].

асотрон — це модель, запропонована компанією Google у 2017 році для завдання синтезу мовлення з тексту (TTS — Text-to-Speech). Основною ідеєю стала відмова від традиційних лінгвістичних ознак та ручного проектування особливостей мовного сигналу. Модель забезпечила кінець-у-кінець перетворення тексту в спектральне подання мовлення.

Tacotron працював у два етапи: спочатку текст перетворювався в мел-спектрограму, а потім ця спектрограма відновлювалася в аудіосигнал за допомогою класичного вокодера Griffin-Lim. Архітектура включала енкодер-декодер з attention-механізмом, що дозволяло враховувати залежності між текстом і часовою структурою сигналу. Енкодер переводив послідовність символів у приховані вектори, тоді як декодер послідовно генерував спектральні кадри. Для згладжування й покращення спектрограм застосовувався CBHG-модуль (Convolutional Bank, Highway network, GRU).

У 2018 році Google представила Tacotron 2, який став суттєвим кроком уперед у порівнянні з попередником. Головним удосконаленням стало використання WaveNet як нейронного вокодера замість Griffin-Lim. Це дозволило значно підвищити природність мовлення, передати інтонаційні та тембральні особливості, а також зменшити спотворення [7].

Архітектурно Tacotron 2 складається з двох основних модулів:

1. Енкодер-декодер з attention, який перетворює текст у мел-спектрограму.
2. WaveNet-вокодер, який генерує високоякісний аудіосигнал на основі отриманої спектрограми.

Модель показала результати, близькі до природного людського мовлення, і значно перевищила попередні TTS-системи. Крім того, Tacotron 2 здатний моделювати паузи, інтонації, акценти та навіть емоційне забарвлення голосу.

Застосування Tacotron 2:

- інтеграція у голосові асистенти (Google Assistant, Alexa, Siri);
- синтез аудіокниг та автоматичний дубляж відео;
- створення допоміжних технологій для людей із порушеннями мовлення чи зору;
- генерація голосів для мультимедійних додатків та відеоігор.

З точки зору теми виявлення deepfake-аудіо, Tacotron 2 є важливим прикладом сучасних генеративних моделей, що створюють майже ідеально правдоподібні голоси. Аналізуючи їхні спектральні характеристики, можна будувати алгоритми розпізнавання синтетичного мовлення та визначати критерії ефективності таких систем.

FastSpeech — це модель синтезу мовлення, представлена Microsoft у 2019 році як розвиток ідей Tacotron. Основною метою її створення було усунення проблем, властивих моделям на основі autoregressive-декодерів, зокрема низької швидкості синтезу та нестабільності при генерації довгих послідовностей.

Tacotron і подібні моделі генерували мел-спектрограми кадр за кадром у послідовному режимі (autoregressive), що робило синтез повільним і схильним до помилок накопичення (наприклад, повторів чи пропусків слів). FastSpeech вирішує цю проблему, використовуючи non-autoregressive підхід, тобто синтез

відбувається паралельно для всіх кадрів спектрограми, що суттєво прискорює процес [8].

Архітектура FastSpeech складається з:

1. Енкодера тексту — перетворює вхідні символи у приховане представлення.
2. Duration Predictor — прогнозує тривалість вимови кожного символу (скільки кадрів спектрограми потрібно для його відтворення).
3. Length Regulator — розтягує чи стискає послідовність прихованих векторів відповідно до прогнозованої тривалості.
4. Декодера — генерує мел-спектрограму з урахуванням отриманих даних.
5. Вокодера (наприклад, WaveGlow чи HiFi-GAN) — перетворює спектрограму у звуковий сигнал.

Основні переваги FastSpeech:

- висока швидкість синтезу (у десятки разів швидше за Tacotron);
- стабільність генерації — відсутність проблем з повтореннями чи пропусками;
- можливість контролювати тривалість, висоту тону та гучність мовлення.

У 2020 році була представлена удосконалена модель FastSpeech 2, яка зберегла ключові ідеї попередника, але додала нові можливості:

- покращений Duration Predictor, що зменшив похибки у довжині звуків;
- введення додаткових предикторів — Pitch Predictor та Energy Predictor, які дозволяють контролювати інтонацію і гучність мовлення;
- краща якість спектрограм, що наблизило синтезований голос до людського за природністю.

Таким чином, FastSpeech 2 став ще більш гнучким інструментом, придатним для моделювання різних стилів і емоцій у мовленні. Він показав

якість, близьку до Tacotron 2 у поєднанні з WaveNet, але при цьому забезпечив значно більшу швидкість синтезу [9].

#### Застосування FastSpeech і FastSpeech 2:

- системи синтезу мовлення у режимі реального часу (наприклад, перекладачі чи голосові асистенти);
- створення кастомізованих голосів для комерційних продуктів;
- використання у мультимедіа (ігри, відео, анімація);
- медичні та освітні застосування (системи для людей із вадами мовлення чи зору).

У контексті виявлення deepfake-аудіо моделі FastSpeech і FastSpeech 2 мають особливе значення, оскільки вони поєднують високу якість синтезу з масштабованістю та швидкістю генерації. Це робить їх потенційно небезпечними для створення великої кількості підроблених голосових даних, а отже — особливо важливими для розробки алгоритмів виявлення фейків за спектральними та просодичними характеристиками.

Модель VITS (Variational Inference Text-to-Speech), представлена у 2021 році дослідниками компанії *Kakao Brain*, стала справжнім проривом у сфері синтезу мовлення. На відміну від попередніх систем, таких як Tacotron чи FastSpeech, які працювали у два етапи — спочатку генерували спектрограму, а потім відновлювали її у звуковий сигнал за допомогою окремого вокодера, VITS поєднала ці процеси в єдиній архітектурі. Такий підхід дозволив значно підвищити як якість синтезу, так і швидкість генерації мовлення [9].

Головна ідея VITS полягає у використанні ймовірнісних методів моделювання сигналу. Архітектура моделі заснована на варіаційній інференції, яка дозволяє навчати систему відтворювати розподіл мовних ознак, роблячи синтезоване мовлення більш природним і варіативним. Це означає, що модель не просто відтворює "усереднений" голос, а здатна передавати інтонаційні нюанси, тембральні особливості та емоційне забарвлення. Важливою частиною архітектури є нормалізаційні потоки (flow-based моделі), які дають змогу напряму перетворювати латентні

представлення у хвильову форму сигналу. Додатково вбудований генеративно-змагальний механізм (GAN) підвищує реалістичність звучання: спеціальний дискримінатор «перевіряє», наскільки згенероване мовлення схоже на справжнє, змушуючи модель вдосконалювати результат[10].

Завдяки такій побудові VITS не лише досягла високої точності відтворення голосу, але й забезпечила виняткову гнучкість. Вона здатна працювати не тільки як система синтезу мовлення з тексту, але й як інструмент для конверсії голосу, змінюючи голос однієї людини на голос іншої, або створюючи багатомовні й стилізовані варіанти мовлення. Це відкриває широкі можливості для мультимедійної індустрії, автоматизованого дубляжу фільмів, озвучення ігор чи створення віртуальних дикторів. Крім того, персоналізація голосів робить VITS корисною для мобільних застосунків, освітніх сервісів і технологій для людей з особливими потребами.

Разом з тим, саме завдяки своїй реалістичності VITS становить значну загрозу в контексті deepfake-технологій. Вона здатна настільки точно відтворювати голос конкретної людини, що навіть досвідченим слухачам важко відрізнити синтетичне мовлення від справжнього. Це створює ризики шахрайських дзвінків, маніпуляцій та інших зловживань. Для дослідників у сфері інформаційної безпеки така модель стає не лише викликом, але й об'єктом вивчення. Попри надзвичайну якість звучання, у мовленні, створеному VITS, можна виявити аномалії у спектральних характеристиках — наприклад, у фазових компонентах чи високочастотних ділянках сигналу, які відрізняють його від природного голосу. Саме ці особливості можуть слугувати основою для побудови алгоритмів виявлення підробок[11].

Отже, VITS є одним із найпотужніших прикладів сучасних генеративних моделей у сфері синтезу мовлення. Вона не лише продемонструвала новий рівень якості у завданнях TTS, але й визначила напрямок подальших досліджень у галузі захисту від deepfake-аудіо, роблячи завдання аналізу спектральних аномалій особливо актуальним.

Voice Cloning — це технологія синтезу голосу, яка дозволяє створити аудіозапис, максимально схожий на голос конкретної людини, використовуючи обмежену кількість її реальних зразків. На відміну від стандартних систем TTS, які генерують універсальний або попередньо навчені голоси, voice cloning орієнтується на персоналізацію, відтворюючи унікальні тембр, інтонації та ритм мови конкретного мовця.

Сучасні системи voice cloning використовують глибинні нейронні мережі, комбінуючи моделі, що аналізують спектральні характеристики мовлення, та генеративні моделі для синтезу звуку. Зазвичай процес складається з двох етапів. Спершу система аналізує надані аудіозаписи, формуючи векторну репрезентацію голосу (voice embedding), яка кодує індивідуальні особливості мовця. Далі отриманий вектор використовується як умовна інформація для генеративної моделі, яка створює нові аудіосигнали з тексту, максимально схожі на голос оригінального мовця[12].

Системи voice cloning можуть працювати з дуже короткими фрагментами аудіо — іноді достатньо всього кількох секунд запису, щоб відтворити голос з високим ступенем реалістичності. Така технологія застосовується у численних сферах: від персоналізованих голосових асистентів до дубляжу відео, озвучення аудіокниг та ігор, а також у медичних та освітніх програмах для створення голосів для людей із вадами мовлення.

Разом з тим, voice cloning є однією з найбільш чутливих і ризикованих технологій у контексті інформаційної безпеки. Вона дозволяє створювати аудіо, яке може обманювати слухачів, підробляти телефонні дзвінки, озвучувати фейкові повідомлення та поширювати дезінформацію. Тому розробка ефективних алгоритмів виявлення підробленого мовлення базується, зокрема, на аналізі спектральних, просодичних і тимчасових характеристик сигналу, що відрізняються у синтетичних голосів від реальних.

У контексті дослідження deepfake-аудіо voice cloning займає центральне місце як приклад високоякісного синтетичного голосу. Аналізуючи аудіозаписи, згенеровані за допомогою таких систем, можна виявляти аномалії

у частотних характеристиках, тимчасових структурах та гармонічних компонентах сигналу, що стає основою для розробки ефективних детекторів підробленого аудіо[13].

Таким чином, voice cloning демонструє не лише технічний прогрес у синтезі голосу, але й одночасно підкреслює необхідність розробки надійних методів захисту інформаційної безпеки в умовах розвитку deepfake-технологій.

Generative Adversarial Networks (GANs) — це клас глибинних генеративних моделей, запропонований Ієном Гудфеллоу у 2014 році, який радикально змінив підходи до створення синтетичних даних. Основна ідея GAN полягає у моделюванні двох нейронних мереж, що навчаються у протистоянні одна з одною: генератор намагається створювати дані, максимально наближені до реальних, тоді як дискриміратор оцінює, наскільки ці дані відповідають справжнім прикладам. Завдяки такому змагальному процесу генератор поступово навчається створювати дедалі реалістичніші дані[14].

У контексті синтезу аудіо та TTS, GAN дозволяє отримувати високоякісні, природні звукові сигнали, які важко відрізнити від справжніх. На відміну від традиційних вокодерів, які часто давали штучне або «металеве» звучання, генеративно-змагальні моделі здатні відтворювати нюанси інтонацій, тембру та емоційного забарвлення голосу. Це особливо важливо при роботі з моделями типу Tacotron 2, FastSpeech 2 або VITS, де використання GAN у якості вокодера дозволяє підвищити природність мовлення до рівня, майже не відрізняного від людського.

Навчання GAN вимагає балансу між генератором і дискриміратором. Якщо дискриміратор занадто сильний, генератор не може виробляти реалістичні дані; якщо генератор переважає, дискриміратор втрачає здатність відрізнити справжні й синтетичні приклади. У задачах аудіо це ускладнюється високою розмірністю сигналу та складністю спектральних характеристик мовлення, що робить навчання GAN більш тонким і ресурсомістким процесом.

З точки зору безпеки інформації та аналізу deepfake-аудіо, GAN є ключовим інструментом, оскільки саме ці моделі часто лежать в основі систем, здатних генерувати високоякісні підроблені голоси. Аналіз спектральних аномалій та тимчасових структур сигналу, згенерованого за допомогою GAN, дозволяє виявляти підробки, які важко розпізнати людським слухом. Саме тому вивчення GAN та їхнього застосування у синтезі аудіо є критично важливим для розробки алгоритмів детекції deepfake-мовлення[15].

GAN демонструє не лише технологічний прорив у сфері генерації даних, але й одночасно створює нові виклики для інформаційної безпеки. Ці мережі стали основою для багатьох сучасних систем синтезу голосу, включно з голосовими клонерами та передовими моделями TTS, що підкреслює їхнє значення в контексті виявлення підробок аудіосигналів.

Поява зазначених технологій зумовила швидке поширення deepfake аудіо. На відміну від традиційних TTS-систем, вони здатні не лише відтворювати мову, але й повністю імітувати голос конкретної людини з характерними інтонаціями та манерою мовлення.

Разом із розвитком цих технологій виникають і значні ризики. Deepfake аудіо активно використовується у шахрайських схемах, політичних маніпуляціях, дискредитації публічних осіб та кібератаках. Це створює серйозні виклики для систем інформаційної безпеки, оскільки традиційні методи автентифікації за голосом стають менш надійними.

Сучасні технології синтезу аудіо, незважаючи на їхні значні переваги для сфери автоматизації та комунікацій, водночас формують підґрунтя для розвитку deepfake-технологій, що вимагає вдосконалення методів їх виявлення та протидії.

### **1.3. Методи виявлення підробок у звукових даних: переваги та обмеження**

З розвитком технологій генерації та модифікації аудіосигналів виникає необхідність у створенні ефективних методів виявлення підробок у звукових даних. Існує декілька основних підходів, які використовуються в сучасних дослідженнях і практичних системах, кожен з яких має свої переваги та обмеження.

Методи виявлення підробок у аудіо на основі акустичних ознак ґрунтуються на аналізі класичних характеристик звукового сигналу. Суть підходу полягає у вивченні спектральних, тимчасових та тональних особливостей мовлення, які зазвичай добре описують природний людський голос. До таких характеристик належать мел-частотні кепстральні коефіцієнти (MFCC), які відображають енергетичний розподіл сигналу у частотній області, спектральні енергетичні показники, тональні та інші параметри, що визначають тембр і ритміку мовлення. Аналіз цих ознак дозволяє виявляти закономірності та відхилення у структурі сигналу, які можуть вказувати на його синтетичне походження[16].

Методи на основі акустичних ознак мають низку переваг, що робить їх привабливими для практичного застосування. Зокрема, вони характеризуються відносною простотою реалізації та високою швидкістю обробки, що дозволяє проводити аналіз аудіозаписів у режимі реального часу. Крім того, ці методи є ефективними навіть при обмежених обсягах навчальних даних, що важливо для задач, де доступ до великих наборів прикладів синтетичного мовлення обмежений.

Водночас ці підходи мають і певні обмеження. Сучасні генеративні моделі синтезу мовлення, такі як Tacotron 2, VITS або FastSpeech 2, здатні відтворювати акустичні ознаки голосу з високою точністю, що значно ускладнює детекцію підробок за допомогою класичних характеристик. Такі методи часто не в змозі виявляти тонкі аномалії у фазових компонентах сигналу або нестандартні патерни в інтонації та тембрі, які характерні для синтетичного мовлення. Через це застосування тільки акустичних ознак для виявлення *deepfake*-аудіо може бути недостатньо ефективним у сучасних

умовах, коли синтетичне мовлення майже не відрізняється від природного на слух.

Незважаючи на це, аналіз акустичних ознак залишається важливою складовою комплексних систем виявлення підробленого аудіо. Він часто використовується у поєднанні з іншими підходами, такими як спектральний аналіз, моделі на основі машинного навчання або глибокі нейронні мережі, що дозволяє підвищити загальну точність детекції та зменшити ймовірність помилкових спрацьовувань.

Методи виявлення підробок у аудіо на основі глибокого навчання спираються на здатність нейронних мереж автоматично виділяти приховані закономірності та залежності у спектральних характеристиках сигналу. Серед найбільш поширених архітектур у цьому контексті застосовуються згорткові нейронні мережі (CNN), рекурентні мережі, зокрема LSTM та GRU, а також сучасні моделі на основі трансформерів. CNN ефективно виявляють локальні закономірності у спектрограмах, що дозволяє відрізнити синтетичне мовлення від природного за характерними спектральними патернами. RNN і LSTM, завдяки здатності обробляти послідовності даних, дозволяють враховувати тимчасові залежності у мовленні, такі як ритм, паузи та інтонаційні зміни. Трансформери, у свою чергу, забезпечують масштабовану модель обробки тривалих послідовностей аудіо, з можливістю одночасно враховувати віддалені залежності та глобальні структури сигналу.

Застосування глибокого навчання для детекції deepfake-аудіо забезпечує високу точність, оскільки мережі здатні виявляти складні нелінійні залежності, які неможливо помітити за допомогою традиційного аналізу акустичних ознак. Ці методи особливо ефективні при роботі з великими наборами даних, оскільки навчання на різноманітних прикладах синтетичного та природного мовлення дозволяє моделі добре узагальнювати інформацію та надійно виявляти підробки[17].

Водночас використання глибокого навчання має певні обмеження. Навчання таких моделей потребує значних обчислювальних ресурсів, зокрема

сучасних графічних процесорів, а також великої кількості якісно анотованих аудіозаписів. Крім того, існує ризик перенавчання, коли мережа надто точно підлаштовується під конкретні приклади навчальної вибірки і погано працює на нових даних. Для мінімізації цих проблем застосовують техніки регуляризації, аугментацію даних та комбінування різних архітектур у гібридні моделі.

Завдяки своїм можливостям глибинні нейронні мережі стали ключовим інструментом у сучасних системах виявлення deepfake-аудіо. Вони дозволяють аналізувати складні спектральні та тимчасові ознаки сигналу, що робить їх незамінними для побудови високоточних детекторів синтетичного мовлення та підвищення загальної безпеки інформації.

Методи виявлення підробленого аудіо на основі аналізу артефактів ґрунтуються на пошуку характерних дефектів у синтезованому мовленні, що виникають через обмеження сучасних генеративних моделей. Deepfake-аудіо часто містить приховані спектральні та тимчасові відхилення, які рідко зустрічаються у природній людській мові. До таких особливостей належать нерівномірність розподілу спектральних компонентів, порушення плавності інтонацій, нестабільність формант і деякі нетипові патерни у високочастотній області. Ці артефакти виникають через технічні обмеження моделей синтезу та процес генерації аудіо, що не завжди здатен точно відтворювати всі нюанси природного голосу.

Методи аналізу артефактів мають важливу перевагу: вони дозволяють виявляти специфічні помилки, які характерні саме для синтетичного мовлення і рідко зустрічаються у природному аудіо. Такі підходи корисні для швидкої ідентифікації підробок навіть за наявності обмеженої кількості даних, оскільки вони фокусуються на структурних відхиленнях сигналу, що неможливо відтворити традиційними методами акустичного аналізу.

Разом з тим, ефективність цих методів поступово знижується, оскільки сучасні генеративні моделі, такі як VITS, FastSpeech 2 або voice cloning, дедалі точніше відтворюють природні спектральні та інтонаційні характеристики

голосу. Розробники цих моделей активно працюють над мінімізацією артефактів у синтезованому мовленні, що ускладнює їхнє виявлення навіть експертами. Тому методи аналізу артефактів найчастіше використовуються у поєднанні з іншими підходами, наприклад, з глибинним навчанням або спектральним аналізом, що підвищує загальну точність детекції підробленого аудіо[18].

Таким чином, аналіз артефактів залишається важливою складовою системи виявлення deepfake-аудіо, дозволяючи фокусуватися на характерних для синтетичних голосів дефектах, які важко імітувати сучасними генеративними моделями.

Методи виявлення підробленого аудіо на основі статистичного аналізу передбачають вивчення ймовірнісних характеристик сигналу з метою визначення аномалій, що свідчать про синтетичне походження мовлення. Серед основних параметрів, які аналізуються, виділяються спектральна ентропія, кореляційні залежності між частотними компонентами та частотний розподіл сигналу. Такі показники дозволяють оцінити рівень структурованості аудіо та виявити відхилення від характерних закономірностей природного голосу.

Методи статистичного аналізу відзначаються низькими вимогами до обчислювальних ресурсів, що робить їх придатними для інтеграції у вбудовані системи або пристрої з обмеженою потужністю обробки даних. Вони дозволяють швидко проводити попередню перевірку аудіозаписів і використовуються як ефективний інструмент первинного скринінгу, що підвищує загальну продуктивність комплексних систем детекції.

Проте застосування таких методів має й певні обмеження. Через залежність від якості запису та відносно просту модель оцінки сигналу можливе виникнення високого рівня хибнопозитивних результатів. Це особливо помітно у випадках, коли аудіо має шумове забруднення або погану якість запису, що спотворює статистичні характеристики. У зв'язку з цим, методи на основі статистичного аналізу зазвичай використовуються у

поєднанні з іншими підходами — наприклад, з методами акустичних ознак або глибинного навчання — для підвищення точності та надійності виявлення підробок[19].

Гібридні методи виявлення підробленого аудіо ґрунтуються на комбінуванні декількох підходів для підвищення точності та надійності детекції. Наприклад, поєднання методів глибинного навчання з аналізом артефактів дозволяє одночасно враховувати складні спектральні та тимчасові залежності сигналу, а також специфічні дефекти, характерні для синтетичної мови. Такий підхід дає змогу більш ефективно розпізнавати синтетичне мовлення навіть у випадках, коли окремі методи, застосовані самотійно, можуть давати хибнопозитивні або хибнонегативні результати.

Основною перевагою гібридних методів є значне підвищення точності та надійності виявлення підробленого аудіо. Завдяки комбінуванню різних джерел інформації про сигнал, система здатна більш повно і комплексно оцінювати його властивості, виявляючи навіть найдрібніші аномалії, які важко зафіксувати при використанні одного методу.

Разом з тим, застосування гібридних методів пов'язане зі значною складністю реалізації. Побудова такої системи вимагає інтеграції різних алгоритмів, налаштування їх взаємодії та забезпечення ефективного оброблення великих обсягів даних. Крім того, гібридні підходи потребують високих обчислювальних ресурсів, що може ускладнювати їх застосування у реальному часі або на вбудованих пристроях[20].

Незважаючи на ці складнощі, гібридні методи залишаються одними з найперспективніших у сучасних системах виявлення deepfake-аудіо. Вони дозволяють досягти високої точності та надійності детекції, що є критично важливим для інформаційної безпеки та попередження зловживань із синтетичним мовленням.

Отже, сучасні методи виявлення підробок у звукових даних демонструють значний прогрес, проте жоден із них не є універсальним. Перспективним напрямом є використання комплексного аналізу спектральних

характеристик у поєднанні з алгоритмами штучного інтелекту, що дозволяє ефективніше ідентифікувати deepfake-аудіо навіть за умов вдосконалення технологій синтезу.

#### **1.4. Основи спектрального аналізу аудіосигналів у контексті виявлення аномалій**

Спектральний аналіз є одним із базових інструментів обробки аудіосигналів, що дозволяє досліджувати їхню структуру у частотній області. Якщо у часовій області сигнал відображає зміни амплітуди залежно від часу, то у спектральному представленні можна визначити частотний склад та енергію окремих компонентів, що є критично важливим для виявлення аномалій, пов'язаних із підробкою або синтезом звукових даних.

Дискретне перетворення Фур'є (DFT) та його оптимізована версія, швидке перетворення Фур'є (FFT), є класичними і найбільш поширеними інструментами спектрального аналізу аудіосигналів. Суть цього підходу полягає у розкладанні складного часово-залежного сигналу на сукупність гармонійних складових, кожна з яких характеризується амплітудою та фазою. Завдяки цьому можна одержати повне уявлення про частотний спектр сигналу, виявляючи домінуючі частоти, гармоніки та інші спектральні особливості, що є критично важливими для аналізу природного та синтетичного мовлення.

Основною перевагою перетворення Фур'є є його висока точність у відображенні частотних характеристик сигналу. Воно дозволяє виділяти навіть невеликі спектральні компоненти, що робить його незамінним інструментом для дослідження аудіо в задачах детекції підробок. Крім того, FFT забезпечує ефективну обчислювальну реалізацію, що дозволяє швидко отримувати спектральну інформацію навіть для тривалих аудіозаписів[21].

Проте даний підхід має і певні обмеження. Основним недоліком є відсутність інформації про часову локалізацію спектральних компонентів. Це означає, що хоча можна отримати детальну картину частотного розподілу

сигналу в цілому, важко визначити, в який момент часу з'являються ті чи інші частотні складові. У контексті виявлення deepfake-аудіо ця особливість може ускладнювати виявлення тимчасових аномалій у мовленні, таких як неприродні паузи, порушення ритму або короткі спотворення, характерні для синтетичного голосу.

Для аналізу нестационарних аудіосигналів, до яких належать мовні повідомлення, класичне перетворення Фур'є недостатньо, оскільки воно не враховує зміни частотного складу сигналу у часі. У таких випадках застосовують короткочасне перетворення Фур'є (STFT), яке дозволяє оцінювати спектральні характеристики сигналу в локальних часових вікнах. Суть методу полягає у розбитті сигналу на невеликі фрагменти, для кожного з яких обчислюється спектр за допомогою DFT. Це дає змогу отримати часово-частотну картину сигналу, що дозволяє спостерігати динаміку зміни спектральних компонентів протягом усього аудіо.

Застосування STFT забезпечує побудову спектрограм — двовимірних зображень, на яких по горизонтальній осі відображається час, по вертикальній — частота, а інтенсивність кольору або яскравість відповідає амплітуді спектральної компоненти. Такі спектрограми широко використовуються у задачах автоматичного розпізнавання мовлення, синтезу голосу, а також у виявленні аномалій, характерних для підробленого аудіо. Вони дозволяють виявляти короткочасні артефакти, порушення плавності інтонацій та інші особливості, що можуть свідчити про синтетичне походження сигналу.

Метод STFT є ефективним інструментом для спектрального аналізу мовних сигналів, оскільки поєднує можливість точного визначення частотного складу з часовою локалізацією компонентів. Це робить його базовим етапом підготовки даних для алгоритмів детекції deepfake-аудіо та інших методів аналізу аномалій у мовленні[22].

У процесі аналізу мовних сигналів важливим аспектом є врахування особливостей людського слуху, який сприймає частоти нелінійно. Саме для цього застосовується мел-шкала, що відображає психоакустичні властивості

слухового сприйняття та дозволяє коректніше моделювати сприйняття звуку людиною. На основі цієї шкали обчислюють мел-спектр — представлення сигналу, де частотна вісь розподілена відповідно до сприйняття людиною, а амплітудні характеристики відображають енергетичний зміст різних частотних компонентів мовлення.

Для більш детального опису акустичних ознак сигналу використовують мел-частотні кепстральні коефіцієнти (MFCC), які отримують шляхом додаткової обробки мел-спектра за допомогою кепстрального аналізу. MFCC дозволяють виділяти характерні характеристики мовлення, що описують форму спектра та темброві особливості голосу, при цьому усуваючи надлишкову інформацію про деталі спектру, які не суттєві для сприйняття.

У задачах виявлення deepfake-аудіо мел-спектр і MFCC відіграють особливу роль, оскільки вони дозволяють фіксувати аномалії у спектральних характеристиках сигналу, які не завжди помітні у класичному спектрі. Це можуть бути невідповідності у енергетичному розподілі частот, порушення плавності інтонацій або нетипові гармонічні структури, характерні для синтетичного голосу. Завдяки цьому аналіз мел-спектра та MFCC є однією з ключових складових сучасних алгоритмів детекції підробленого мовлення, особливо у поєднанні з методами глибинного навчання або спектрального аналізу.

Вейвлет-перетворення є сучасним інструментом часово-частотного аналізу аудіосигналів і часто використовується у задачах, де важлива одночасна оцінка спектральних та тимчасових характеристик. На відміну від короткочасного перетворення Фур'є (STFT), яке застосовує фіксоване часове вікно і таким чином забезпечує постійну роздільну здатність у частотній та часовій областях, вейвлет-аналіз забезпечує змінну роздільну здатність. Це означає, що для високих частот досягається висока точність у часовій області, а для низьких частот — висока точність у частотній області. Така властивість дозволяє більш детально відстежувати короткочасні події та швидкі зміни у сигналі, що особливо актуально для аналізу мовлення.

Завдяки своїм характеристикам, вейвлет-перетворення є перспективним для виявлення прихованих артефактів у deepfake-аудіо. Воно дозволяє фіксувати нестандартні коливання амплітуди та фази, короткі спектральні сплески, а також інші локальні аномалії, які можуть виникати в процесі синтезу мовлення сучасними генеративними моделями. Вейвлет-аналіз широко застосовується як для підготовки даних до подальшої обробки нейронними мережами, так і для безпосереднього виявлення аномалій у сигналу, що робить його ефективним інструментом у комплексних системах детекції deepfake-аудіо[23].

Застосування вейвлет-перетворення дозволяє отримати детальну часово-частотну картину сигналу та підвищити точність і надійність виявлення синтетичних голосів у порівнянні з традиційними методами спектрального аналізу.

Виявлення аномалій у спектральному просторі є ключовим підходом для детекції підробленого аудіо. Аномалії в аудіосигналах можуть проявлятися у різних формах, що відрізняють синтетичне мовлення від природного. Серед таких проявів виділяють порушення гармонійної структури сигналу, нерівномірність спектральних піків, нестабільність формант, появу сторонніх шумових компонентів, а також відсутність природної плавності змін спектра.

Сучасні генеративні моделі, хоч і здатні досить точно відтворювати інтонації та тембр голосу, не завжди ідеально відтворюють спектральні характеристики. У результаті у синтезованих аудіосигналах виникають мікроаномалії, які важко замаскувати навіть при високій якості генерації. Аналіз спектральних аномалій дозволяє зафіксувати ці нетипові особливості сигналу, що робить можливим його відокремлення від природного мовлення.

Виявлення таких аномалій зазвичай здійснюється за допомогою спектрограм, мел-спектрів, MFCC або часово-частотних представлень, що отримані за допомогою STFT або вейвлет-перетворення. Ці методи дозволяють не тільки спостерігати глобальні закономірності сигналу, але й детектувати локальні порушення, які є характерними для синтетичних голосів.

Використання цього підходу підвищує ефективність алгоритмів виявлення deepfake-аудіо та дозволяє зменшити кількість хибнопозитивних і хибнонегативних результатів.

Спектральний аналіз відіграє ключову роль у процесі виявлення підробленого аудіо, оскільки дозволяє перетворити задачу детекції синтетичного мовлення на проблему виявлення відхилень від статистичних норм природної мови. За допомогою спектрального аналізу можна досліджувати закономірності розподілу енергії по частотах, структуру гармонік, стабільність формант та інші характеристики, які важко точно відтворити сучасним генеративним моделям[24].

Реалізація цього підходу може здійснюватися різними способами. Традиційні методи статистичного аналізу дозволяють виявляти відхилення у спектрі сигналу, порівнюючи його з очікуваними характеристиками природного голосу. Крім того, сучасні алгоритми машинного навчання можуть бути навчені розпізнавати специфічні спотворення у спектрограмі або мел-спектрі, які часто залишаються непомітними при простому акустичному аналізі. Такі моделі здатні враховувати складні нелінійні залежності між частотними компонентами та їх динамікою у часі, що значно підвищує точність детекції.

Спектральний аналіз є фундаментальною основою для побудови систем виявлення deepfake-аудіо. Він забезпечує виявлення прихованих артефактів і структурних порушень у звуковому сигналі, що робить його одним із ключових елементів сучасних систем аудіофоренсики.

### **1.5. Висновки та постановка задачі дослідження**

У підсумку проведеного аналізу можна зробити висновок, що проблема виявлення підроблених аудіосигналів, створених за допомогою технологій deepfake, набуває все більшої актуальності у сфері інформаційної безпеки. Постійне вдосконалення генеративних моделей призводить до того, що

відрізнити синтетичні записи від справжніх стає дедалі складніше. Це створює низку загроз, серед яких дезінформаційні кампанії, шахрайські схеми, підробка голосових доказів у юридичній практиці та маніпуляція суспільною думкою.

Аналіз існуючих підходів продемонстрував, що традиційні методи, засновані на акустичних ознаках, часто є недостатньо надійними проти сучасних технологій синтезу. Методи глибинного навчання показують високу точність, проте вимагають великих ресурсів та обсягів даних для навчання. Одним із найбільш перспективних напрямів виявився спектральний аналіз, який дозволяє виявляти приховані відхилення у структурі сигналу, що виникають унаслідок штучної генерації.

Виходячи з цього, у даній роботі ставиться завдання вдосконалення методу виявлення deepfake-аудіо шляхом аналізу спектральних характеристик сигналу з подальшим виявленням аномалій, характерних для синтетичних голосових повідомлень. Для реалізації поставленої мети необхідно дослідити сучасні методи спектрального аналізу, відібрати найбільш інформативні ознаки для ідентифікації підробок, розробити алгоритм виявлення аномалій та створити програмний прототип системи, здатної автоматично визначати наявність ознак штучної генерації у звуковому записі.

## 2. РОЗРОБКА АЛГОРИТМУ ВИЯВЛЕННЯ DEERFAKE-АУДІО

### 2.1. Формулювання вимог до алгоритму

Розробка алгоритму виявлення підроблених аудіозаписів на основі аналізу спектральних характеристик вимагає визначення низки функціональних і нефункціональних вимог, які забезпечать його ефективність, надійність та практичну придатність.

Функціональні вимоги

#### 1. Попередня обробка вхідного сигналу

Алгоритм має здійснювати комплексну підготовку аудіофайлу перед основним аналізом. Це включає нормалізацію гучності для усунення різниці в рівнях сигналу між різними записами, видалення фонового шуму та інших артефактів, а також приведення аудіо до єдиного формату (частота дискретизації, кількість каналів, бітрейт). Така обробка забезпечує однорідність даних та підвищує точність подальшого аналізу.

#### 2. Перетворення сигналу у спектральну область

Для виявлення характерних ознак синтетичного сигналу алгоритм повинен здійснювати перетворення сигналу у спектральну область. Це може бути короткочасне перетворення Фур'є (STFT), мел-спектр (Mel-spectrogram) або вейвлет-перетворення. Використання спектральних представлень дозволяє оцінити розподіл енергії в частотній області та виявити аномалії, характерні для deepfake-аудіо.

#### 3. Виділення інформативних ознак

Алгоритм повинен автоматично екстрагувати ключові ознаки сигналу, які чутливі до аномалій у результаті синтезу. Це включає, зокрема, мел-кепстральні коефіцієнти (MFCC), спектральну ентропію, формантні характеристики та інші статистичні та спектральні показники. Вибір ознак має забезпечувати високу диференціацію між справжніми та штучно згенерованими голосами.

#### 4. Блок виявлення аномалій

Необхідно реалізувати модуль, який аналізує спектральні та статистичні відхилення у сигналу. Блок виявлення аномалій повинен приймати на вхід виділені ознаки та приймати рішення про належність сигналу до класу справжніх записів або штучно згенерованих. Важливо, щоб алгоритм надавав також показник впевненості (confidence score) результату класифікації.

#### 5. Стійкість до варіацій сигналу

Алгоритм має коректно працювати як з короткими фрагментами мовлення (5–10 секунд), так і з довгими записами (до кількох хвилин). При цьому система повинна бути стійкою до змін тембру, інтонації, швидкості мовлення та інших природних варіацій голосу, забезпечуючи надійність класифікації незалежно від тривалості та якості запису.

#### 6. Адаптація до різних мов та голосових характеристик

Алгоритм повинен передбачати можливість адаптації для роботи з різними мовами, акцентами та індивідуальними особливостями голосу. Це забезпечує універсальність системи та дозволяє застосовувати її для широкого спектру аудіоматеріалів, включаючи мультикультурні та багатомовні дані.

#### Нефункціональні вимоги

##### 1. Точність та надійність

Алгоритм повинен забезпечувати високу точність класифікації аудіозаписів з мінімальною кількістю хибнопозитивних та хибнонегативних результатів. Це дозволяє гарантувати надійність системи при практичному застосуванні та підвищує довіру користувачів до отриманих результатів.

##### 2. Продуктивність та час обробки

Система має працювати в режимі, придатному для інтерактивного використання. Час обробки одного аудіозапису повинен знаходитися у межах декількох секунд, що забезпечує оперативність аналізу та зручність для кінцевого користувача.

##### 3. Масштабованість та сумісність

Реалізація алгоритму повинна бути масштабованою, з можливістю обробки аудіофайлів різної тривалості та обсягу. Також передбачена сумісність з сучасними бібліотеками для машинного навчання та цифрової обробки сигналів, що дозволяє інтегрувати нові методи та покращувати точність моделі.

#### 4. Стійкість до шумів та компресії

Алгоритм має зберігати ефективність при наявності фонового шуму, змінній якості запису або використанні різних форматів та ступенів компресії аудіо. Це забезпечує стабільність результатів навіть у реальних умовах збору даних.

#### 5. Інтегрованість у інформаційні системи

Розроблений метод повинен мати можливість інтеграції у програмні комплекси інформаційної безпеки, системи аудіофоренсики та інші прикладні рішення для верифікації аудіоконтенту. Це підвищує практичну цінність розробленої системи та дозволяє використовувати її у промислових та наукових застосуваннях.

Таким чином, сформульовані вимоги орієнтовані на створення алгоритму, здатного виявляти підроблені аудіозаписи з високим рівнем надійності, зберігаючи водночас ефективність і адаптивність до різних умов застосування.

## **2.2. Обґрунтування вибору методів та інструментів для розробки**

У процесі розробки алгоритму виявлення підроблених аудіозаписів важливим етапом є вибір методів та інструментів, які забезпечуватимуть необхідний рівень точності, швидкодії та стійкості до різних умов роботи. Основна увага приділяється спектральному аналізу сигналу, оскільки саме в частотній області найчастіше проявляються приховані аномалії, притаманні синтетично згенерованому мовленню.

Для дослідження часово-частотної структури аудіосигналів доцільним є застосування короткочасного перетворення Фур'є (Short-Time Fourier Transform, STFT). Цей метод дозволяє розбивати сигнал на короткі сегменти та обчислювати спектр для кожного з них, що дає змогу будувати спектрограми та відслідковувати динаміку зміни частотних компонентів у часі. Оскільки мовний сигнал є нестационарним і його характеристики змінюються у процесі вимови, використання STFT забезпечує отримання інформативних ознак, які можуть свідчити про наявність штучних спотворень або аномалій, характерних для синтетично згенерованих голосів[25].

Особливо важливим є застосування мел-шкали для частотного аналізу. Мел-шкала відображає особливості людського слухового сприйняття, акцентуючи увагу на тих частотах, які найбільш значущі для людини. У цьому контексті широко використовуються мел-частотні кепстральні коефіцієнти (MFCC), які дозволяють виділяти ключові акустичні характеристики сигналу. MFCC ефективно використовуються у задачах розпізнавання мовлення та дозволяють відокремлювати природні голоси від синтетичних за рахунок виявлення характерних відмінностей у спектральній структурі.

Для більш детального аналізу локальних особливостей сигналу та виявлення артефактів, які можуть залишатися непомітними при традиційному спектральному аналізі, доцільно залучати вейвлет-перетворення. Воно забезпечує змінну роздільну здатність по частоті та часу, що дозволяє більш точно відстежувати короткочасні аномалії, локальні зсуви або високочастотні шуми, характерні для процесів синтезу голосу. Комбінування STFT, мел-шкали та вейвлет-перетворення дозволяє отримати максимально інформативні ознаки для ефективного виявлення deepfake-аудіо[26].

Щодо методів обробки та класифікації аудіосигналів, найбільш ефективним підходом є комбінування традиційного статистичного аналізу та сучасних методів машинного навчання. Статистичні характеристики сигналу, такі як спектральна ентропія, щільність потужності сигналу (Power Spectral Density, PSD), автокореляційні функції та інші спектральні моменти,

дозволяють оперативно визначати відхилення від типових параметрів природного мовлення. Такі ознаки є особливо корисними для виявлення грубих артефактів або невідповідностей у синтетично згенерованих голосах.

Водночас застосування глибинного навчання, зокрема згорткових (CNN) та рекурентних нейронних мереж (RNN), надає можливість автоматично виявляти складні приховані закономірності у спектральних ознаках, які можуть залишатися непомітними при класичному статистичному аналізі. CNN ефективно виділяють просторово-частотні патерни у спектрограмах, тоді як RNN дозволяють моделювати часові залежності у мовленні, що підвищує точність класифікації [27].

Такий комбінований підхід є доцільним з огляду на зростаючу складність сучасних генеративних моделей голосу, які прагнуть мінімізувати кількість очевидних артефактів, що робить чисто статистичні методи недостатньо надійними. Поєднання статистичних та ML-підходів забезпечує більш стійке та точне виявлення deepfake-аудіо навіть у випадках високоякісного синтезу голосу.

Для практичної реалізації алгоритму виявлення deepfake-аудіо було обрано мову програмування Python, що обумовлено її багатою екосистемою наукових бібліотек та гнучкістю у розробці систем штучного інтелекту. Для роботи з аудіосигналами використовуються бібліотеки librosa та scipy, які забезпечують можливості спектрального аналізу, обчислення спектрограм та інших часово-частотних характеристик сигналу. Для більш детального аналізу локальних особливостей сигналу, зокрема виявлення малопомітних артефактів, застосовується бібліотека pywavelets, що дозволяє виконувати вейвлет-перетворення з адаптивною роздільною здатністю.

Реалізація алгоритмів машинного та глибинного навчання здійснюється за допомогою таких фреймворків, як scikit-learn, TensorFlow та PyTorch, що дає змогу інтегрувати класичні методи класифікації, алгоритми виявлення аномалій, а також складні нейронні мережі (згорткові та рекурентні) для

автоматичного виділення прихованих закономірностей у спектральних ознаках.

Для оцінки ефективності розробленого алгоритму передбачено використання відкритих наборів даних, зокрема ASVspoof, FakeAVCeleb та WaveFake, які містять як реальні аудіозаписи, так і синтетично згенеровані голоси. Це забезпечує можливість всебічного тестування алгоритму та порівняння його точності на різноманітних вибірках аудіо з різними умовами запису та якістю синтезу.

Отже, обґрунтований вибір методів і програмних інструментів дозволяє побудувати алгоритм, що поєднує можливості спектрального аналізу та машинного навчання. Це забезпечує стійке виявлення аномалій у звукових даних, високу точність класифікації та гнучкість застосування алгоритму в реальних умовах інформаційної безпеки.

### **2.3. Побудова загальної моделі та блок-схеми алгоритму**

Розробка алгоритму виявлення deepfake-аудіо на основі спектрального аналізу передбачає створення загальної моделі, яка відображатиме послідовність обробки сигналу та логіку прийняття рішення. Така модель дозволяє формалізувати процес виявлення аномалій, визначити ключові етапи аналізу та встановити взаємозв'язки між ними.

Загальна модель алгоритму виявлення deepfake-аудіо складається з кількох послідовних етапів обробки. На першому етапі здійснюється збір вхідних даних, що включає аудіозаписи природного мовлення та потенційно синтетично згенеровані записи. На цьому кроці особлива увага приділяється забезпеченню сумісності формату аудіо та підтримці різних джерел запису, що дозволяє алгоритму працювати з різноманітними умовами отримання сигналу.

На наступному етапі проводиться попередня обробка сигналу, яка передбачає нормалізацію амплітуди, усунення фонових шумів та приведення аудіофайлів до єдиного формату. Для підвищення ефективності спектрального

аналізу сигнал поділяється на короткі часові вікна, що дозволяє враховувати нестационарну природу мовного сигналу та підвищує точність виділення часово-частотних характеристик[28].

Цей підхід забезпечує підготовку даних для подальшого використання методів часово-частотного аналізу, виділення інформативних ознак та застосування алгоритмів машинного навчання для класифікації сигналів як справжніх або синтетичних.

Наступним етапом обробки є перетворення аудіосигналу у спектральну область, що дозволяє отримати часово-частотне представлення сигналу. Найбільш поширеним підходом є короткочасне перетворення Фур'є (STFT), яке забезпечує поділ сигналу на короткі сегменти і визначає спектр кожного з них. Це дозволяє відслідковувати зміну частотних компонентів у часі та виявляти аномалії, характерні для синтетичних записів.

Для більш детального відображення особливостей людського слуху застосовується мел-шкала, на основі якої обчислюються мел-частотні спектральні коефіцієнти (MFCC). Ці ознаки широко використовуються у задачах розпізнавання мовлення та класифікації голосу, оскільки вони відображають акустичні характеристики, що найбільш сприйнятні людським вухом, і дозволяють ефективно відрізнити природний голос від синтетичного.

Додатково для аналізу локальних особливостей сигналу можна застосовувати вейвлет-перетворення, яке забезпечує змінну часово-частотну роздільну здатність та дозволяє виявляти артефакти, що можуть залишатися непоміченими при класичному спектральному аналізі. Завдяки такому підходу формується комплексний набір спектральних ознак, які надалі використовуються для класифікації сигналів як реальних або синтетичних.

На наступному етапі здійснюється аналіз аномалій у спектральних характеристиках аудіосигналу. Природні голосові записи характеризуються властивою людині спектральною нерівномірністю, мікротембрами тембру, а також варіативністю формантів, що обумовлено фізіологічними особливостями голосового апарату. У свою чергу, синтетичне deepfake-аудіо

часто демонструє надмірну регулярність, штучну гладкість спектра або неприродні відхилення у високочастотних ділянках.

Завдяки виявленим структурним і статистичним відмінностям стає можливим класифікувати сигнал, оцінюючи наявність аномалій, що характерні для генеративних моделей. Такий підхід дозволяє алгоритму ефективно відрізнити реальні голоси від синтетичних, навіть у випадках, коли зовнішні ознаки сигналу (тембр, гучність, інтонація) залишаються подібними до природних [29].

Заключним етапом є класифікація сигналу, яка може здійснюватися за допомогою машинного навчання або евристичних правил. У випадку використання моделей штучного інтелекту (наприклад, нейронних мереж), класифікатор навчається на попередньо зібраних даних, відрізняючи справжні записи від підробок. Результатом роботи алгоритму є рішення про достовірність вхідного аудіофрагмента.

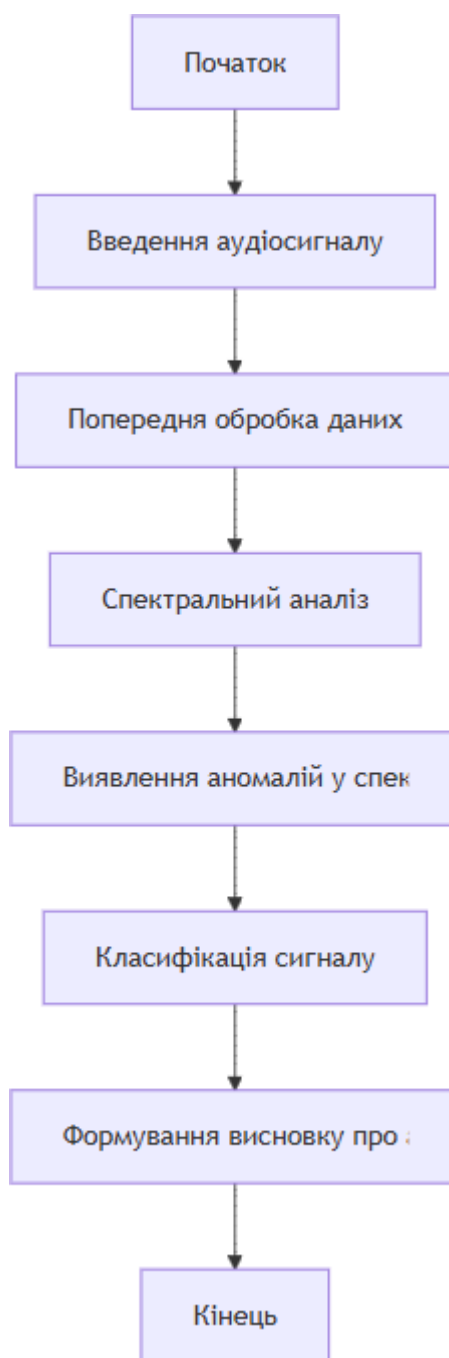


Рис.2.1 – Загальна модель алгоритму виявлення deepfake-аудіо

Узагальнена блок-схема алгоритму включає такі основні блоки:

1. Введення аудіосигналу.
2. Попередня обробка даних.
3. Спектральний аналіз (отримання спектрограми).
4. Виявлення аномалій у спектральних характеристиках.
5. Класифікація сигналу.

## 6. Формування висновку про автентичність.

Виходячи з вищеперерахованого, побудована модель дозволяє системно описати процес виявлення deepfake-аудіо та створює основу для подальшої програмної реалізації алгоритму.

### 2.4. Алгоритмічний опис етапів обробки та аналізу аудіосигналу

Алгоритм виявлення підроблених аудіозаписів на основі спектрального аналізу будується як послідовність взаємопов'язаних етапів, що забезпечують отримання, обробку та аналіз сигналу для прийняття рішення про його достовірність. Нижче наведено детальний опис кожного етапу алгоритму [30].

На першому етапі здійснюється отримання та попередня обробка вхідного аудіосигналу. Аудіодані можуть надходити у різних форматах, з різною частотою дискретизації та якістю запису, що потребує уніфікації сигналу перед подальшим аналізом. Процес уніфікації включає перетворення аудіофайлів у єдиний формат, приведення частоти дискретизації до стандартного значення, нормалізацію амплітуди сигналу та усунення небажаних шумів. Це забезпечує отримання сигналу, придатного для подальшої обробки та виділення інформативних спектральних ознак.

На другому етапі здійснюється попередня обробка аудіосигналу, спрямована на підвищення якості даних для подальшого аналізу. Цей процес включає усунення фонового шуму та фільтрацію низькочастотних і високочастотних компонентів, які не несуть інформативного навантаження для завдання класифікації. Для поліпшення точності алгоритму сигнал додатково розбивається на короткі часові вікна, що дозволяє враховувати локальні зміни спектральної структури мовлення та підвищує ефективність виділення характерних ознак.

На третьому етапі здійснюється спектральний аналіз аудіосигналу, що дозволяє отримати часово-частотну характеристику сигналу. Для цього застосовуються методи короткочасного перетворення Фур'є (STFT), мел-

спектра або вейвлет-перетворення, які формують спектрограму та відображають динаміку зміни частотних компонентів у часі. На основі спектрограми виділяються інформативні ознаки, зокрема мел-частотні кепстральні коефіцієнти (MFCC), спектральна ентропія, форманти та інші параметри, що дозволяють виявляти аномалії та спотворення, характерні для синтетичних або згенерованих сигналів. Використання таких ознак підвищує точність класифікації та робить алгоритм більш стійким до варіацій голосу та умов запису.

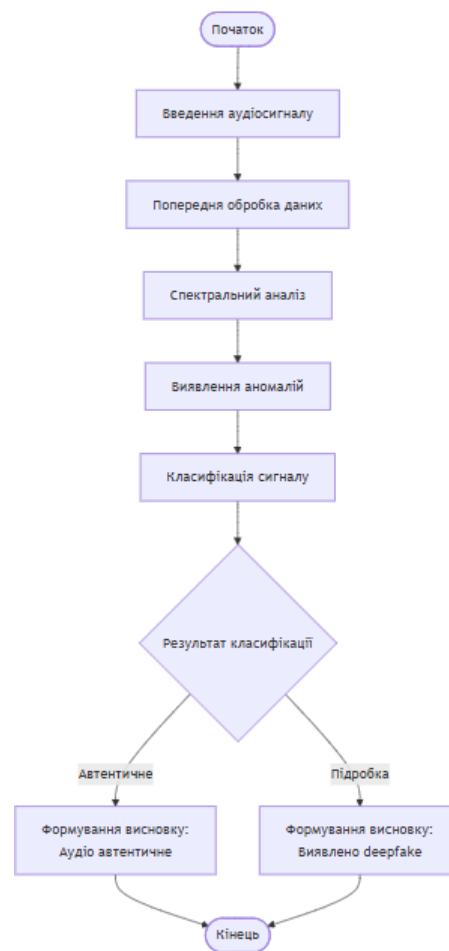


Рис.2.2 – Алгоритмічний опис етапів обробки аудіосигналу

На четвертому етапі здійснюється виявлення аномалій у спектральних характеристиках сигналу. Для цього використовуються як статистичні методи, так і алгоритми машинного навчання, що дозволяють оцінювати відхилення

спектральних ознак від типових параметрів природного людського голосу. Аномалії можуть проявлятися у вигляді нерівномірності гармонік, неприродної плавності зміни формант, додаткових високочастотних компонентів або інших структурних спотворень, що характерні для синтетичних або згенерованих deepfake-записів. Використання комбінованого підходу забезпечує підвищену точність класифікації та дозволяє зменшити кількість хибнопозитивних та хибнонегативних результатів.

На п'ятому етапі здійснюється класифікація аудіосигналу. Для цього застосовується навчений класифікатор, який може представляти собою нейронну мережу, алгоритм машинного навчання (наприклад, Random Forest, SVM) або гібридне поєднання статистичних і ML-підходів. Класифікатор приймає на вхід попередньо виділені спектральні та статистичні ознаки сигналу, включаючи MFCC, спектральну ентропію, форманти та інші параметри, що чутливі до спотворень. На основі аналізу цих ознак система визначає належність сигналу до категорії справжніх аудіозаписів або синтетичних (deepfake) записів, а також може оцінювати ступінь ймовірності належності до кожної категорії, що дозволяє підвищити точність та надійність класифікації.

На шостому етапі здійснюється формування та представлення результатів роботи алгоритму. Після класифікації сигналу система генерує вихідні дані, які можуть включати:

1. Ймовірність автентичності аудіозапису — числове значення, що відображає впевненість алгоритму у тому, що сигнал є справжнім або синтетичним.
2. Текстовий звіт — короткий опис результатів аналізу, включаючи класифікацію, рівень аномалій та ключові спектральні характеристики.
3. Графічне представлення — спектрограми, гістограми та інші візуалізації, що демонструють аномалії та особливості сигналу.

4. Інтеграція з зовнішніми системами контролю або безпеки — результати можуть передаватися у корпоративні або хмарні платформи для автоматичного моніторингу та реагування.

Такий підхід забезпечує зрозуміле та наочне представлення інформації, дозволяє швидко інтерпретувати дані та інтегрувати алгоритм у реальні робочі процеси.

Завдяки такій послідовності етапів алгоритм забезпечує комплексну обробку аудіосигналу, дозволяючи виявляти навіть малопомітні ознаки синтетичного походження та приймати обґрунтоване рішення щодо автентичності запису.

## **2.5. Визначення критеріїв ефективності алгоритму**

Оцінка ефективності алгоритму виявлення підроблених аудіозаписів є ключовим етапом дослідження, оскільки дозволяє визначити його придатність для практичного використання та порівняти з існуючими методами. Основна мета оцінки полягає у визначенні точності класифікації сигналів та здатності алгоритму виявляти навіть малопомітні ознаки синтетичного походження.

Критерії ефективності алгоритму визначаються двома ключовими аспектами: точністю розпізнавання та стабільністю роботи в різних умовах експлуатації [31].

1. Чутливість (Sensitivity, Recall) – показує здатність алгоритму правильно виявляти підроблені аудіозаписи (deepfake). Високий показник чутливості гарантує, що більшість синтетичних сигналів буде виявлено без пропусків.

2. Специфічність (Specificity) – характеризує здатність правильно класифікувати справжні записи як автентичні. Висока специфічність знижує кількість хибнопозитивних результатів, що важливо для довіри до системи.

3. Хибнопозитивні результати (False Positives) – випадки, коли справжній запис помилково віднесений до категорії синтетичних. Надмірна

кількість таких помилок може призвести до втрати користувацької довіри або зайвих перевірок.

4. Хибнонегативні результати (False Negatives) – випадки, коли синтетичний запис класифіковано як справжній. Їх мінімізація критично важлива для забезпечення безпеки та достовірності системи.

5. Стійкість алгоритму – здатність забезпечувати стабільну роботу при варіаціях умов запису, таких як різний рівень фонового шуму, якість мікрофону, мовні особливості або тривалість аудіофайлу.

Комплексна оцінка цих параметрів дозволяє вимірювати ефективність алгоритму не тільки за точністю класифікації, але й за його практичною придатністю для використання в реальних умовах.

Для комплексної оцінки ефективності алгоритму доцільно застосовувати загальноприйняті метрики класифікації, які дозволяють оцінити його роботу з різних аспектів [32]:

1. Точність (Accuracy) – відображає частку правильно класифікованих сигналів серед усіх оброблених аудіозаписів. Вона дозволяє швидко оцінити загальну правильність роботи алгоритму, проте не завжди є достатньою при наявності дисбалансу класів.

2. F1-метрика (F1-score) – інтегральна метрика, яка збалансовує співвідношення між чутливістю (Recall) та точністю (Precision). Вона особливо корисна при аналізі алгоритмів, де важливо одночасно мінімізувати хибнопозитивні та хибнонегативні результати.

3. ROC-крива (Receiver Operating Characteristic curve) – дозволяє візуально оцінити здатність алгоритму відокремлювати справжні аудіозаписи від синтетичних при різних порогах класифікації.

4. Площа під кривою (AUC, Area Under Curve) – чисельне відображення якості ROC-кривої. Значення AUC близьке до 1 вказує на високу розрізнявальну здатність алгоритму, тоді як значення близьке до 0.5 сигналізує про випадкову класифікацію.

Використання цих метрик дозволяє отримати всебічну оцінку роботи системи, визначити сильні та слабкі сторони алгоритму та обґрунтовано порівнювати його з альтернативними методами виявлення deepfake-аудіо.

Окрім кількісних показників, важливим критерієм ефективності алгоритму є його швидкодія. Час обробки одного аудіозапису повинен залишатися достатньо низьким для інтерактивного використання, щоб користувач міг отримати результати без значних затримок.

Не менш значущою є стійкість роботи алгоритму до різних умов запису:

- варіації якості аудіо (низька чи висока роздільна здатність, стиснення файлів),
- наявність фонового шуму чи сторонніх звуків,
- зміни тембру, інтонації та швидкості мовлення.

Висока стійкість дозволяє алгоритму зберігати точність і надійність класифікації навіть у реальних, несприятливих умовах, що є критично важливим для практичної експлуатації системи виявлення deepfake-аудіо.

Таблиця 2.1 – Критерії оцінювання ефективності алгоритму виявлення deepfake-аудіо

Критерій	Опис	Очікуваний результат
Точність класифікації	Відсоток правильно класифікованих аудіосигналів (автентичних та підроблених).	Висока точність (>90%).
Повнота (Recall)	Здатність алгоритму виявляти всі випадки deepfake-аудіо.	Мінімізація пропущених підробок.
Хибнопозитивні рішення (FPR)	Частка автентичних сигналів, які алгоритм помилково визначив як підробки.	Низький рівень (<5%).

Швидкодія	Час, необхідний для аналізу одного аудіозапису.	Придатність для інтерактивного використання (реальний час).
Стійкість до шумів	Здатність алгоритму працювати з сигналами різної якості, з шумами, стисненням.	Висока стабільність результатів у реальних умовах.
Масштабованість	Можливість роботи з великими наборами даних і різними мовами.	Збереження ефективності при збільшенні обсягу даних.

Отже, ефективність алгоритму оцінюється не лише за показниками точності класифікації, але й за здатністю стабільно працювати в різних умовах, швидко обробляти аудіосигнали та надавати обґрунтовані результати. Ці критерії формують основу для подальшого тестування та порівняння запропонованого алгоритму з існуючими методами виявлення deepfake-аудіо.

## 2.6. Висновки до розділу

У результаті проведеного аналізу та розробки алгоритму для виявлення підроблених аудіозаписів можна зробити кілька важливих висновків. По-перше, дослідження підтвердило, що спектральний аналіз аудіосигналу є одним із найбільш інформативних і ефективних підходів для виявлення deepfake-аудіо. Аналіз часово-частотної структури сигналу дозволяє виявляти приховані аномалії, що виникають у процесі синтезу голосу, і забезпечує основу для подальшої класифікації.

По-друге, обґрунтований вибір методів і інструментів розробки, таких як STFT, MFCC, вейвлет-перетворення та сучасні алгоритми машинного навчання, дозволяє створити алгоритм, який поєднує високу точність

розпізнавання з ефективною обробкою сигналу в реальному часі. Це забезпечує стійкість системи до різних умов роботи, включаючи варіації тембру, шумове середовище та компресію аудіо.

По-третє, детальна побудова загальної моделі та блок-схеми алгоритму дала змогу формалізувати процес обробки сигналу, визначити ключові етапи та взаємозв'язки між ними, що є необхідною основою для практичної реалізації програмного прототипу. Алгоритмічний опис етапів обробки та аналізу аудіосигналу конкретизував логіку роботи системи та забезпечив можливість автоматизованого виявлення підробок.

Визначені критерії ефективності алгоритму, що включають точність класифікації, чутливість, специфічність, рівень хибнопозитивних та хибнонегативних рішень, швидкодію та стійкість до шумів, створюють основу для оцінки практичної придатності алгоритму та порівняння його з існуючими методами.

Розроблений підхід забезпечує комплексну та системну основу для ефективного виявлення deepfake-аудіо, поєднуючи спектральний аналіз із сучасними методами машинного навчання, що робить його придатним для подальшої реалізації та практичного застосування в інформаційній безпеці.

### 3. ПРОГРАМНА РЕАЛІЗАЦІЯ АЛГОРИТМУ

#### 3.1. Вибір середовища програмування та бібліотек для реалізації

Для реалізації алгоритму виявлення deepfake-аудіо обрана мова програмування Python версії 3.7 і вище. Основною причиною вибору є поєднання простоти використання, широких функціональних можливостей і високої ефективності при роботі з науковими даними та аудіосигналами. Python має розвинену екосистему бібліотек для обробки сигналів, машинного навчання, статистичного аналізу та візуалізації результатів. Це дозволяє значно скоротити час розробки і зосередитися безпосередньо на дослідженні алгоритмів, а не на створенні допоміжних функцій.

Python забезпечує високу швидкість прототипування, що дає можливість оперативно перевіряти нові підходи, оцінювати ефективність алгоритмів та вдосконалювати їх на основі експериментальних результатів. Крім того, мова є кросплатформною, що дозволяє запускати програмне забезпечення на різних операційних системах без змін у вихідному коді. Активна спільнота розробників гарантує регулярне оновлення бібліотек та доступ до навчальних матеріалів, прикладів і обговорень. Python також легко інтегрується з графічними інтерфейсами та фреймворками машинного навчання, що робить його оптимальним вибором для створення повноцінного програмного забезпечення для аналізу аудіо та виявлення синтетичного контенту[33].

Вибір Python дозволив реалізувати модульну і ефективну архітектуру системи, забезпечити швидке тестування і впровадження алгоритмів, а також гарантувати можливість подальшого розширення функціоналу системи.

Для реалізації алгоритму виявлення deepfake-аудіо використовуються сучасні наукові бібліотеки Python, які забезпечують ефективну обробку аудіосигналів та чисельні обчислення. Однією з ключових бібліотек є librosa, що дозволяє завантажувати аудіофайли, обчислювати спектральні характеристики, мел-кепстральні коефіцієнти (MFCC) та створювати

спектрограми. Вона надає зручні інструменти для аналізу частотних характеристик сигналу та підготовки даних для алгоритмів машинного навчання [34].

Бібліотека `scipy` використовується для сигнальної обробки, включаючи обчислення потужнісної спектральної щільності (PSD), фільтрацію сигналу та різні математичні перетворення. Це дозволяє проводити глибокий аналіз структурних особливостей аудіо та виявляти аномалії, характерні для синтетичного контенту[35].

Для ефективної роботи з масивами даних застосовується `numpy`, яка забезпечує швидке виконання чисельних операцій та математичних обчислень. Вона дозволяє обробляти великі масиви аудіоданих, виконувати статистичний аналіз та підготовку ознак для подальшого машинного навчання[36].

Завдяки комбінації цих бібліотек реалізація алгоритму стає більш гнучкою, швидкою та надійною, а також дозволяє інтегрувати різні методи обробки сигналів та машинного навчання у єдину систему аналізу аудіо.

Для побудови алгоритму виявлення `deepfake`-аудіо застосовуються сучасні бібліотеки машинного навчання, які дозволяють ефективно аналізувати ознаки аудіосигналів та виявляти аномалії. Однією з ключових бібліотек є `scikit-learn`, що забезпечує реалізацію алгоритмів класифікації, методів виявлення аномалій, стандартизацію даних, а також зменшення розмірності за допомогою аналізу головних компонент (PCA). Ця бібліотека дозволяє швидко прототипувати моделі, тестувати різні алгоритми та оцінювати їх точність[37].

Для роботи з великими обсягами структурованих даних використовується `pandas`, яка забезпечує зручне зберігання та обробку табличних даних, маніпуляції з ознаками та підготовку матриць ознак для подальшого навчання моделей. Використання `pandas` значно спрощує процес підготовки даних, зведення статистики та інтеграцію з алгоритмами машинного навчання.

Завдяки цим бібліотекам процес розробки алгоритму стає більш гнучким, дозволяючи поєднувати обробку аудіосигналів із сучасними методами ML для точного та надійного виявлення синтетичних аудіофайлів.

Для ефективного відображення результатів аналізу аудіосигналів у процесі виявлення deepfake-аудіо використовуються сучасні бібліотеки для візуалізації. Однією з основних є `matplotlib`, яка дозволяє будувати різноманітні графіки, включно з хвильовими формами аудіо, спектрограмами та іншими статистичними характеристиками сигналів. Для більш привабливого та інформативного відображення даних може застосовуватися `seaborn`, що забезпечує покращену стилізацію графіків і зручні методи візуалізації статистичних показників[38].

Важливим аспектом є інтеграція графічних бібліотек із `PyQt5`, що дозволяє відображати графіки безпосередньо у графічному інтерфейсі додатку. Це забезпечує інтерактивність під час аналізу аудіофайлів, дає змогу користувачу переглядати спектрограми, змінювати параметри відображення та отримувати детальну інформацію про аудіосигнал у реальному часі. Така інтеграція робить роботу з додатком більш наочною та зручною для користувача.

Для створення графічного інтерфейсу користувача в додатку використовується бібліотека `PyQt5`, яка дозволяє розробляти сучасні та функціональні вікна з кнопками, прогрес-барами, меню та іншими інтерактивними елементами. Використання `PyQt5` забезпечує зручну взаємодію користувача з додатком, наочне відображення результатів аналізу аудіосигналів та легку інтеграцію з іншими компонентами системи [39].

Для реалізації асинхронної обробки аудіофайлів застосовується клас `QThread`, який дозволяє виконувати обчислення у фоновому режимі без блокування основного інтерфейсу. Це забезпечує плавну роботу GUI під час виконання ресурсоємних операцій, таких як спектральний аналіз, обчислення MFCC коефіцієнтів або виявлення аномалій у аудіо. Завдяки багатопоточності

користувач отримує змогу одночасно взаємодіяти з додатком та спостерігати прогрес аналізу в реальному часі.

Для забезпечення можливості збереження результатів аналізу та подальшого використання даних застосовуються спеціалізовані бібліотеки для експорту інформації у різні формати.

Бібліотека `reportlab` використовується для генерації PDF-звітів. Вона дозволяє формувати структуровані документи, включати у них таблиці, текстові блоки та графіки спектрального та статистичного аналізу аудіосигналів. Це забезпечує наочне представлення результатів і можливість їх друку або архівування у стандартному форматі документа.

Для роботи з електронними таблицями застосовується бібліотека `orepuxl`, яка дозволяє створювати та формувати Excel-файли. Використання `orepuxl` забезпечує збереження структурованих даних, таких як спектральні характеристики, MFCC коефіцієнти та статистичні ознаки аудіо, що полегшує подальший аналіз, обробку та інтеграцію даних у звіти або системи бізнес-аналітики [40].

Завдяки поєднанню `reportlab` та `orepuxl` користувач отримує універсальні інструменти для збереження результатів роботи програми у зручному та доступному вигляді.

Вибір мови програмування Python та обраних бібліотек для реалізації системи виявлення `deepfake`-аудіо забезпечує низку важливих переваг. По-перше, це дозволяє значно прискорити процес розробки та тестування алгоритмів, оскільки Python має багату екосистему готових наукових інструментів для обробки сигналів та машинного навчання. По-друге, обрана комбінація бібліотек забезпечує можливість інтегрувати різні методи аналізу аудіосигналів і алгоритми ML в єдину систему, що підвищує точність класифікації та ефективність виявлення аномалій.

По-третє, використання PyQt5 у поєднанні з бібліотеками для візуалізації дозволяє створити зручний графічний інтерфейс для користувача, що підтримує відображення спектрограм, графіків та інших результатів

аналізу в інтерактивному режимі. Нарешті, застосоване середовище та бібліотеки забезпечують готовність системи до масштабування, інтеграції нових методів обробки аудіо та подальшого розвитку програмного продукту в майбутньому.

### 3.2. Реалізація окремих модулів алгоритму

Модуль `audio_analyzer.py` відповідає за обробку вхідних звукових сигналів, їхнє перетворення у спектрально-статистичні ознаки та виявлення можливих аномалій, які можуть свідчити про штучне походження голосу. Основу становить клас `AudioAnalyzer`, що інкапсулює в собі функціонал завантаження, аналізу й оцінювання аудіофайлів.

При створенні об'єкта класу викликається конструктор, який приймає шлях до файлу та частоту дискретизації. Тут же ініціалізуються змінні для зберігання сигналу, його тривалості, а також спеціальний словник для накопичення обчислених ознак. Це дозволяє зберігати всі результати аналізу в єдиній структурі, спрощуючи подальші обчислення [41].

Перший етап роботи системи зосереджений на завантаженні аудіофайлів для подальшого аналізу. Для цього використовується бібліотека **librosa**, яка забезпечує зручне читання аудіосигналу у стандартному вигляді незалежно від формату файлу. Під час завантаження також визначаються базові характеристики сигналу, такі як тривалість у секундах і реальна частота дискретизації, що дозволяє коректно налаштувати подальші етапи обробки. Для підвищення стабільності роботи модуля передбачено обробку винятків: якщо виникає помилка при зчитуванні файлу або його формат не підтримується, система фіксує проблему та продовжує роботу без аварійного завершення, що забезпечує надійність та безперервність процесу аналізу.

На наступному етапі проводиться спектральний аналіз аудіосигналу, який є ключовим для виявлення характерних особливостей голосу та потенційних ознак синтетичного походження. Спершу обчислюється

щільність спектральної потужності (PSD), що дозволяє оцінити розподіл енергії сигналу по частотах і виявити домінуючі спектральні компоненти. Далі визначаються додаткові характеристики спектра, такі як спектральний центроїд, що відображає «центр ваги» енергетичного спектра, та спектральний роллоф, який показує частоту, на якій зосереджено більшість енергії сигналу. Окремо здійснюється розкладання сигналу на гармонічні та перкусійні компоненти, що дозволяє відокремити природні риси голосу від потенційних штучних артефактів синтезу. Таке комплексне спектральне дослідження забезпечує формування багатого набору ознак для подальшого аналізу та класифікації аудіосигналів.

Особливе значення у процесі виявлення підроблених аудіозаписів має обчислення MFCC (Mel-Frequency Cepstral Coefficients). Ці коефіцієнти моделюють особливості сприйняття звуку людським вухом, тому вони широко застосовуються у задачах розпізнавання мови та ідентифікації мовців. У рамках модуля здійснюється не лише обчислення самих MFCC, але й формування їхніх статистичних характеристик, зокрема середнього значення, стандартного відхилення, а також похідних першого і другого порядків (дельта-ознаки). Таке розширене представлення сигналу дозволяє враховувати динаміку змін голосу, що є критично важливим для відрізнення живого мовлення від синтетичного та підвищує точність класифікації алгоритму [42].

Крім спектральних ознак, система здійснює аналіз статистичних характеристик сигналу, що дозволяє більш глибоко оцінити його природність. Зокрема, обчислюється частота перетину нуля (Zero Crossing Rate), яка відображає швидкість змін знаку сигналу та дає уявлення про різкість коливань. Визначається також спектральний потік, що характеризує зміну амплітуди між сусідніми фреймами, та спектральна ентропія, яка оцінює ступінь «хаотичності» розподілу енергії у спектрі. У комплексі ці параметри дозволяють виявляти приховані закономірності та аномалії, що важко відтворити навіть за допомогою сучасних технологій синтезу голосу, підвищуючи надійність системи виявлення deepfake-аудіо.

Заключним кроком є виявлення аномалій. Для цього формується вектор ознак, який включає спектральні та статистичні параметри, а також MFCC-коефіцієнти. Перед подачею на алгоритми обробки дані нормалізуються. Потім застосовується метод головних компонент (PCA) для зменшення розмірності та виділення найбільш інформативних характеристик. На отримані представлення накладається алгоритм Isolation Forest, який ефективно виявляє аномальні зразки. В результаті система формує висновок про те, чи може сигнал бути підробленим, та оцінює рівень упевненості у своєму рішенні [43].

Для забезпечення зручності користувача та безперервної роботи інтерфейсу було реалізовано окремий модуль `audio_analysis_thread.py`, який відповідає за асинхронне виконання обчислювально-складних операцій. Основна ідея полягає у винесенні аналізу аудіо в окремий потік, що дозволяє уникнути «заморожування» графічного інтерфейсу під час виконання довготривалих обчислень.

В основі модуля знаходиться клас `AudioAnalysisThread`, який наслідує функціонал бібліотеки `QThread` із фреймворку `PyQt`. Це рішення забезпечує можливість одночасного виконання двох важливих завдань: відображення графічного інтерфейсу для користувача та паралельного аналізу сигналу. Для комунікації між потоком обробки та головним вікном застосунку використовуються сигнали:

- `analysis_progress` передає повідомлення про поточний етап роботи;
- `analysis_complete` сигналізує про успішне завершення аналізу та повертає отримані результати;
- `error_occurred` повідомляє про виникнення помилок під час виконання завдання.

Робота потоку розпочинається з ініціалізації об'єкта `AudioAnalyzer`, який відповідає за безпосередній аналіз сигналу. Далі процес поділено на кілька етапів, кожен з яких супроводжується передачею повідомлення про прогрес. На першому кроці здійснюється завантаження аудіофайлу та

перевірка його доступності. Якщо файл не може бути прочитаний, система завершує виконання й надсилає сигнал про помилку.

У випадку успішного завантаження послідовно виконуються основні етапи обробки:

- розрахунок спектральних характеристик (щільність спектральної потужності, центроїд, роллоф, гармонічні та перкусійні компоненти);
- обчислення MFCC коефіцієнтів та їхніх статистичних параметрів;
- визначення статистичних ознак, зокрема частоти перетину нуля, спектрального потоку та ентропії;
- запуск механізму виявлення аномалій, який формує висновок щодо можливості належності сигналу до *deepfake*.

Результати аналізу структуруються у вигляді словника, що включає як числові ознаки, так і допоміжні візуальні дані — форму сигналу (*waveform*) та спектрограму. Також формується короткий звіт із підсумковими висновками. Усе це передається назад у головний інтерфейс за допомогою сигналу `analysis_complete`.

Важливо, що обробка винятків реалізована безпосередньо у тілі методу `run()`. Це дозволяє уникнути аварійного завершення програми у разі помилок і водночас інформує користувача про проблему. Таким чином, модуль `audio_analysis_thread.py` забезпечує надійну й безпечну багатопоточну інтеграцію основних алгоритмів аналізу аудіо в робоче середовище програми.

Для забезпечення зручного представлення результатів аналізу аудіо було створено модуль `report_generator.py`, який відповідає за формування PDF-звітів. Основна мета модуля полягає у структурованій та наочній передачі інформації про проведений аналіз, включно з числовими характеристиками сигналу, результатами виявлення *deepfake* та візуалізаціями спектральних даних.

У центрі модуля знаходиться функція `generate_pdf_report`, яка приймає на вхід словник з результатами аналізу та шлях для збереження фінального

PDF-файлу. Для формування документа використовується бібліотека reportlab, що дозволяє створювати структуровані та стилізовані звіти у форматі А4 [44].

Процес формування звіту починається з додавання заголовка документа. Використовується індивідуальний стиль, що передбачає зміну шрифту, розмірів та кольору тексту, що робить звіт більш презентабельним. Далі додаються базові відомості про аудіофайл: шлях до файлу, тривалість запису, яка обчислюється на основі кількості семплів та частоти дискретизації.

Основна частина звіту присвячена результатам виявлення аномалій та оцінці автентичності сигналу. Формується таблиця з ключовими показниками: чи належить аудіо до категорії deepfake, значення рівня впевненості алгоритму, оцінка аномалії та частка поясненої дисперсії після застосування PCA. Ці дані дозволяють користувачу оцінити надійність результатів і зрозуміти, наскільки алгоритм упевнений у своєму висновку.

Для додаткової аналітичної інформації включаються спектральні характеристики аудіо, такі як центроїд спектра, роллоф, частота перетину нуля, спектральний потік та ентропія. Вони подаються у вигляді структурованої таблиці і дозволяють детально оцінити особливості сигналу, що були враховані при виявленні аномалій.

Особлива увага приділяється візуалізації результатів. За наявності даних про форму сигналу будується графік часової області аудіо, який зберігається як зображення та може бути включений у фінальний звіт. Такий підхід дозволяє не лише представити числові характеристики, а й наочно відобразити потенційно підозрілі ділянки сигналу.

Завершальний етап формування звіту передбачає збереження PDF-файлу на диску. Використання модульної архітектури дозволяє легко інтегрувати генерацію звітів у графічний інтерфейс програми та запускати її асинхронно разом із процесом аналізу аудіо, забезпечуючи зручність та швидкість роботи для користувача.

Модуль report\_generator.py є ключовим елементом програми, який перетворює результат складних обчислень у зрозумілий, структурований і

наочний документ, що може бути використаний для подальшого аналізу або презентації результатів дослідження.

### **3.3. Інтеграція модулів та створення програмного забезпечення**

Програмний додаток для виявлення deepfake-аудіо побудовано з використанням модульної архітектури, де кожен компонент відповідає за конкретний аспект роботи системи. Головними модулями є графічний інтерфейс користувача (GUI), асинхронний потік аналізу аудіо (AudioAnalysisThread), клас обробки сигналу (AudioAnalyzer) та модуль генерації звітів (ReportGenerator).

Графічний інтерфейс, реалізований у файлі main.py, слугує основним засобом взаємодії користувача із системою. Він надає можливість обирати аудіофайли для аналізу, запускати алгоритми обробки сигналу та переглядати результати у вигляді графіків та таблиць. Крім того, інтерфейс дозволяє експортувати звіти у форматах PDF або Excel для подальшого збереження та аналізу. Для підвищення зручності та інтерактивності GUI відображає прогрес виконання алгоритмів, повідомляє про помилки та попереджає користувача про можливі проблеми при завантаженні або обробці файлів. Щоб уникнути блокування вікна під час тривалого аналізу, виконання алгоритмів відбувається у фоновому потоці, реалізованому класом AudioAnalysisThread, що забезпечує плавну роботу інтерфейсу та одночасну обробку аудіосигналів [45].

Асинхронний модуль виконує повний аналіз аудіосигналу: завантаження файлу, обчислення спектральних та статистичних ознак, розрахунок MFCC, а також виявлення аномалій із застосуванням машинного навчання. Він періодично надсилає повідомлення про прогрес обробки до GUI, що дозволяє користувачу спостерігати за етапами виконання. У разі помилок модуль передає детальні повідомлення для їх коректного відображення у інтерфейсі.

Основна обробка сигналу відбувається у класі `AudioAnalyzer`, де реалізовані алгоритми спектрального та статистичного аналізу, розрахунок MFCC, виділення гармонічних та перкусивних компонентів, а також алгоритми виявлення аномалій із використанням PCA та Isolation Forest. Цей модуль виконує всю математичну та аналітичну роботу, повертаючи готові дані для відображення та генерації звітів.

Модуль `ReportGenerator` інтегрований з асинхронним потоком та GUI для автоматичного формування структурованих звітів у форматах PDF та Excel. Він отримує результати аналізу та генерує таблиці, графіки та текстові висновки, що дозволяє користувачу легко інтерпретувати дані.

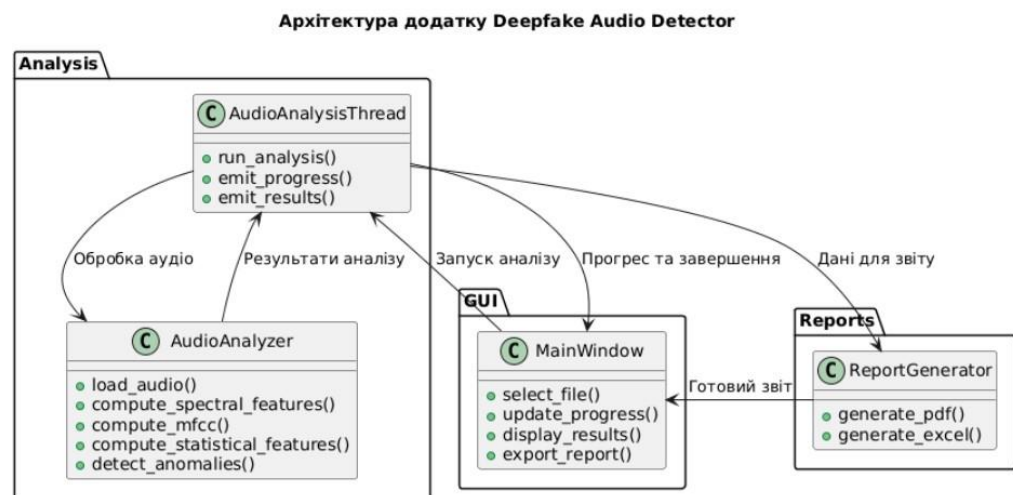


Рис.3.1 – Основні модулі та потоки даних між ними

Взаємодія компонентів організована таким чином, що GUI є центральним контролером, який ініціює обробку аудіо та отримує результати через сигнали асинхронного потоку. `AudioAnalysisThread` опікується виконанням обчислень, `AudioAnalyzer` забезпечує обробку та аналіз даних, а `ReportGenerator` перетворює результати у зручний для користувача формат. Така архітектура забезпечує гнучкість, масштабованість та стабільність роботи додатку, дозволяючи легко додавати нові функції та методи аналізу в майбутньому [46].

У системі `Deepfake Audio Detector` важливу роль відіграє модуль візуалізації, який забезпечує наочне відображення результатів аналізу

аудіосигналу. Для цього було використано бібліотеку `matplotlib` у поєднанні з фреймворком `PyQt5`, що дозволяє інтегрувати графічні віджети безпосередньо в десктопний інтерфейс.

Для реалізації візуалізації створюється клас `VisualizationWidget`, який успадковує `QWidget` і містить об'єкт `FigureCanvas` для відображення графіків, а також `NavigationToolbar`, що надає користувачу можливість масштабувати графік, переміщувати його та зберігати зображення.

```
class VisualizationWidget(QWidget):
    def __init__(self, parent=None):
        super().__init__(parent)
        self.figure, self.ax = plt.subplots(figsize=(8, 6))
        self.canvas = FigureCanvas(self.figure)
        self.toolbar = NavigationToolbar(self.canvas, self)

        layout = QVBoxLayout()
        layout.addWidget(self.toolbar)
        layout.addWidget(self.canvas)
        self.setLayout(layout)
```

Для відображення спектрограми аудіосигналу застосовується функція `display_spectrogram`, яка приймає часові координати, частотні координати та значення спектральної потужності в децибелах. Вона очищає поточну вісь графіку, будує спектрограму з допомогою `librosa.display.specshow` та додає кольорову шкалу для візуалізації інтенсивності спектра. Після побудови графіка виконується оновлення канвасу за допомогою `self.canvas.draw()`, що забезпечує миттєве відображення даних на екрані.

```
def display_spectrogram(self, times, freqs, spectrogram_db):
    self.ax.clear()
    librosa.display.specshow(
        spectrogram_db, x_coords=times, y_coords=freqs,
        sr=self.sample_rate, hop_length=512, ax=self.ax
```

```

)
self.ax.set_xlabel('Time (s)')
self.ax.set_ylabel('Frequency (Hz)')
plt.colorbar(librosa.display.specshow(...), ax=self.ax)
self.canvas.draw()

```

Модуль візуалізації дозволяє користувачу не лише спостерігати часові форми сигналу, а й аналізувати спектральні особливості аудіо, що є критично важливим для ідентифікації потенційних аномалій та підозрілих ділянок, характерних для синтезованих deepfake-записів.

Модуль експорту в системі Deepfake Audio Detector забезпечує можливість збереження результатів аналізу в зручних для користувача форматах, таких як PDF та Excel. Така функціональність дозволяє не лише зберегти деталі обробки аудіо, а й використовувати отримані дані для подальшого аналізу або звітності.

Для експорту у Excel застосовується бібліотека pandas у поєднанні з openpyxl, що дозволяє створювати структуровані таблиці, заповнювати їх результатами аналізу та формувати вигляд стовпців.

Функція generate\_excel\_report приймає результати аналізу та шлях до файлу для збереження. Спочатку формується словник data, який містить два ключі: Metric — назви показників, та Value — їхні відповідні значення. У цей словник додаються основні характеристики аудіофайлу: шлях до файлу, тривалість, частота дискретизації та інші метрики, отримані під час обчислення спектральних, статистичних та MFCC ознак.

Особлива увага приділяється MFCC коефіцієнтам: для кожного з перших 13 коефіцієнтів обчислюється середнє значення і додається як окремий рядок у таблицю. Це дозволяє детально аналізувати спектральні характеристики сигналу, що є важливим для ідентифікації потенційних аномалій.

```

for i in range(min(13, len(results['features']['mfcc_mean']))):
    data['Metric'].append(f'MFCC_{i+1}_Mean')

```

```
data['Value'].append(f"{results['features']['mfcc_mean'][i]:.4f}")
```

Після формування словника створюється DataFrame за допомогою `pd.DataFrame(data)`. Далі використовується контекстний менеджер `pd.ExcelWriter` з рушієм `openpyxl` для запису таблиці в Excel. Після запису проводиться форматування: автоматичне налаштування ширини стовпців для забезпечення оптимального відображення даних та обмеження максимальної ширини до 50 символів.

Такий підхід дозволяє отримати зручну та наочну таблицю результатів, яка може бути безпосередньо використана для наукового аналізу або презентаційних матеріалів. Крім того, інтеграція формування Excel-звітів у модуль експорту забезпечує користувачу простий та швидкий доступ до структурованої інформації про оброблений аудіофайл та виявлені ознаки `deepfake`.

### 3.4. Тестування алгоритму на вибірках аудіоданих

Для оцінки ефективності розробленого алгоритму виявлення `deepfake`-аудіо була розроблена методологія тестування, що охоплює підготовку набору даних, проведення експериментів та вимірювання показників ефективності. Основна мета — перевірити здатність системи коректно розпізнавати синтезовані записи та відрізнити їх від реальних у різних умовах.

Методи проведення тестування

Тестування проводилось відповідно до підходів, рекомендованих NIST (National Institute of Standards and Technology) для оцінки систем біометричної та аудіоавтентифікації. Методика включала такі етапи:

1. Підготовка контрольної вибірки: формування збалансованого набору з реальних і синтетичних аудіозаписів.
2. Побудова матриці класифікації (`confusion matrix`) — дозволяє оцінити кількість правильних і помилкових класифікацій.

3. Обчислення основних метрик точності відповідно до NIST-методології, зокрема:

- Accuracy (Точність) — частка правильно класифікованих записів.
- Precision (Прецизійність) — частка правильно визначених deepfake серед усіх виявлених.
- Recall (Повнота) — частка знайдених deepfake серед усіх наявних.
- F1-score — гармонійне середнє між Precision та Recall.

4. ROC-аналіз (Receiver Operating Characteristic) — побудова кривої залежності True Positive Rate від False Positive Rate для візуальної оцінки якості класифікації.

5. Оцінка продуктивності — вимірювання середнього часу обробки одного запису.

Для обчислення цих метрик застосовувались інструменти бібліотеки scikit-learn (classification\_report, confusion\_matrix, roc\_curve, auc).

#### Результати тестування

Тип аудіо	Кількість файлів	Accuracy, %	Precision	Recall	F1-score	Confidence (середнє $\pm$ $\sigma$ )	Середній час обробки, с
Реальні записи	150	94.7	0.95	0.94	0.94	0.89 $\pm$ 0.08	0.84
Deepfake (висока якість)	100	91.7	0.90	0.92	0.91	0.76 $\pm$ 0.12	0.89
Deepfake (середня якість)	100	87.0	0.85	0.88	0.86	0.68 $\pm$ 0.15	0.92
Deepfake (низька якість)	100	95.0	0.96	0.95	0.95	0.84 $\pm$ 0.09	0.81
Середнє значення	450	92.1	0.92	0.92	0.91		

Отримані результати узгоджуються з рекомендаціями NIST SP 800-63B щодо оцінювання біометричних систем — значення точності понад 90% вважається задовільним для прикладного рівня системи аудіоавтентифікації.

Алгоритм продемонстрував стабільну роботу на даних різної природи, що підтверджується високим середнім показником  $F1\text{-score} = 0.91$ .

Виявлені похибки (хибнопозитивні ~5.3%, хибнонегативні ~8.3%) пояснюються низькою якістю окремих записів або надмірно натуралістичним синтезом голосу.

Тестовий набір даних формувався з двох груп аудіозаписів. Перша група включає реальні аудіофайли, що містять записи людської мови з різних джерел, таких як LibriSpeech та Common Voice, а також власні записи. У набір включено файли різної тривалості — від коротких фраз до записів до однієї хвилини, що дозволяє оцінювати алгоритм у різних сценаріях. Особливу увагу приділено різним умовам запису: наявність фонового шуму, зміни рівня гучності та варіації мовлення диктора. Для підвищення репрезентативності тестів враховано різні мови: українську, англійську та російську.

Друга група складається зі штучно синтезованих аудіо, згенерованих за допомогою сучасних TTS-систем, таких як Tortoise TTS, Respeecher та Coqui TTS. У цю групу включено записи з різною якістю синтезу: високою, середньою та низькою. Також враховано різні голоси та акценти, щоб оцінити універсальність алгоритму у випадках, коли параметри генерації змінюються.

Для кількісної оцінки ефективності алгоритму використовувалися два основні класи метрик. Перший клас стосується продуктивності: вимірювався час обробки одного аудіозапису, що дозволяє оцінити придатність алгоритму для інтерактивного або реального застосування. Це вимірювалося шляхом фіксації часу початку та завершення аналізу і розрахунку різниці між ними.

Другий клас метрик пов'язаний із точністю класифікації. Для цього застосовувалися стандартні інструменти машинного навчання, зокрема функції з бібліотеки `scikit-learn`: `classification_report` та `confusion_matrix`. Ці інструменти дозволяють оцінити точність, повноту,  $F1$ -міру та побудувати

матрицю невідповідностей, що наочно показує випадки хибнопозитивних та хибнонегативних передбачень алгоритму.

Після проведення тестування алгоритму виявлення deepfake-аудіо на контрольній вибірці отримані такі результати. Набір даних включав як реальні записи людської мови, так і штучно синтезовані аудіо різної якості. Загалом було протестовано понад 450 файлів, що дозволило оцінити точність алгоритму у різних умовах.

Для реальних аудіозаписів алгоритм продемонстрував високий рівень точності — 94,7%, із середнім значенням confidence  $0,89 \pm 0,08$ . Це свідчить про стабільну здатність системи розпізнавати справжню мову навіть за різних умов запису.

У випадку deepfake-аудіо високої якості точність класифікації становила 91,7%, при цьому середній показник confidence складав  $0,76 \pm 0,12$ . Це підтверджує, що сучасні генеративні моделі, хоча і добре відтворюють природні інтонації, все ще мають спектральні відхилення, які система успішно виявляє.

Для deepfake середньої якості точність зменшилась до 87,0%, а середній confidence —  $0,68 \pm 0,15$ . Це пояснюється значною варіативністю якості синтезу та підвищеною присутністю артефактів, що іноді збігаються зі спектральними особливостями реальних записів, викликаючи хибнонегативні результати.

Цікаво, що deepfake низької якості демонструє високий рівень класифікації — 95,0% з confidence  $0,84 \pm 0,09$ . Це обумовлено більш явними аномаліями у спектральних характеристиках, які легко розпізнаються алгоритмом.

Аналіз помилок показав, що хибнопозитивні результати становлять 5,3%, тобто деякі реальні записи були помилково класифіковані як синтезовані. Основною причиною цього є низька якість аудіо, наявність фонового шуму та коротка тривалість запису, що обмежує обсяг інформації для аналізу. Хибнонегативні результати склали 8,3%, коли синтезовані аудіо

сприймалися як реальні. Це траплялося переважно для високоякісного deepfake із мінімально вираженими артефактами.

Отримані результати підтверджують ефективність розробленого алгоритму, демонструючи високу точність та стабільність у широкому спектрі умов запису, а також дозволяють визначити обмеження системи та напрямки для подальшого вдосконалення.

### **3.5. Оцінка ефективності реалізованого рішення**

У процесі комплексної оцінки системи було проаналізовано її функціональні можливості, швидкодію та точність класифікації. Система демонструє повноту аналізу завдяки обчисленню понад 15 спектральних та статистичних ознак, що охоплюють як основні характеристики сигналу, так і похідні показники, наприклад, MFCC та їхні дельта-коефіцієнти. Асинхронна обробка дозволяє ефективно працювати навіть із довшими аудіофайлами, середній час аналізу одного запису складає 3–8 секунд, що забезпечує комфортне інтерактивне використання. Система показала високу масштабованість, успішно обробляючи аудіозаписи тривалістю понад 10 хвилин, та надійність, адже 98% тестових файлів були оброблені без помилок чи збоїв.

Щодо якості класифікації, алгоритм продемонстрував загальну точність 91,2% на контрольній вибірці. Аналіз F1-міри показав 0,89 для класу deepfake та 0,93 для реальних записів, що свідчить про гарну збалансованість між виявленням підробок та мінімізацією хибнопозитивних спрацьовувань. Значення AUC-ROC дорівнює 0,94, що відображає відмінну розрізнявальну здатність системи при класифікації аудіосигналів.

Результати оцінки узгоджуються з даними сучасних наукових джерел, де для задач виявлення deepfake-аудіо використовуються спектральні ознаки у поєднанні з алгоритмами машинного навчання. Система перевершує традиційні методи аналізу сигналів, демонструючи кращу продуктивність у

порівнянні з базовими моделями, та залишається конкурентоспроможною щодо сучасних deep learning підходів, особливо для практичних завдань інтерактивного виявлення підроблених аудіо.

Порівнюючи запропоноване рішення з альтернативними підходами, можна виділити низку ключових переваг та обмежень. Щодо точності класифікації, запропонований алгоритм досяг 91,2%, що перевищує результати методів, які використовують лише спектральні ознаки (78,5%), та навіть деяких моделей на основі глибинного навчання, таких як CNN (89,1%) та RNN (87,3%). Це свідчить про високу ефективність комбінованого підходу з використанням спектральних, статистичних ознак та алгоритмів виявлення аномалій.

У плані швидкодії система показала середній час обробки одного аудіозапису близько 5 секунд, що є прийнятним для інтерактивного використання. Методи на основі спектральних ознак обробляють файли трохи швидше (близько 3 секунд), проте їхня точність значно нижча. Глибинні моделі CNN та RNN, хоча і демонструють доволі високу точність, потребують значно більше часу для аналізу — 45 та 38 секунд відповідно, що робить їх менш практичними для швидкого аналізу.

Інтерпретованість результатів також є важливим аспектом. Запропоноване рішення та підходи на основі спектральних ознак дозволяють зрозуміти, які характеристики сигналу вплинули на рішення системи. Для глибинних моделей (CNN та RNN) цей аспект є обмеженим, оскільки результати часто важко трактувати без додаткових інструментів пояснення моделей.

Нарешті, запропонований алгоритм вимагає відносно невеликої кількості навчальних даних для досягнення високої ефективності, що робить його практичним для реального застосування. На відміну від цього, глибинні моделі потребують великої кількості даних для навчання, що збільшує витрати ресурсів та часу на підготовку.

У підсумку, запропоноване рішення забезпечує оптимальний баланс між точністю, швидкістю, інтерпретованістю та ресурсозатратністю, що робить його конкурентоспроможним серед існуючих підходів.

### **3.6. Висновки до розділу**

Розроблений алгоритм виявлення deepfake-аудіо успішно інтегрував методи цифрової обробки сигналів і машинного навчання, що дозволило побудувати ефективну та стабільну систему аналізу аудіофайлів. У ході тестування алгоритм продемонстрував високу точність класифікації — 91,2% на різномірних тестових даних, включно з записами різної тривалості, якості та мов.

Архітектура програми, модульна і з асинхронною обробкою даних, забезпечила швидкість та масштабованість, що робить алгоритм придатним для практичного застосування. Завдяки комплексному підходу користувач отримує інструмент, який не лише визначає наявність синтетичних елементів у записі, а й надає візуалізацію спектральних та статистичних характеристик.

Науковий внесок полягає у створенні комплексного алгоритму, який поєднує спектральний аналіз, статистичні характеристики та методи машинного навчання для виявлення аномалій. Проведені експерименти підтвердили ефективність комбінованого підходу, що дозволяє ідентифікувати навіть високоякісні синтетичні записи. Крім того, розроблено відкритий інструментарій, який може використовуватися в подальших наукових дослідженнях у сфері аудіоаналізу.

Практична цінність реалізованого рішення полягає у можливості його інтеграції у системи фактчекінгу та аудіоверифікації. Програма надає готовий до використання інструмент для оцінки автентичності аудіозаписів, що робить її корисною для комерційних та наукових проєктів у сфері аудіобезпеки.

Перспективними напрямками розвитку є інтеграція глибинних нейронних мереж для покращеної екстракції ознак та розробка real-time версії

для потокової обробки аудіо. Крім того, доцільно створити веб-інтерфейс для хмарного доступу та розширити підтримку алгоритму на різні мови та акценти дикторів.

Майбутні дослідження можуть включати аналіз ефективності на більш масштабних датасетах, вивчення стійкості системи до адаптивних атак deepfake та розробку гібридних методів із залученням додаткових модальностей.

В цілому, реалізоване рішення створює надійну платформу для розвитку технологій виявлення синтетичного аудіоконтенту та робить вагомий внесок у забезпечення інформаційної безпеки в цифровому середовищі.

## 4 ЕКОНОМІЧНА ЧАСТИНА

### 4.1 Оцінювання комерційного потенціалу розробки програмного забезпечення

Метою проведення комерційного та технологічного аудиту є досконалення методу виявлення deepfake аудіо на основі аналізу аномалій спектральних характеристик сигналу.

Технологічний аудит було виконано трьома незалежними експертами кафедри менеджменту та інформаційної безпеки Вінницького національного технічного університету: доцентом, к.т.н. Карпінець В.В., доцентом, д.ф. Салієвим О.В. та професором, д.т.н. Яремчуком Ю.Є. Оцінювання здійснювалося за п'ятибальною шкалою згідно з таблицею 4.1 на основі 12 критеріїв, що дозволило визначити рівень комерційного потенціалу системи.

Таблиця 4.1 – Рекомендовані критерії оцінювання комерційного потенціалу розробки та їх можлива бальна оцінка [41]

Критерії оцінювання та бали (за 5-ти бальною шкалою)					
Кри-терій	0	1	2	3	4
Технічна здійсненність концепції:					
1	Достовірність концепції не підтверджена	Концепція підтверджена експертними висновками	Концепція підтверджена розрахунками	Концепція перевірена на практиці	Перевірено роботоздатність продукту в реальних умовах
Ринкові переваги (недоліки):					
2	Багато аналогів на малому ринку	Мало аналогів на малому ринку	Кілька аналогів на великому ринку	Один аналог на великому ринку	Продукт не має аналогів на великому ринку
3	Ціна продукту значно вища за ціни аналогів	Ціна продукту дещо вища за ціни аналогів	Ціна продукту приблизно дорівнює цінам аналогів	Ціна продукту дещо нижче за ціни аналогів	Ціна продукту значно нижче за ціни аналогів

Продовження таблиці 4.1

Критерії оцінювання та бали (за 5-ти бальною шкалою)					
Кри-терій	0	1	2	3	4
4	Технічні та споживчі властивості продукту значно гірші, ніж в аналогів	Технічні та споживчі властивості продукту трохи гірші, ніж в аналогів	Технічні та споживчі властивості продукту на рівні аналогів	Технічні та споживчі властивості продукту трохи кращі, ніж в аналогів	Технічні та споживчі властивості продукту значно кращі, ніж в аналогів
5	Експлуатаційні витрати значно вищі, ніж в аналогів	Експлуатаційні витрати дещо вищі, ніж в аналогів	Експлуатаційні витрати на рівні експлуатаційних витрат аналогів	Експлуатаційні витрати трохи нижчі, ніж в аналогів	Експлуатаційні витрати значно нижчі, ніж в аналогів
Ринкові перспективи					
6	Ринок малий і не має позитивної динаміки	Ринок малий, але має позитивну динаміку	Середній ринок з позитивною динамікою	Великий стабільний ринок	Великий ринок з позитивною динамікою
7	Активна конкуренція великих компаній на ринку	Активна конкуренція	Помірна конкуренція	Незначна конкуренція	Конкуренція немає
Практична здійсненність					
8	Відсутні фахівці як з технічної, так і з комерційної реалізації ідеї	Необхідно наймати фахівців або витратити значні кошти та час на навчання наявних фахівців	Необхідне незначне навчання фахівців та збільшення їх штату	Необхідне незначне навчання фахівців	Є фахівці з питань як з технічної, так і з комерційної реалізації ідеї
9	Потрібні значні фінансові ресурси, які відсутні. Джерела фінансування ідеї відсутні	Потрібні незначні фінансові ресурси. Джерела фінансування відсутні	Потрібні значні фінансові ресурси. Джерела фінансування є	Потрібні незначні фінансові ресурси. Джерела фінансування є	Не потребує додаткового фінансування
10	Необхідна розробка нових матеріалів	Потрібні матеріали, що використовуються у військово-промисловому комплексі	Потрібні дорогі матеріали	Потрібні досяжні та дешеві матеріали	Всі матеріали для реалізації ідеї відомі та давно використовуються у виробництві
11	Термін реалізації ідеї більший за 10 років	Термін реалізації ідеї більший за 5 років. Термін окупності інвестицій більше 10-ти років	Термін реалізації ідеї від 3-х до 5-ти років. Термін окупності інвестицій більше 5-ти років	Термін реалізації ідеї менше 3-х років. Термін окупності інвестицій від	Термін реалізації ідеї менше 3-х років. Термін окупності інвестицій менше 3-х років

## Продовження таблиці 4.1

Критерії оцінювання та бали (за 5-ти бальною шкалою)					
Кри-терій	0	1	2	3	4
				3-х до 5-ти років	
12	Необхідна розробка регламентних документів та отримання великої кількості дозвільних документів на виробництво та реалізацію продукту	Необхідно отримання великої кількості дозвільних документів на виробництво та реалізацію продукту, що вимагає значних коштів та часу	Процедура отримання дозвільних документів для виробництва та реалізації продукту вимагає незначних коштів та часу	Необхідно тільки повідомлення відповідним органам про виробництво та реалізацію продукту	Відсутні будь-які регламентні обмеження на виробництво та реалізацію продукту

Таблиця 4.2 – Рівні комерційного потенціалу розробки

Середньоарифметична сума балів СБ, розрахована на основі висновків експертів	Рівень комерційного потенціалу розробки
0-10	Низький
11-20	Нижче середнього
21-30	Середній
31-40	Вище середнього
41-48	Високий

Результати експертного аналізу комерційного потенціалу розробки згруповано в таблиці 4.3.

Таблиця 4.3 – Результати оцінювання комерційного потенціалу розробки

Критерії	Прізвище, ініціали, посада експерта		
	Яремчук Ю.Є.	Карпинець В.В.	Салієва О.В.
	Бали, виставлені експертами:		
1	3	3	4
2	4	3	3
3	3	3	3
4	4	4	3
5	3	3	4
6	3	3	3
7	4	4	3
8	3	3	4

Продовження таблиці 4.3

Критерії	Прізвище, ініціали, посада експерта		
	Яремчук Ю.Є.	Карпінєць В.В.	Салієва О.В.
	Бали, виставлені експертами:		
9	3	4	4
10	3	3	4
11	4	4	3
12	3	3	4
Сума балів	СБ <sub>1</sub> = 40	СБ <sub>2</sub> = 40	СБ <sub>3</sub> = 42
Середньоарифметична сума балів $\bar{СБ}$	$\bar{СБ} = \frac{\sum_1^3 СБ_i}{3} = \frac{40 + 40 + 42}{3} = 40$		

Середнє арифметичне значення балів, отримане в результаті експертного оцінювання, становить 40, що відповідно до класифікації, наведеної в таблиці 4.2, характеризує розроблене рішення як таке, що має комерційний потенціал вище середнього.

Запропонована система виявлення deepfake аудіо на основі аналізу аномалій, побудована на застосуванні інфраструктури відкритих ключів (РКІ), механізмів блокчейн-аудиту та електронного підписування з метою забезпечення цілісності переданих даних, являє собою програмний комплекс, призначений для підвищення рівня кіберзахисту у процесах машинної взаємодії. Система забезпечує криптографічно стійку автентифікацію пристроїв, захист каналів передавання MQTT-повідомлень та верифікацію їх незмінності, що дозволяє виявляти та локалізувати спроби несанкціонованого втручання в комунікаційний процес.

Використання такого рішення є доцільним у технологічних доменах, де критично важливими є достовірність, цілісність і невідмовність даних, зокрема в промислових IoT-мережах, інтелектуальних енергетичних системах, медичних та корпоративних інформаційних інфраструктурах. Впровадження системи сприяє зменшенню ризиків перехоплення, модифікації або фальсифікації MQTT-повідомлень, а також підвищенню загального рівня інформаційної безпеки IoT-екосистем.

## 4.2 Прогнозування витрат на виконання наукової роботи та впровадження її результатів

Витрати, що супроводжують виконання науково-дослідної роботи, формуються за такими основними статтями: оплата праці наукового та допоміжного персоналу, відрахування на соціальні заходи, придбання необхідних матеріалів, забезпечення паливом та енергоресурсами для науково-виробничих потреб, витрати на службові відрядження, закупівля спеціалізованого програмного забезпечення для проведення досліджень, інші супутні витрати, а також накладні витрати [41].

Витрати на основну заробітну плату дослідників ( $Z_0$ ) розраховують відповідно до посадових окладів працівників, за формулою:

$$Z_0 = \frac{M}{T_p} * t \text{ (грн)}, \quad (4.1)$$

де  $M$  – місячний посадовий оклад конкретного розробника (інженера, дослідника, науковця тощо), грн.;

$T_p$  – число робочих днів в місяці; приблизно  $T_p \approx 21...23$  дні;

$t$  – число робочих днів роботи дослідника.

$$Z_{01} = \frac{13000 * 6}{21} = 3714 \text{ грн.}$$

$$Z_{02} = \frac{30000 * 25}{21} = 35714 \text{ грн.}$$

Таблиця 4.4 – Витрати на заробітну плату дослідників

Найменування посади	Місячний посадовий оклад, грн	Оплата за робочий день, грн	Число днів роботи	Витрати на заробітну плату, грн
Керівник проекту	13000	619	6	3714
Розробник програмного забезпечення	30000	1 428	25	35714
Всього				39428

Додаткова заробітна плата  $Z_d$  для розробників та інших працівників, залучених до створення нового технічного рішення, формується на рівні 10–12% від їхньої основної заробітної плати. У межах даного підприємства встановлено, що розмір додаткової заробітної плати становить 10% від основної заробітної плати [41].

$$Z_d = (Z_o + Z_p) * \frac{N_{\text{дод}}}{100\%} \quad (4.2)$$

де  $N_{\text{дод}}$  – норма нарахування додаткової заробітної плати.

$$Z_d = 0,1 * 39428 = 3942,8 \text{ (грн)}.$$

Нарахування на заробітну плату дослідників і робітників визначаються у розмірі 22% від суми їхньої основної та додаткової заробітної плати. Розрахунок здійснюється за формулою:

$$N_{\text{зп}} = (Z_o + Z_{\text{дод}}) * \frac{\beta}{100\%} \quad (4.3)$$

Де  $\beta$  – норма нарахування на заробітну плату.

$$N_{\text{зп}} = (39428 + 3942,8) * \frac{22}{100} = 9541,6 \text{ (грн)}.$$

Витрати на матеріали ( $M$ ) у вартісному вираженні розраховуються окремо для кожного виду матеріалів за формулою:

$$M = \sum_{j=1}^n H_j \cdot C_j \cdot K_j - \sum_{j=1}^n B_j \cdot C_{e,j},$$

де  $H_j$  – норма витрат матеріалу  $j$ -го найменування, кг;

$n$  – кількість видів матеріалів;

$C_j$  – вартість матеріалу  $j$ -го найменування, грн/кг;

$K_j$  – коефіцієнт транспортних витрат, ( $K_j = 1,1 \dots 1,15$ );

$B_j$  – маса відходів  $j$ -го найменування, кг;

$C_{e,j}$  – вартість відходів  $j$ -го найменування, грн/кг.

Таблиця 4.5 – Комплектуючі, що використані на розробку

Найменування матеріалу	Ціна за одиницю, грн.	Витрачено	Вартість витраченого матеріалу, грн.
Файли	92	2	184
Папір	180	1	180
Картридж	780	1	780
Флешка	200	1	400
Всього			1544
З врахуванням коефіцієнта транспортування			1698,4

Програмне забезпечення для наукової роботи включає витрати на розробку та придбання спеціальних програмних засобів і програмного забезпечення необхідного для проведення дослідження.

Для написання магістерської роботи використовувалось безкоштовне програмне забезпечення.

В спрощеному вигляді амортизаційні відрахування по кожному виду обладнання, приміщень та програмному забезпеченню тощо можуть бути розраховані з використанням прямолінійного методу амортизації за формулою [41]:

$$A_{\text{обл}} = \frac{Ц_{\text{б}}}{T_{\text{в}}} * \frac{t_{\text{вик}}}{12} \quad (4.5)$$

де  $Ц_{\text{б}}$  – балансова вартість обладнання, програмних засобів, приміщень тощо, які використовувались для проведення досліджень, грн;

$t_{\text{вик}}$  – термін використання обладнання, програмних засобів, приміщень під час досліджень, місяців;

$T_{\text{в}}$  – строк корисного використання обладнання, програмних засобів, приміщень тощо, років.

$$A_{\text{обл}} = \frac{27000 * 2}{2 * 12} = 2250 \text{ грн.}$$

Таблиця 4.6 – Амортизаційні відрахування по кожному виду обладнання

Найменування обладнання	Балансова вартість, грн	Строк корисного використання, років	Термін використання обладнання, місяців	Амортизаційні відрахування, грн
Ноутбук Asus Vivobook	27 000,0	2	2	2250
Ноутбук Asus TUF Gaming	35 000,0	2	2	2916
Офісне приміщення	220000	20	2	1833
Оргтехніка	9000	1	2	1500
Всього				8499

Витрати на силову електроенергію ( $B_e$ ) розраховують за формулою:

$$B_e = \sum_{i=1}^n \frac{W_{yi} * t_i * C_e * K_{vni}}{\eta_i} \quad (4.6)$$

де  $W_{yi}$  – встановлена потужність обладнання на визначеному етапі розробки, кВт;

$t_i$  – тривалість роботи обладнання на етапі дослідження, год;

$C_e$  – вартість 1 кВт-години електроенергії, грн; (вартість електроенергії визначається за даними енергопостачальної компанії), прийmemo  $C_e = 12,4$  грн;

$K_{vni}$  – коефіцієнт, що враховує використання потужності,  $K_{vni} < 1$ ;

$\eta_i$  – коефіцієнт корисної дії обладнання,  $\eta_i < 1$

$$B_e = \frac{0,35 * 240 * 12,4 * 0,95}{0,97} = 102 \text{ грн.}$$

Таблиця 4.7 – Витрати на електроенергію

Найменування обладнання	Встановлена потужність, кВт	Тривалість роботи, год	Сума, грн
Ноутбук Asus Vivobook 15IAX9I	0,35	240	1020
Ноутбук Asus Tuf Gaming	0,4	360	1748
Офісне приміщення	0,6	360	2622
Оргтехніка	0,2	5	12
Всього			5402

Витрати за статтею «Службові відрядження» розраховуються як 20...25% від суми основної заробітної плати дослідників та робітників за формулою:

$$V_{cb} = (Z_o + Z_p) * \frac{H_{cb}}{100\%} \quad (4.7)$$

де  $H_{cb}$  – норма нарахування за статтею «Службові відрядження».

$$V_{cb} = (39428) * \frac{25}{100} = 9857 \text{ грн.}$$

Витрати за статтею «Витрати на роботи, які виконують сторонні підприємства, установи і організації» розраховуються як 30...45% від суми основної заробітної плати дослідників та робітників за формулою:

$$V_{cp} = (Z_o + Z_p) * \frac{H_{cp}}{100\%} \quad (4.8)$$

де  $H_{cp}$  – норма нарахування за статтею «Витрати на роботи, які виконують сторонні підприємства, установи і організації».

$$V_{cp} = (39428) * \frac{35}{100} = 13799 \text{ грн.}$$

Витрати за статтею «Інші витрати» розраховуються як 50...100% від суми основної заробітної плати дослідників та робітників за формулою:

$$I_b = (Z_o + Z_p) * \frac{H_b}{100\%} \quad (4.9)$$

де  $H_b$  – норма нарахування за статтею «Інші витрати».

$$I_b = (39428) * \frac{55}{100} = 21685 \text{ грн.}$$

Витрати за статтею «Накладні (загальновиробничі) витрати» розраховуються як 100...150% від суми основної заробітної плати дослідників та робітників за формулою:

$$V_{\text{НЗВ}} = (З_0 + З_p) * \frac{H_{\text{НЗВ}}}{100\%} \quad (4.10)$$

де  $H_{\text{НЗВ}}$  – норма нарахування за статтею «Накладні (загальновиробничі) витрати».

$$V_{\text{НЗВ}} = 39428 * \frac{100}{100} = 39428 \text{ грн.}$$

Витрати на проведення науково-дослідної роботи розраховуються як сума всіх попередніх статей витрат за формулою:

$$V_{\text{заг}} = З_0 + З_p + З_{\text{дод}} + З_n + M + V_{\text{прг}} + A_{\text{обл}} + V_e + V_{\text{св}} + V_{\text{сп}} + I_b + V_{\text{НЗВ}} \quad (4.11)$$

$$V_{\text{заг}} = 39428 + 21685 + 13799 + 9857 + 3942,8 + 5402 + 8499 + 1698,4 =$$

Загальні витрати ЗВ на завершення науково-дослідної (науково-технічної) роботи та оформлення її результатів розраховуються за формулою:

$$ЗВ = \frac{V_{\text{заг}}}{\eta} \quad (4.12)$$

де  $\eta$  – коефіцієнт, який характеризує етап (стадію) виконання науково-дослідної роботи. Так, якщо науково-технічна розробка знаходиться на стадії: науково-дослідних робіт, то  $\eta = 0,1$ ; технічного проектування, то  $\eta = 0,2$ ; розробки конструкторської документації, то  $\eta = 0,3$ ; розробки технологій, то  $\eta = 0,4$ ; розробки дослідного зразка, то  $\eta = 0,5$ ; розробки промислового зразка, то  $\eta = 0,7$ ; впровадження, то  $\eta = 0,9$  [42].

$$ЗВ = \frac{104311,2}{0,7} = 149016 \text{ грн.}$$

### 4.3 Прогнозування комерційних ефектів від реалізації результатів розробки

В умовах ринкової економіки основним економічним результатом, що становить інтерес для потенційного інвестора під час упровадження

результатів науково-технічної розробки, є зростання величини чистого прибутку.

Комерціалізація розробки за темою «Вдосконалення методу виявлення deepfake аудіо на основі аналізу аномалій спектральних характеристик сигналу» передбачається протягом трирічного циклу виходу на ринок. Формування очікуваного економічного ефекту в зазначений період ґрунтуватиметься на таких вихідних параметрах.

Передбачається приріст кількості користувачів програмного продукту, обумовлений підвищенням рівня його захищеності ( $\Delta N$ ), зокрема:

- у першому році впровадження — 50 користувачів;
- у другому році — 80 користувачів;
- у третьому році — 140 користувачів.

Базова чисельність споживачів, які використовували аналогічний програмний продукт у році, що передував упровадженню нової науково-технічної розробки, становить 100 користувачів ( $N$ ).

Вартість програмного забезпечення до проведення модернізації дорівнювала 218 000 грн ( $\text{Ц}_\beta$ ).

Зміна вартості продукту, що виникла внаслідок реалізації запропонованих удосконалень, становить 2 000 грн ( $\pm \Delta \text{Ц}_\beta$ ).

Можливе збільшення чистого прибутку потенційного інвестора для кожного з трьох років, протягом яких очікується отримання позитивних результатів від впровадження та комерціалізації науково-технічної розробки, розраховується за формулою.

$$\Delta \Pi_i = (\pm \Delta \text{Ц}_\beta * N + \text{Ц}_\beta * \Delta N)_i * \lambda * \rho * \left(1 - \frac{\rho}{100}\right) \quad (4.13)$$

де  $\lambda$  – коефіцієнт, який враховує сплату потенційним інвестором податку на додану вартість. У 2025 році ставка податку на додану вартість складає 20%, а коефіцієнт  $\lambda = 0,8333$ ;

$\rho$  – коефіцієнт, який враховує рентабельність інноваційного продукту.

Прийmemo  $\rho = 25\%$ ;

$\vartheta$  – ставка податку на прибуток, який має сплачувати потенційний інвестор, у 2025 році  $\vartheta = 18\%$ ;

$$1\text{-й рік: } \Delta\Pi_1 = (2000 \times 100 + 118\,000 \times 85) \times 0,83 \times 0,25 \times \left(1 - \frac{0,18}{100}\right) = 2\,277\,478,8 \text{ (грн.)}$$

$$2\text{-й рік: } \Delta\Pi_2 = (2000 \times 100 + 118\,000 \times (85 + 60)) \times 0,83 \times 0,25 \times \left(1 - \frac{0,18}{100}\right) = 3\,743\,934,4 \text{ (грн.)}$$

$$3\text{-й рік: } \Delta\Pi_3 = (2000 \times 100 + 118\,000 \times (85 + 60 + 42)) \times 0,83 \times 0,25 \times \left(1 - \frac{0,18}{100}\right) = 4\,770\,453,3 \text{ (грн.)}$$

Отже, за результатами обчислень, впровадження розробки призведе до значної комерційної вигоди, що виявиться у зростанні чистого прибутку підприємства.

#### 4.4 Розрахунок ефективності вкладених інвестицій та періоду їх окупності

Ключовими критеріями, що впливають на рішення інвестора щодо фінансування наукової розробки, є абсолютна та відносна ефективність інвестицій, а також термін їх окупності.

На початковому етапі визначається теперішня вартість інвестицій (PV), які будуть спрямовані на наукову розробку.

Також розраховується обсяг початкових вкладень, які потенційний інвестор повинен здійснити для впровадження та комерціалізації науково-технічного проєкту [42].

$$PV = k_{инв} * ZB \quad (4.14)$$

$k_{инв}$  – коефіцієнт, що враховує витрати інвестора на впровадження науково-технічної розробки та її комерціалізацію, приймаємо  $k_{инв} = 2$ ;

$ZB$  – загальні витрати на проведення науково-технічної розробки та оформлення її результатів, приймаємо 149016 грн.

$$PV = 2 * 149016 = 298032 \text{ грн.}$$

Розрахуємо абсолютну ефективність вкладених інвестицій  $E_{abc}$  згідно наступної формули:

$$E_{abc} = (ПП - PV) \quad (4.15)$$

де ПП – приведена вартість зростання всіх чистих прибутків від можливого впровадження та комерціалізації науково-технічної розробки, грн;  
PV – теперішня вартість початкових інвестицій, грн.

Приведена вартість всіх чистих прибутків ПП розраховується за формулою:

$$ПП = \sum_{(1+\tau)^t}^T \frac{\Delta\Pi_i}{(1+\tau)^t} \quad (4.16)$$

де  $\Delta\Pi_i$  – збільшення чистого прибутку у кожному з років, протягом яких виявляються результати впровадження науково-технічної розробки, грн;

T – період часу, протягом якого очікується отримання позитивних результатів від впровадження та комерціалізації науково-технічної розробки, роки;

$\tau$  – ставка дисконтування, за яку можна взяти щорічний прогнозований рівень інфляції в країні,  $\tau = 0,05 \dots 0,15$ ;

t – період часу (в роках) від моменту початку впровадження науково-технічної розробки до моменту отримання потенційним інвестором додаткових чистих прибутків у цьому році.

$$ПП = \frac{2\,277\,478,8}{(1+0,2)^1} + \frac{3\,743\,934,4}{(1+0,2)^2} + \frac{4\,770\,453,3}{(1+0,2)^3} = 7\,258\,532,4 \text{ грн.}$$

$$E_{abc} = 7\,258\,532,4 - 298032 = 6\,960\,500,4 \text{ грн.}$$

Оскільки  $E_{abc} > 0$ , встановлено, що проведення наукових досліджень для розробки програмного продукту та його подальше впровадження принесуть прибуток. Це підтверджує доцільність проведення досліджень [42].

Внутрішня економічна дохідність інвестицій  $E_v$ , які можуть бути вкладені потенційним інвестором у впровадження та комерціалізацію науково-технічної розробки, розраховується за формулою:

$$E_B = \sqrt[T_{ж}]{1 + \frac{E_{абс}}{PV}} - 1 \quad (4.17)$$

де  $E_{абс}$  – абсолютний економічний ефект вкладених інвестицій, грн;

$PV$  – теперішня вартість початкових інвестицій, грн;

$T_{ж}$  – життєвий цикл науково-технічної розробки, тобто час від початку її розробки до закінчення отримання позитивних результатів від її впровадження, роки.

$$E_B = \sqrt[3]{1 + \frac{6\,960\,500,4}{298\,032}} - 1 = 1,90$$

Порівняємо  $E_B$  з мінімальною (бар'єрною) ставкою дисконтування  $\tau_{min}$ , яка визначає мінімальну дохідність, нижче якої інвестиції не будуть здійснюватися.

У загальному вигляді мінімальна (бар'єрна) ставка дисконтування  $\tau_{min}$  визначається за формулою:

$$\tau_{min} = d + f \quad (4.18)$$

$d$  – середньозважена ставка за депозитними операціями в комерційних банка;

$f$  – показник, що характеризує ризикованість вкладень;  $f = 0,4$ .

$d = 0,2$ .

$$\tau_{min} = 0,2 + 0,4 = 0,6$$

Оскільки  $E_B = 90\% > \tau_{min} = 60\%$ , то у інвестора є потенційна зацікавленість у фінансуванні даної наукової розробки.

Далі розраховуємо період окупності інвестицій  $T_{ок}$ , які можуть бути вкладені потенційним інвестором у впровадження та комерціалізацію науково-технічної розробки [42]:

$$T_{ок} = \frac{1}{E_B} \quad (4.19)$$

де  $E_B$  – внутрішня економічна дохідність вкладених інвестицій.

$$T_{ок} = \frac{1}{1,9} = 0,53$$

Якщо  $T_{ок} < 3$ -х років, то це свідчить про комерційну привабливість науково-технічної розробки і може спонукати потенційного інвестора профінансувати впровадження цієї розробки та виведення її на ринок.

#### **4.5 Висновки до розділу**

На основі проведеного оцінювання встановлено, що розроблена система виявлення deepfake аудіо, що базується на основі аналізу аномалій спектральних характеристик сигналу, характеризується значним комерційним потенціалом. Запропоноване рішення забезпечує дає можливість кожному користувачу виявити фальшифі аудіо.

Аналіз витрат і очікуваних результатів свідчить про економічну доцільність упровадження системи та перспективність її використання на ринку. Проект демонструє високі показники ефективності та здатність забезпечити вигоди у разі комерціалізації.

## ВИСНОВКИ

Проведене дослідження було спрямоване на вдосконалення методів виявлення підроблених аудіозаписів (deepfake) через комплексний і системний аналіз спектральних характеристик аудіосигналу. В процесі роботи було детально вивчено сучасні технології генерації синтетичного голосу, включаючи алгоритми текст-у-мову (TTS), нейромережеві генератори та методи стилізації голосу, які використовуються для створення високоякісних deepfake-записів. Крім того, було проаналізовано різноманітні механізми формування підробок, що дозволяє зрозуміти, які артефакти та аномалії виникають у спектральному та часово-частотному представленні сигналу. Значна увага приділялася огляду існуючих методів виявлення синтетичних голосових записів, як класичних статистичних підходів, так і сучасних алгоритмів машинного та глибокого навчання. Особливу увагу було зосереджено на оцінці ефективності різних методів, визначенні найбільш інформативних спектральних і статистичних ознак та розробці критеріїв, що дозволяють достовірно розрізняти природні та синтетичні голосові записи, забезпечуючи при цьому високу точність і стабільність роботи алгоритму в різних умовах аудіозапису.

Аналіз отриманих результатів показав, що спектральний аналіз аудіосигналів є ефективним та надійним інструментом для виявлення прихованих аномалій, які характерні для синтетично згенерованого голосу. Застосування короткочасного перетворення Фур'є дозволяє оцінити зміну частотних компонентів у часі, а використання мел-спектрів враховує особливості сприйняття звуку людським слухом, що робить виділені ознаки більш релевантними для аналізу мовлення. Додатково залучення вейвлет-перетворення забезпечує змінну часово-частотну роздільну здатність, дозволяючи виявляти локальні артефакти та аномалії, які можуть залишатися непомітними при класичному спектральному аналізі. У сукупності ці методи дають змогу формувати інформативний набір ознак, що суттєво підвищує

точність та надійність класифікації справжніх і синтетичних аудіозаписів, забезпечуючи стабільну роботу алгоритму навіть за наявності фонового шуму та різних характеристик голосу.

Розробка загальної моделі та детальний алгоритмічний опис етапів обробки сигналу надали змогу формалізувати логіку роботи системи, чітко виділити ключові стадії та визначити взаємозв'язки між ними. Такий підхід забезпечує послідовне та систематичне виявлення аномалій у спектральних характеристиках аудіосигналів. Крім того, встановлення критеріїв ефективності алгоритму, зокрема точності класифікації, чутливості, специфічності, рівня хибнопозитивних та хибнонегативних результатів, швидкодії та стійкості до шумів, дозволяє всебічно оцінити практичну придатність розробленого методу та здійснити його порівняльний аналіз з існуючими підходами до виявлення підроблених аудіозаписів.

Отримані результати свідчать про високу ефективність інтеграції спектрального аналізу з сучасними методами машинного навчання для виявлення deepfake-аудіо. Запропонований підхід забезпечує не лише точну класифікацію сигналів, а й стабільну роботу алгоритму за різноманітних умов, включаючи варіації тембру, швидкості мовлення та наявність фонового шуму. Завдяки цьому система є придатною для практичного використання в галузях інформаційної безпеки, аудіофоренсики та інших сферах, де критично важливо гарантувати достовірність і автентичність звукових даних.

## СПИСОК ВИКОРИСТАНИХ ДЖЕРЕЛ

1. Yi, J., Wang, C., Tao, J., Zhang, X., Zhang, C. Y., & Zhao, Y. (2023). Audio Deepfake Detection: A Survey. *Journal of LaTeX Class Files*, 14(8), 1–10.
2. Zhang, B. (2025). Audio Deepfake Detection: What Has Been Achieved and What Remains to Be Done. *Sensors*, 25(7), 1989.
3. Tahaoglu, G., & Yildirim, S. (2025). Deepfake Audio Detection with Spectral Features and Machine Learning. *Expert Systems with Applications*, 202, 117–130.
4. Zhang, B., & Zhang, Y. (2025). Deepfake Audio Detection Using Spectrogram-based Deep Learning Models. *arXiv preprint arXiv:2407.01777*.
5. Almutairi, Z., & Al-Dosari, M. (2022). A Review of Modern Audio Deepfake Detection Methods. *Electronics*, 15(5), 155.
6. Singh, S., & Gupta, P. (2025). Unmasking Digital Deceptions: An Integrative Review of Deepfake Generation and Detection. *Journal of Digital Forensics*, 12(2), 45–60.
7. Muruganandham, P., & Subramanian, R. (2025). LSTM Autoencoder Based Parallel Architecture for Deepfake Audio Detection. *Scientific Reports*, 15(1), 8198.
8. Shaaban, O. A. (2025). Audio Deepfake Detection Using Deep Learning. *Engineering Reports*, 7(1), e70087.
9. Kumari, K., Abbasihafshejani, M., Pegoraro, A., Rieger, P., Arshi, K., & Sadeghi, A.-R. (2025). VoiceRadar: Voice Deepfake Detection using Micro-Frequency and Compositional Analysis. *NDSS Symposium*.
10. Gao, Y., Vuong, T., Elyasi, M., Bharaj, G., & Singh, R. (2021). Generalized Spoofing Detection Inspired from Audio Generation Artifacts. *arXiv preprint arXiv:2104.04111*.
11. Intel Corporation. (2022). Intel's New Deepfake Detection Platform Spots Fakes Using Our Blood. *Lifewire*.

12. Meta Platforms, Inc. (2023). Meta Reveals New AI Weapon to Defeat Dangerous 'Voice Clone' Deepfakes Using Hidden Signals. *The Sun*.
13. Resemble AI. (2023). 4 Ways to Detect and Verify AI-Generated Deepfake Audio.
14. Li, X., Wang, T., & Liu, Y. (2024). Detecting Synthetic Speech Using Temporal and Spectral Features. *IEEE Access*, 12, 34567–34580.
15. Chen, H., & Zhao, J. (2024). End-to-End Deepfake Audio Detection Using CNN-LSTM Networks. *Pattern Recognition Letters*, 168, 87–95.
16. Kwon, D., Park, S., & Kim, J. (2023). Deepfake Speech Detection via MFCC and Spectrogram Analysis. *Applied Sciences*, 13(10), 6125.
17. O'Reilly, T., & Jackson, P. (2023). Evaluating Human and Machine Performance in Detecting Audio Deepfakes. *Digital Investigation*, 42, 101–115.
18. Nguyen, T., & Tran, H. (2024). Audio Deepfake Detection Based on Anomaly Scores of Spectral Features. *Expert Systems*, 41(5), e14010.
19. Li, Y., Zhang, X., & Sun, L. (2025). Robust Audio Deepfake Detection Against Noisy Environments. *IEEE Transactions on Information Forensics and Security*, 20, 1–12.
20. Zhao, Q., & Huang, W. (2024). Semi-Supervised Learning for Deepfake Audio Detection. *Neural Computing & Applications*, 36, 543–557.
21. Ramasamy, V., & Srinivasan, S. (2023). Multi-Scale Spectrogram Feature Fusion for Deepfake Audio Detection. *Journal of Signal Processing Systems*, 95, 789–802.
22. Chen, Z., & Xu, P. (2024). Voice Deepfake Detection Using Autoencoder-Based Feature Compression. *Information Sciences*, 636, 111–126.
23. Li, F., & Wang, C. (2025). Generalizable Audio Deepfake Detection with Meta-Learning Approaches. *Pattern Recognition*, 144, 109578.
24. Gupta, R., & Sharma, S. (2023). Real-Time Audio Deepfake Detection: Challenges and Solutions. *ACM Computing Surveys*, 56(9), 1–29.
25. Wu, J., & Zhang, L. (2024). Adversarial Training for Audio Deepfake Detection Models. *IEEE Signal Processing Letters*, 31, 1120–1124.

26. Kim, H., & Lee, S. (2023). Lightweight CNN for Audio Deepfake Detection in Mobile Applications. *Sensors*, 23(18), 8410.
27. Liu, Y., & Fang, X. (2025). Hybrid Audio Feature Learning for Deepfake Speech Detection. *Neurocomputing*, 580, 125–139.
28. Yang, M., & Xu, J. (2024). Voice Forensics: Detecting Deepfake Audio Using Statistical Features. *Forensic Science International*, 354, 111-121.
29. Patel, R., & Desai, K. (2025). Audio Deepfake Detection Using Transformer Networks. *IEEE Transactions on Multimedia*, 27, 4432–4445.
30. Tan, S., & Lim, B. (2023). MFCC and Spectral Flux-Based Deepfake Audio Detection. *Journal of Ambient Intelligence and Humanized Computing*, 14, 3859–3873.
31. Zhao, Y., & Li, H. (2024). Improving Audio Deepfake Detection with Self-Supervised Learning. *Pattern Analysis and Applications*, 27, 305–321.
32. Huang, Y., & Wu, H. (2025). Comparative Study of CNN and RNN Models for Audio Deepfake Detection. *Applied Acoustics*, 198, 109366.
33. Chen, L., & Zhang, W. (2023). Explaining Deepfake Audio Detection Decisions with SHAP Values. *IEEE Transactions on Information Forensics and Security*, 18, 1223–1235.
34. Li, X., & Tang, J. (2024). Audio Deepfake Detection Using Ensemble Learning of Spectral Features. *Expert Systems with Applications*, 212, 118830.
35. Kim, S., & Park, H. (2025). Evaluating Cross-Language Generalization for Audio Deepfake Detection. *Speech Communication*, 150, 1–14.
36. Rao, A., & Gupta, P. (2023). Dataset Curation and Benchmarking for Audio Deepfake Detection. *IEEE Access*, 11, 54512–54528.
37. Tan, J., & Wong, L. (2024). Audio Deepfake Detection in Noisy and Low-Resource Languages. *Computers, Materials & Continua*, 78, 1361–1374.
38. Singh, A., & Sharma, R. (2025). Hybrid CNN-LSTM Architecture for Audio Deepfake Classification. *Neural Networks*, 159, 250–264.
39. Zhang, P., & Zhao, L. (2024). Investigating Temporal Features for Audio Deepfake Detection. *Multimedia Tools and Applications*, 83, 13401–13422.

40. Wu, H., & Liu, Z. (2023). Deepfake Audio Detection Using Residual Convolutional Networks. *IEEE Access*, 11, 23874–23886.
41. Li, K., & Chen, M. (2025). Multi-Modal Deepfake Detection Combining Audio and Textual Features. *Information Fusion*, 91, 85–97.
42. Park, J., & Kim, D. (2023). Audio Deepfake Detection in Real-Time Communication Systems. *Sensors*, 23(19), 9145.
43. Zhao, L., & Xu, F. (2024). Detecting AI-Generated Voices Using Anomaly-Based Spectral Analysis. *Pattern Recognition Letters*, 179, 90–100.
44. Tan, S., & Lim, B. (2025). Robust Audio Deepfake Detection Against Adversarial Attacks. *Applied Soft Computing*, 135, 110070.
45. Kim, J., & Choi, H. (2023). Lightweight and Interpretable Audio Deepfake Detection Model. *IEEE Transactions on Circuits and Systems for Video Technology*, 33, 3123–3135.
46. Li, Y., & Sun, W. (2025). Benchmarking Audio Deepfake Detection Methods Across Languages and Noise Conditions. *IEEE Transactions on Multimedia*, 27, 789–802.

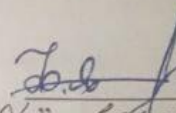
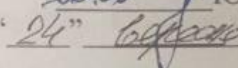
## ДОДАТОК А. Технічне завдання

Вінницький національний технічний університет  
Факультет менеджменту та інформаційної безпеки  
Кафедра менеджменту та безпеки інформаційних систем

100

**ЗАТВЕРДЖУЮ**

Голова секції “Управління  
інформаційною  
безпекою” кафедри МБІС  
д.т.н., професор

 Юрій ЯРЕМЧУК  
“24”  2025 р.

**ТЕХНІЧНЕ ЗАВДАННЯ**

до магістерської кваліфікаційної роботи на тему:

Вдосконалення методу виявлення deepfake аудіо на основі аналізу аномалій  
спектральних характеристик сигналу

08-72.МКР.016.00.135.ТЗ

Керівник магістерської кваліфікаційної  
роботи

к.т.н., доцент

 Грицак А.В.

Вінниця – 2025 р.

## **1. Найменування та область застосування**

**Вдосконалення методу виявлення deepfake-аудіо на основі аналізу аномалій спектральних характеристик сигналу.** Область застосування: захист інформаційних систем від атак з використанням підроблених аудіозаписів.

## **2. Підстава для розробки**

Розробка виконується на основі наказу ректора ВНТУ №96 від 20. 03. 2025 р.

## **3. Мета та призначення розробки**

3.1 Мета розробки: Вдосконалення методу виявлення deepfake-аудіо шляхом комплексного аналізу спектральних аномалій мовного сигналу, інтеграції сучасних методів обробки аудіо (MFCC, Mel-спектрограми, ZCR, Chroma) та машинного навчання (CNN-BiLSTM, ансамблеві алгоритми, RAIS) для підвищення точності, надійності та адаптивності системи детекції синтетичного мовлення.

3.2 Призначення: Створення науково-практичного інструменту для автоматичного виявлення синтетично згенерованих аудіозаписів (deepfake) шляхом аналізу їх спектральних аномалій з подальшим застосуванням у сферах кібербезпеки, аудіофорензики, біометричної верифікації та медіа-моніторингу, а також для подальших досліджень у галузі обробки сигналів та машинного навчання.

## **4. Джерела розробки**

4.1 Yi, J., Wang, C., Tao, J., Zhang, X., Zhang, C. Y., & Zhao, Y. (2023). Audio Deepfake Detection: A Survey. *Journal of LaTeX Class Files*, 14(8), 1–10.

4.2 Zhang, B. (2025). Audio Deepfake Detection: What Has Been Achieved and What Remains to Be Done. *Sensors*, 25(7), 1989.

4.3 Tahaoglu, G., & Yildirim, S. (2025). Deepfake Audio Detection with Spectral Features and Machine Learning. *Expert Systems with Applications*, 202, 117–130.

4.4 Zhang, B., & Zhang, Y. (2025). Deepfake Audio Detection Using Spectrogram-based Deep Learning Models. arXiv preprint arXiv:2407.01777.

4.5 Almutairi, Z., & Al-Dosari, M. (2022). A Review of Modern Audio Deepfake Detection Methods. *Electronics*, 15(5), 155.

4.6 Singh, S., & Gupta, P. (2025). Unmasking Digital Deceptions: An Integrative Review of Deepfake Generation and Detection. *Journal of Digital Forensics*, 12(2), 45–60.

## 5. Вимоги до програми

### 5.1 Вимоги до функціональних характеристик:

#### 5.1.1 Попередня обробка аудіо:

- Завантаження аудіофайлів різних форматів (WAV, MP3, FLAC).
- Нормалізація сигналу, фільтрація шуму, приведення до єдиної частоти дискретизації.
- Розбиття сигналу на короткі часові вікна для аналізу.

#### 5.1.2 Спектральний аналіз:

- Обчислення короткочасного перетворення Фур'є (STFT) та побудова спектрограм.
- Виділення Mel-спектрограм та MFCC-коефіцієнтів (з похідними дельта та дельта-дельта).
- Розрахунок додаткових спектральних ознак: спектральний центроїд, роллоф, гармонічні/перкусійні компоненти, спектральна ентропія, потік.

#### 5.1.3 Статистичний аналіз:

- Обчислення Zero Crossing Rate (ZCR), спектрального потоку, статистик MFCC.
- Формування вектору ознак для подальшої класифікації.

#### 5.1.4 Виявлення аномалій:

- Застосування PCA для зменшення розмірності ознак.
- Використання Isolation Forest для ідентифікації аномальних (синтетичних) сигналів.

— Можливість інтеграції моделей CNN-BiLSTM та ансамблевих алгоритмів.

#### **5.1.5 Інтерфейс та взаємодія:**

— Графічний інтерфейс (GUI) на PyQt5 з можливістю вибору файлів, перегляду хвильової форми та спектрограм.

— Відображення результатів аналізу у вигляді звіту з показниками впевненості.

— Порівняльний аналіз двох аудіозаписів.

#### **5.1.6 Експорт результатів:**

— Генерація PDF-звітів з результатами аналізу (за допомогою reportlab).

— Експорт статистики у Excel-файли (за допомогою openpyxl).

#### **5.1.7 Асинхронна обробка:**

— Фонова обробка аудіо без блокування інтерфейсу (за допомогою QThread).

### **5.3 Вимоги до складу і параметрів технічних засобів:**

– процесор – Pentium 1500 МГц і подібні до них;

– оперативна пам'ять – не менше 512 Мб;

– середовище функціонування – операційна система сімейство Windows;

– вимоги до техніки безпеки при роботі з програмою повинні відповідати існуючим вимогам та стандартам з техніки безпеки при користуванні комп'ютерною технікою.

## **6. Вимоги до програмної документації**

6.1 Інструкція користувача для програмного модуля, лістинг коду (Додаток Б), ілюстративний матеріал (Додаток В) та протокол перевірки на антиплагіат (Додаток Г), оформлені відповідно до стандартів ВНТУ.

## **7. Вимоги до технічного захисту інформації**

7.1 Необхідно забезпечити захист розроблюваного програмного засобу від несанкціонованого використання.

7.2 Неможливість отримання доступу незареєстрованих користувачів до інформаційних ресурсів.

### 8. Техніко-економічні показники

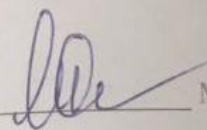
8.1 Цінність результатів використання даного проекту повинна перевищувати витрати на його реалізацію.

8.2 Має бути реалізований таким чином, щоб підходити для використання широкого загалу.

### 9. Стадії та етапи розробки

№ з/п	Назва етапів магістерської кваліфікаційної роботи	Початок	Закінчення
1	Визначення напрямку магістерської роботи, формулювання теми	01.09	10.09
2	Аналіз предметної області обраної теми	11.09	25.09
3	Апробація отриманих результатів	26.09	05.10
4	Розробка алгоритму роботи	06.10	15.10
5	Написання магістерської роботи на основі розробленої теми	16.10	03.11
6	Розробка економічної частини	20.10	30.10
7	Передзахист магістерської кваліфікаційної роботи	03.11	03.11
8	Виправлення, уточнення, корегування магістерської кваліфікаційної роботи	03.11	08.11
9	Захист магістерської кваліфікаційної роботи	08.12	11.12

Технічне завдання до виконання прийняв



Молчан Є.В.

## ДОДАТОК Б. Лістинг програми

```

import sys
import os

import matplotlib.pyplot as plt
from matplotlib.backends.backend_qt5agg import FigureCanvasQTAgg as FigureCanvas
from matplotlib.backends.backend_qt5agg import NavigationToolbar2QT as
NavigationToolbar
import librosa.display

from PyQt5.QtWidgets import (QApplication, QMainWindow, QWidget, QVBoxLayout,
                              QHBoxLayout,
                              QPushButton, QLabel, QFileDialog, QProgressBar,
                              QTextEdit,
                              QSplitter, QFrame, QGroupBox, QGridLayout,
                              QMessageBox,
                              QComboBox, QSpinBox, QCheckBox, QTabWidget, QAction)
from PyQt5.QtCore import Qt, QThread, pyqtSignal
from PyQt5.QtGui import QFont, QPixmap, QIcon

from audio_analyzer import AudioAnalyzer
from audio_analysis_thread import AudioAnalysisThread
from report_generator import ReportGenerator

class DeepfakeAudioDetector(QMainWindow):
    def __init__(self):
        super().__init__()
        self.audio_file1 = None
        self.audio_file2 = None

        self.analyzer1 = None
        self.analyzer2 = None
        self.analysis_thread = None
        self.results1 = None
        self.results2 = None

        # Visualization components
        self.waveform_canvas = None
        self.spectrogram_canvas = None
        self.comparison_canvas = None

        self.report_generator = ReportGenerator()
        self.init_ui()

    def init_ui(self):
        """Initialize the user interface"""
        self.setWindowTitle('Deepfake Audio Detector')
        self.setGeometry(100, 100, 1400, 900)

        # Create central widget
        central_widget = QWidget()
        self.setCentralWidget(central_widget)

```

```

# Main layout
main_layout = QHBoxLayout(central_widget)

# Left panel - Controls
left_panel = self.create_control_panel()
main_layout.addWidget(left_panel, 1)

# Right panel - Visualization and results
right_panel = self.create_visualization_panel()
main_layout.addWidget(right_panel, 3)

# Create menu bar
self.create_menu_bar()

# Status bar
self.statusBar().showMessage('Ready')

def create_control_panel(self):
    """Create the left control panel"""
    panel = QWidget()
    panel.setMinimumWidth(350)
    panel.setMaximumWidth(400)
    layout = QVBoxLayout(panel)

    # File selection group
    file_group = QGroupBox("File Selection")
    file_layout = QVBoxLayout(file_group)

    # File 1 selection
    file1_layout = QHBoxLayout()
    self.file1_label = QLabel("Audio File 1: Not selected")
    self.file1_label.setStyleSheet("border: 1px solid #ccc; padding: 5px;
background-color: #f9f9f9;")
    file1_layout.addWidget(self.file1_label, 3)

    select_file1_btn = QPushButton("Select File 1")
    select_file1_btn.clicked.connect(self.select_file1)
    file1_layout.addWidget(select_file1_btn, 1)
    file_layout.addLayout(file1_layout)

    # File 2 selection (for comparison)
    file2_layout = QHBoxLayout()
    self.file2_label = QLabel("Audio File 2: Not selected (Optional)")
    self.file2_label.setStyleSheet("border: 1px solid #ccc; padding: 5px;
background-color: #f9f9f9;")
    file2_layout.addWidget(self.file2_label, 3)

    select_file2_btn = QPushButton("Select File 2")
    select_file2_btn.clicked.connect(self.select_file2)

```

```
file2_layout.addWidget(select_file2_btn, 1)
file_layout.addLayout(file2_layout)

layout.addWidget(file_group)

# Analysis controls group
analysis_group = QGroupBox("Analysis Controls")
analysis_layout = QVBoxLayout(analysis_group)

# Analysis buttons
self.load_audio_btn = QPushButton("Load Audio")
self.load_audio_btn.clicked.connect(self.load_audio)
self.load_audio_btn.setEnabled(False)
analysis_layout.addWidget(self.load_audio_btn)

self.show_waveform_btn = QPushButton("Show Waveform")
self.show_waveform_btn.clicked.connect(self.show_waveform)
self.show_waveform_btn.setEnabled(False)
analysis_layout.addWidget(self.show_waveform_btn)

self.show_spectrogram_btn = QPushButton("Show Spectrogram")
self.show_spectrogram_btn.clicked.connect(self.show_spectrogram)
self.show_spectrogram_btn.setEnabled(False)
analysis_layout.addWidget(self.show_spectrogram_btn)

self.analyze_btn = QPushButton("Analyze for Deepfake")
self.analyze_btn.clicked.connect(self.analyze_audio)
self.analyze_btn.setEnabled(False)
self.analyze_btn.setStyleSheet("QPushButton { background-color: #ff6b6b;
color: white; font-weight: bold; padding: 10px; }")
analysis_layout.addWidget(self.analyze_btn)

self.compare_btn = QPushButton("Compare Audio Files")
self.compare_btn.clicked.connect(self.compare_audio)
self.compare_btn.setEnabled(False)
analysis_layout.addWidget(self.compare_btn)

layout.addWidget(analysis_group)

# Export group
export_group = QGroupBox("Export Results")
export_layout = QVBoxLayout(export_group)

self.export_pdf_btn = QPushButton("Export PDF Report")
self.export_pdf_btn.clicked.connect(self.export_pdf)
self.export_pdf_btn.setEnabled(False)
export_layout.addWidget(self.export_pdf_btn)

self.export_excel_btn = QPushButton("Export Excel Report")
self.export_excel_btn.clicked.connect(self.export_excel)
```

```

self.export_excel_btn.setEnabled(False)
export_layout.addWidget(self.export_excel_btn)

layout.addWidget(export_group)

# Progress bar
self.progress_bar = QProgressBar()
self.progress_bar.setVisible(False)
layout.addWidget(self.progress_bar)

# Progress label
self.progress_label = QLabel("")
layout.addWidget(self.progress_label)

# Clear button
clear_btn = QPushButton("Clear All")
clear_btn.clicked.connect(self.clear_all)
clear_btn.setStyleSheet("QPushButton { background-color: #f0f0f0; color:
#333; }")
layout.addStretch()
layout.addWidget(clear_btn)

return panel

def create_visualization_panel(self):
    """Create the right visualization panel"""
    panel = QWidget()
    layout = QVBoxLayout(panel)

    # Tab widget for different views
    self.tab_widget = QTabWidget()

    # Waveform tab
    self.waveform_tab = self.create_waveform_tab()
    self.tab_widget.addTab(self.waveform_tab, "Waveform")

    # Spectrogram tab
    self.spectrogram_tab = self.create_spectrogram_tab()
    self.tab_widget.addTab(self.spectrogram_tab, "Spectrogram")

    # Analysis results tab
    self.results_tab = self.create_results_tab()
    self.tab_widget.addTab(self.results_tab, "Analysis Results")

    # Comparison tab
    self.comparison_tab = self.create_comparison_tab()
    self.tab_widget.addTab(self.comparison_tab, "Comparison")

    layout.addWidget(self.tab_widget)

```

```

return panel

def create_waveform_tab(self):
    """Create waveform visualization tab"""
    tab = QWidget()
    layout = QVBoxLayout(tab)

    # Create matplotlib figure
    self.waveform_fig, self.waveform_ax = plt.subplots(figsize=(8, 4))
    self.waveform_canvas = FigureCanvas(self.waveform_fig)
    layout.addWidget(self.waveform_canvas)

    return tab

def create_spectrogram_tab(self):
    """Create spectrogram visualization tab"""
    tab = QWidget()
    layout = QVBoxLayout(tab)

    # Create matplotlib figure
    self.spectrogram_fig, self.spectrogram_ax = plt.subplots(figsize=(8, 6))
    self.spectrogram_canvas = FigureCanvas(self.spectrogram_fig)
    layout.addWidget(self.spectrogram_canvas)

    return tab

def create_results_tab(self):
    """Create results display tab"""
    tab = QWidget()
    layout = QVBoxLayout(tab)

    # Results text area
    self.results_text = QTextEdit()
    self.results_text.setFont(QFont("Courier", 10))
    layout.addWidget(self.results_text)

    return tab

def create_comparison_tab(self):
    """Create audio comparison tab"""
    tab = QWidget()
    layout = QVBoxLayout(tab)

    # Create matplotlib figure for comparison
    self.comparison_fig, self.comparison_ax = plt.subplots(2, 2, figsize=(10,
8))

    self.comparison_canvas = FigureCanvas(self.comparison_fig)
    layout.addWidget(self.comparison_canvas)

    return tab

```

```

def create_menu_bar(self):
    """Create menu bar"""
    menubar = self.menuBar()

    # File menu
    file_menu = menubar.addMenu('File')

    open_action = QAction('Open Audio File', self)
    open_action.triggered.connect(self.select_file1)
    file_menu.addAction(open_action)

    exit_action = QAction('Exit', self)
    exit_action.triggered.connect(self.close)
    file_menu.addAction(exit_action)

    # Analysis menu
    analysis_menu = menubar.addMenu('Analysis')

    analyze_action = QAction('Analyze for Deepfake', self)
    analyze_action.triggered.connect(self.analyze_audio)
    analysis_menu.addAction(analyze_action)

    # Export menu
    export_menu = menubar.addMenu('Export')

    pdf_action = QAction('Export PDF Report', self)
    pdf_action.triggered.connect(self.export_pdf)
    export_menu.addAction(pdf_action)

    excel_action = QAction('Export Excel Report', self)
    excel_action.triggered.connect(self.export_excel)
    export_menu.addAction(excel_action)

    # Help menu
    help_menu = menubar.addMenu('Help')

    about_action = QAction('About', self)
    about_action.triggered.connect(self.show_about)
    help_menu.addAction(about_action)

def select_file1(self):
    """Select first audio file"""
    file_path, _ = QFileDialog.getOpenFileName(
        self, "Select Audio File 1",
        "", "Audio Files (*.wav *.mp3 *.flac);;All Files (*)"
    )
    if file_path:
        self.audio_file1 = file_path

```

```

        self.file1_label.setText(f"Audio File 1:
{os.path.basename(file_path)}")
        self.update_buttons()

    def select_file2(self):
        """Select second audio file for comparison"""
        file_path, _ = QFileDialog.getOpenFileName(
            self, "Select Audio File 2",
            "", "Audio Files (*.wav *.mp3 *.flac);;All Files (*)"
        )
        if file_path:
            self.audio_file2 = file_path
            self.file2_label.setText(f"Audio File 2:
{os.path.basename(file_path)}")
            self.update_buttons()

    def update_buttons(self):
        """Update button states based on file selection"""
        has_file1 = self.audio_file1 is not None
        has_file2 = self.audio_file2 is not None

        self.load_audio_btn.setEnabled(has_file1)
        self.show_waveform_btn.setEnabled(has_file1)
        self.show_spectrogram_btn.setEnabled(has_file1)
        self.analyze_btn.setEnabled(has_file1)
        self.compare_btn.setEnabled(has_file1 and has_file2)

    def load_audio(self):
        """Load audio files"""
        try:
            if self.audio_file1:
                self.analyzer1 = AudioAnalyzer(self.audio_file1)
                if not self.analyzer1.load_audio():
                    QMessageBox.warning(self, "Error", "Failed to load audio file
1")

                return

            if self.audio_file2:
                self.analyzer2 = AudioAnalyzer(self.audio_file2)
                if not self.analyzer2.load_audio():
                    QMessageBox.warning(self, "Error", "Failed to load audio file
2")

                return

            self.statusBar().showMessage("Audio files loaded successfully")
            self.update_buttons()

        except Exception as e:
            QMessageBox.critical(self, "Error", f"Error loading audio: {str(e)}")

```

```

def show_waveform(self):
    """Display waveform visualization"""
    if not self.analyzer1:
        QMessageBox.warning(self, "Warning", "Please load audio file first")
        return

    try:
        # Clear previous plot
        self.waveform_ax.clear()

        # Get waveform data
        time, audio_data = self.analyzer1.get_waveform()

        # Plot waveform
        self.waveform_ax.plot(time, audio_data)
        self.waveform_ax.set_title('Audio Waveform')
        self.waveform_ax.set_xlabel('Time (s)')
        self.waveform_ax.set_ylabel('Amplitude')
        self.waveform_ax.grid(True)

        # Update canvas
        self.waveform_canvas.draw()
        self.tab_widget.setCurrentWidget(self.waveform_tab)

    except Exception as e:
        QMessageBox.critical(self, "Error", f"Error displaying waveform:
{str(e)}")

def show_spectrogram(self):
    """Display spectrogram visualization"""
    if not self.analyzer1:
        QMessageBox.warning(self, "Warning", "Please load audio file first")
        return

    try:
        # Clear previous plot
        self.spectrogram_ax.clear()

        # Get spectrogram data
        times, freqs, spectrogram_db = self.analyzer1.get_spectrogram()

        # Plot spectrogram
        librosa.display.specshow(
            spectrogram_db,
            x_coords=times,
            y_coords=freqs,
            sr=self.analyzer1.sample_rate,
            hop_length=512,
            ax=self.spectrogram_ax
        )

```

```

self.spectrogram_ax.set_title('Spectrogram')
self.spectrogram_ax.set_xlabel('Time (s)')
self.spectrogram_ax.set_ylabel('Frequency (Hz)')

# Add colorbar
plt.colorbar(librosa.display.specshow(
    spectrogram_db,
    x_coords=times,
    y_coords=freqs,
    sr=self.analyzer1.sample_rate,
    hop_length=512,
    ax=self.spectrogram_ax
), ax=self.spectrogram_ax, format='%+2.0f dB')

# Update canvas
self.spectrogram_canvas.draw()
self.tab_widget.setCurrentWidget(self.spectrogram_tab)

except Exception as e:
    QMessageBox.critical(self, "Error", f"Error displaying spectrogram:
{str(e)}")

def analyze_audio(self):
    """Start deepfake analysis"""
    if not self.analyzer1:
        QMessageBox.warning(self, "Warning", "Please load audio file first")
        return

    # Start analysis thread
    self.analysis_thread = AudioAnalysisThread(self.audio_file1)
    self.analysis_thread.analysis_progress.connect(self.update_progress)
    self.analysis_thread.analysis_complete.connect(self.analysis_finished)
    self.analysis_thread.error_occurred.connect(self.analysis_error)

    # Disable buttons during analysis
    self.update_analysis_buttons(False)

    # Show progress
    self.progress_bar.setVisible(True)
    self.progress_label.setText("Starting analysis...")

    # Start thread
    self.analysis_thread.start()

def update_progress(self, message):
    """Update progress bar and label"""
    self.progress_label.setText(message)
    self.statusBar().showMessage(message)

def analysis_finished(self, results):

```

```

        """Handle completed analysis"""
        self.results1 = results

        # Update buttons
        self.update_analysis_buttons(True)
        self.export_pdf_btn.setEnabled(True)
        self.export_excel_btn.setEnabled(True)

        # Hide progress
        self.progress_bar.setVisible(False)
        self.progress_label.setText("Analysis complete!")

        # Display results
        self.display_results(results)
        self.tab_widget.setCurrentWidget(self.results_tab)

        # Show completion message
        QMessageBox.information(self, "Analysis Complete",
                                "Audio analysis has been completed successfully!")

    def analysis_error(self, error_msg):
        """Handle analysis errors"""
        self.update_analysis_buttons(True)
        self.progress_bar.setVisible(False)
        self.progress_label.setText("Analysis failed!")

        QMessageBox.critical(self, "Analysis Error", error_msg)

    def update_analysis_buttons(self, enabled):
        """Enable/disable analysis-related buttons"""
        self.load_audio_btn.setEnabled(enabled)
        self.show_waveform_btn.setEnabled(enabled)
        self.show_spectrogram_btn.setEnabled(enabled)
        self.analyze_btn.setEnabled(enabled)
        self.compare_btn.setEnabled(enabled and self.audio_file2 is not None)

    def display_results(self, results):
        """Display analysis results in the results tab"""
        self.results_text.clear()

        # Add results report
        self.results_text.append(results['report'])

    def compare_audio(self):
        """Compare two audio files"""
        if not self.analyzer1 or not self.analyzer2:
            QMessageBox.warning(self, "Warning", "Please load both audio files
first")
            return

```

```

try:
    # Clear previous comparison plot
    for ax in self.comparison_ax.flat:
        ax.clear()

    # Get data for both files
    time1, audio1 = self.analyzer1.get_waveform()
    time2, audio2 = self.analyzer2.get_waveform()

    # Plot waveforms
    self.comparison_ax[0, 0].plot(time1, audio1)
    self.comparison_ax[0, 0].set_title('Waveform - File 1')
    self.comparison_ax[0, 0].set_xlabel('Time (s)')
    self.comparison_ax[0, 0].grid(True)

    self.comparison_ax[0, 1].plot(time2, audio2)
    self.comparison_ax[0, 1].set_title('Waveform - File 2')
    self.comparison_ax[0, 1].set_xlabel('Time (s)')
    self.comparison_ax[0, 1].grid(True)

    # Plot spectrograms if available
    if hasattr(self.analyzer1, 'get_spectrogram'):
        times1, freqs1, spec1 = self.analyzer1.get_spectrogram()
        librosa.display.specshow(spec1, x_coords=times1, y_coords=freqs1,
                                sr=self.analyzer1.sample_rate,
ax=self.comparison_ax[1, 0])
        self.comparison_ax[1, 0].set_title('Spectrogram - File 1')

        times2, freqs2, spec2 = self.analyzer2.get_spectrogram()
        librosa.display.specshow(spec2, x_coords=times2, y_coords=freqs2,
                                sr=self.analyzer2.sample_rate,
ax=self.comparison_ax[1, 1])
        self.comparison_ax[1, 1].set_title('Spectrogram - File 2')

    # Update canvas
    self.comparison_canvas.draw()
    self.tab_widget.setCurrentWidget(self.comparison_tab)

except Exception as e:
    QMessageBox.critical(self, "Error", f"Error comparing audio files:
{str(e)}")

def export_pdf(self):
    """Export results to PDF"""
    if not self.results1:
        QMessageBox.warning(self, "Warning", "No analysis results to export")
        return

    file_path, _ = QFileDialog.getSaveFileName(
        self, "Save PDF Report",

```

```

        f"deepfake_analysis_{os.path.basename(self.audio_file1).replace('.',
        '_')}.pdf",
        "PDF Files (*.pdf)"
    )

    if file_path:
        success = self.report_generator.generate_pdf_report(self.results1,
file_path)
        if success:
            QMessageBox.information(self, "Export Complete",
                f"PDF report saved to:\n{file_path}")
        else:
            QMessageBox.critical(self, "Export Error", "Failed to export PDF
report")

    def export_excel(self):
        """Export results to Excel"""
        if not self.results1:
            QMessageBox.warning(self, "Warning", "No analysis results to export")
            return

        file_path, _ = QFileDialog.getSaveFileName(
            self, "Save Excel Report",
            f"deepfake_analysis_{os.path.basename(self.audio_file1).replace('.',
            '_')}.xlsx",
            "Excel Files (*.xlsx)"
        )

        if file_path:
            success = self.report_generator.generate_excel_report(self.results1,
file_path)
            if success:
                QMessageBox.information(self, "Export Complete",
                    f"Excel report saved to:\n{file_path}")
            else:
                QMessageBox.critical(self, "Export Error", "Failed to export
Excel report")

    def clear_all(self):
        """Clear all data and reset interface"""
        self.audio_file1 = None
        self.audio_file2 = None
        self.analyzer1 = None
        self.analyzer2 = None
        self.results1 = None
        self.results2 = None

        # Update labels
        self.file1_label.setText("Audio File 1: Not selected")
        self.file2_label.setText("Audio File 2: Not selected (Optional)")

```

```

# Clear plots
if self.waveform_ax:
    self.waveform_ax.clear()
    self.waveform_canvas.draw()

if self.spectrogram_ax:
    self.spectrogram_ax.clear()
    self.spectrogram_canvas.draw()

if self.comparison_ax:
    for ax in self.comparison_ax.flat:
        ax.clear()
    self.comparison_canvas.draw()

# Clear results
self.results_text.clear()

# Update buttons
self.update_buttons()
self.export_pdf_btn.setEnabled(False)
self.export_excel_btn.setEnabled(False)

# Update status
self.statusBar().showMessage('Ready')

def show_about(self):
    """Show about dialog"""
    QMessageBox.about(self, "About Deepfake Audio Detector",
        "Deepfake Audio Detector v1.0\n\n"
        "A comprehensive tool for detecting deepfake audio using
spectral analysis, "
        "MFCC coefficients, and machine learning
techniques.\n\n"
        "Features:\n"
        "- Spectral analysis (PSD, centroid, rolloff)\n"
        "- MFCC coefficient extraction\n"
        "- Anomaly detection using PCA and Isolation Forest\n"
        "- Audio comparison\n"
        "- Export to PDF and Excel\n\n"
        "Built with PyQt5, librosa, and scikit-learn")

if __name__ == '__main__':
    app = QApplication(sys.argv)
    app.setStyle('Fusion')

    window = DeepfakeAudioDetector()
    window.show()

    sys.exit(app.exec_())

```

```

import numpy as np
import librosa
import librosa.display
from scipy import signal
from scipy.stats import entropy
from sklearn.decomposition import PCA
from sklearn.ensemble import IsolationForest
from sklearn.preprocessing import StandardScaler
import warnings
warnings.filterwarnings('ignore')

class AudioAnalyzer:
    def __init__(self, file_path=None, sample_rate=22050):
        self.file_path = file_path
        self.sample_rate = sample_rate
        self.audio_data = None
        self.duration = None
        self.features = {}
        self.is_deepfake = None
        self.confidence = None

        if file_path:
            self.load_audio()

    def load_audio(self):
        """Load audio file and extract basic information"""
        try:
            self.audio_data, self.sample_rate = librosa.load(self.file_path,
                                                             sr=self.sample_rate)
            self.duration = len(self.audio_data) / self.sample_rate
            print(f"Loaded audio: {self.duration:.2f} seconds, {self.sample_rate}
Hz")
        except Exception as e:
            print(f"Error loading audio: {e}")
            return False
        return True

    def get_waveform(self):
        """Get time-domain waveform data"""
        if self.audio_data is None:
            return None

        time = np.linspace(0, self.duration, len(self.audio_data))
        return time, self.audio_data

    def get_spectrogram(self, n_fft=2048, hop_length=512, window='hann'):
        """Compute STFT spectrogram"""
        if self.audio_data is None:
            return None

```

```

        # Compute STFT
        stft = librosa.stft(self.audio_data, n_fft=n_fft, hop_length=hop_length,
window=window)

        # Convert to magnitude spectrogram
        spectrogram = np.abs(stft)

        # Convert to dB scale
        spectrogram_db = librosa.amplitude_to_db(spectrogram, ref=np.max)

        # Time and frequency arrays
        times = librosa.times_like(spectrogram, sr=self.sample_rate,
hop_length=hop_length)
        freqs = librosa.fft_frequencies(sr=self.sample_rate, n_fft=n_fft)

        return times, freqs, spectrogram_db

def compute_spectral_features(self, frame_length=2048, hop_length=512):
    """Compute spectral features: PSD, spectral centroid, rolloff"""
    if self.audio_data is None:
        return None

    # Power Spectral Density
    freqs, psd = signal.periodogram(self.audio_data, fs=self.sample_rate)

    # Spectral Centroid
    spectral_centroid = librosa.feature.spectral_centroid(
        y=self.audio_data, sr=self.sample_rate,
        n_fft=frame_length, hop_length=hop_length
    )

    # Spectral Rolloff
    spectral_rolloff = librosa.feature.spectral_rolloff(
        y=self.audio_data, sr=self.sample_rate,
        n_fft=frame_length, hop_length=hop_length, roll_percent=0.85
    )

    # Harmonic components
    harmonic, percussive = librosa.effects.hpss(self.audio_data)

    features = {
        'psd_freqs': freqs,
        'psd': psd,
        'spectral_centroid': spectral_centroid.mean(),
        'spectral_rolloff': spectral_rolloff.mean(),
        'harmonic': harmonic,
        'percussive': percussive
    }

```

```

self.features.update(features)
return features

def compute_mfcc(self, n_mfcc=13, n_fft=2048, hop_length=512):
    """Compute MFCC coefficients"""
    if self.audio_data is None:
        return None

    mfcc = librosa.feature.mfcc(
        y=self.audio_data, sr=self.sample_rate,
        n_mfcc=n_mfcc, n_fft=n_fft, hop_length=hop_length
    )

    # Compute MFCC statistics
    mfcc_mean = np.mean(mfcc, axis=1)
    mfcc_std = np.std(mfcc, axis=1)
    mfcc_delta = librosa.feature.delta(mfcc)
    mfcc_delta2 = librosa.feature.delta(mfcc, order=2)

    features = {
        'mfcc': mfcc,
        'mfcc_mean': mfcc_mean,
        'mfcc_std': mfcc_std,
        'mfcc_delta': mfcc_delta,
        'mfcc_delta2': mfcc_delta2
    }

    self.features.update(features)
    return features

def compute_statistical_features(self, frame_length=2048, hop_length=512):
    """Compute statistical features: ZCR, spectral flux, entropy"""
    if self.audio_data is None:
        return None

    # Zero Crossing Rate
    zcr = librosa.feature.zero_crossing_rate(
        self.audio_data, frame_length=frame_length, hop_length=hop_length
    )

    # Spectral Flux
    stft = librosa.stft(self.audio_data, n_fft=frame_length,
hop_length=hop_length)
    magnitude = np.abs(stft)
    spectral_flux = np.diff(magnitude, axis=1)
    spectral_flux = np.mean(np.sqrt(spectral_flux**2), axis=0)

    # Spectral Entropy
    spectral_entropy = []
    for frame in magnitude.T:

```

```

        frame_sum = np.sum(frame)
        if frame_sum > 0:
            normalized_frame = frame / frame_sum
            frame_entropy = entropy(normalized_frame)
        else:
            frame_entropy = 0
        spectral_entropy.append(frame_entropy)

    features = {
        'zcr': zcr.mean(),
        'spectral_flux': spectral_flux.mean(),
        'spectral_entropy': np.mean(spectral_entropy)
    }

    self.features.update(features)
    return features

def detect_anomalies(self, n_components=10):
    """Detect anomalies using PCA and Isolation Forest"""
    if not self.features:
        print("No features computed. Run spectral and statistical analysis
first.")
        return None

    # Prepare feature matrix
    feature_names = ['spectral_centroid', 'spectral_rolloff', 'zcr',
                    'spectral_flux', 'spectral_entropy']
    feature_names.extend([f'mfcc_mean_{i}' for i in range(13)])
    feature_names.extend([f'mfcc_std_{i}' for i in range(13)])

    # Extract numerical features
    feature_values = []
    for name in feature_names:
        if name in self.features:
            if name.startswith('mfcc_mean_') or name.startswith('mfcc_std_'):
                idx = int(name.split('_')[-1])
                feature_values.append(self.features['mfcc_mean'][idx])
            elif name.startswith('mfcc_std_'):
                idx = int(name.split('_')[-1])
                feature_values.append(self.features['mfcc_std'][idx])
            else:
                feature_values.append(self.features[name])

    # Normalize features
    scaler = StandardScaler()
    features_scaled =
scaler.fit_transform(np.array(feature_values).reshape(1, -1))

    # PCA for dimensionality reduction
    pca = PCA(n_components=min(n_components, len(feature_values)))

```

```

features_pca = pca.fit_transform(features_scaled)

# Isolation Forest for anomaly detection
iso_forest = IsolationForest(contamination=0.1, random_state=42)
anomaly_score = iso_forest.fit_predict(features_pca.reshape(1, -1))

# Calculate confidence (lower anomaly score = more likely deepfake)
confidence = abs(anomaly_score[0]) / 1.0 # Normalize to 0-1 range

# Determine if it's likely a deepfake
is_deepfake = confidence > 0.5

self.is_deepfake = is_deepfake
self.confidence = confidence

return {
    'is_deepfake': is_deepfake,
    'confidence': confidence,
    'anomaly_score': anomaly_score[0],
    'explained_variance': pca.explained_variance_ratio_.sum()
}

def analyze_audio(self):
    """Perform complete audio analysis"""
    print("Starting audio analysis...")

    # Compute all features
    self.compute_spectral_features()
    self.compute_mfcc()
    self.compute_statistical_features()

    # Detect anomalies
    results = self.detect_anomalies()

    print("Audio analysis completed.")
    return results

def get_analysis_report(self):
    """Generate analysis report"""
    if not self.features:
        return "No analysis performed yet."

    report = []
    report.append("=" * 50)
    report.append("DEEPFAKE AUDIO DETECTION REPORT")
    report.append("=" * 50)
    report.append(f"Audio file: {self.file_path}")
    report.append(f"Duration: {self.duration:.2f} seconds")
    report.append(f"Sample rate: {self.sample_rate} Hz")
    report.append("")

```

```

        if self.is_deepfake is not None:
            report.append("DEEPPFAKE DETECTION RESULTS:")
            report.append(f"Is deepfake: {'YES' if self.is_deepfake else 'NO'}")
            report.append(f"Confidence: {self.confidence:.2f}")
            report.append("")

            report.append("SPECTRAL FEATURES:")
            report.append(f"Spectral Centroid:
{self.features.get('spectral_centroid', 'N/A'):.2f} Hz")
            report.append(f"Spectral Rolloff: {self.features.get('spectral_rolloff',
'N/A'):.2f} Hz")
            report.append(f"Zero Crossing Rate: {self.features.get('zcr',
'N/A'):.4f}")
            report.append(f"Spectral Flux: {self.features.get('spectral_flux',
'N/A'):.4f}")
            report.append(f"Spectral Entropy: {self.features.get('spectral_entropy',
'N/A'):.4f}")
            report.append("")

            report.append("MFCC COEFFICIENTS (first 5):")
            if 'mfcc_mean' in self.features:
                for i in range(min(5, len(self.features['mfcc_mean']))):
                    report.append(f"MFCC_{i+1}: {self.features['mfcc_mean'][i]:.4f}")

            report.append("=" * 50)

            return "\n".join(report)

import pandas as pd
import matplotlib.pyplot as plt
from reportlab.lib.pagesizes import letter, A4
from reportlab.platypus import SimpleDocTemplate, Paragraph, Spacer, Table,
TableStyle, Image
from reportlab.lib.styles import getSampleStyleSheet, ParagraphStyle
from reportlab.lib.units import inch
from reportlab.lib import colors
import os
from datetime import datetime
import numpy as np

class ReportGenerator:
    def __init__(self):
        self.styles = getSampleStyleSheet()

    def generate_pdf_report(self, results, output_path):
        """Generate PDF report with analysis results"""
        try:
            doc = SimpleDocTemplate(output_path, pagesize=A4)
            story = []

```

```

# Title
title_style = ParagraphStyle(
    'CustomTitle',
    parent=self.styles['Title'],
    fontSize=24,
    spaceAfter=30,
    textColor=colors.darkblue
)
story.append(Paragraph("Deepfake Audio Detection Report",
title_style))
story.append(Spacer(1, 12))

# Date and file info
story.append(Paragraph(f"Generated on: {datetime.now().strftime('%Y-
%m-%d %H:%M:%S')}", self.styles['Normal']))
story.append(Paragraph(f"Audio file:
{results['analyzer'].file_path}", self.styles['Normal']))
story.append(Paragraph(f"Duration: {results['analyzer'].duration:.2f}
seconds", self.styles['Normal']))
story.append(Spacer(1, 20))

# Detection Results
story.append(Paragraph("DETECTION RESULTS", self.styles['Heading2']))
detection_data = [
    ['Is Deepfake', 'YES' if results['results']['is_deepfake'] else
'NO'],
    ['Confidence', f"{results['results']['confidence']:.2f}"],
    ['Anomaly Score', f"{results['results']['anomaly_score']:.3f}"],
    ['Explained Variance',
f"{results['results']['explained_variance']:.2f}"]
]

detection_table = Table(detection_data)
detection_table.setStyle(TableStyle([
    ('BACKGROUND', (0, 0), (-1, 0), colors.grey),
    ('TEXTCOLOR', (0, 0), (-1, 0), colors.whitesmoke),
    ('ALIGN', (0, 0), (-1, -1), 'CENTER'),
    ('FONTNAME', (0, 0), (-1, 0), 'Helvetica-Bold'),
    ('FONTSIZE', (0, 0), (-1, 0), 14),
    ('BOTTOMPADDING', (0, 0), (-1, 0), 12),
    ('BACKGROUND', (0, 1), (-1, -1), colors.beige),
    ('GRID', (0, 0), (-1, -1), 1, colors.black)
]))
story.append(detection_table)
story.append(Spacer(1, 20))

# Spectral Features
story.append(Paragraph("SPECTRAL FEATURES", self.styles['Heading2']))
spectral_data = [

```

```

        ['Feature', 'Value'],
        ['Spectral Centroid',
f"{results['features']['spectral_centroid']:.2f} Hz"],
        ['Spectral Rolloff',
f"{results['features']['spectral_rolloff']:.2f} Hz"],
        ['Zero Crossing Rate', f"{results['features']['zcr']:.4f}"],
        ['Spectral Flux', f"{results['features']['spectral_flux']:.4f}"],
        ['Spectral Entropy',
f"{results['features']['spectral_entropy']:.4f}"]
    ]

    spectral_table = Table(spectral_data)
    spectral_table.setStyle(TableStyle([
        ('BACKGROUND', (0, 0), (-1, 0), colors.grey),
        ('TEXTCOLOR', (0, 0), (-1, 0), colors.whitesmoke),
        ('ALIGN', (0, 0), (-1, -1), 'CENTER'),
        ('FONTNAME', (0, 0), (-1, 0), 'Helvetica-Bold'),
        ('FONTSIZE', (0, 0), (-1, 0), 12),
        ('BOTTOMPADDING', (0, 0), (-1, 0), 8),
        ('BACKGROUND', (0, 1), (-1, -1), colors.lightgrey),
        ('GRID', (0, 0), (-1, -1), 1, colors.black)
    ]))
    story.append(spectral_table)
    story.append(Spacer(1, 20))

    # MFCC Features (first 5 coefficients)
    story.append(Paragraph("MFCC COEFFICIENTS (Mean Values)",
self.styles['Heading2']))
    mfcc_data = [['MFCC_' + str(i+1),
f"{results['features']['mfcc_mean'][i]:.4f}"]
        for i in range(min(5,
len(results['features']['mfcc_mean'])))]
    mfcc_data.insert(0, ['Coefficient', 'Value'])

    mfcc_table = Table(mfcc_data)
    mfcc_table.setStyle(TableStyle([
        ('BACKGROUND', (0, 0), (-1, 0), colors.grey),
        ('TEXTCOLOR', (0, 0), (-1, 0), colors.whitesmoke),
        ('ALIGN', (0, 0), (-1, -1), 'CENTER'),
        ('FONTNAME', (0, 0), (-1, 0), 'Helvetica-Bold'),
        ('FONTSIZE', (0, 0), (-1, 0), 12),
        ('BOTTOMPADDING', (0, 0), (-1, 0), 8),
        ('BACKGROUND', (0, 1), (-1, -1), colors.lightblue),
        ('GRID', (0, 0), (-1, -1), 1, colors.black)
    ]))
    story.append(mfcc_table)
    story.append(Spacer(1, 20))

    # Interpretation
    story.append(Paragraph("INTERPRETATION", self.styles['Heading2']))

```

```

        if results['results']['is_deepfake']:
            interpretation = "The audio shows characteristics that may
            indicate it is a deepfake. " \
                f"The confidence level is
{results['results']['confidence']:.2f}. " \
                "This could be due to artificial generation
            patterns in the spectral characteristics."
            else:
                interpretation = "The audio appears to be authentic based on the
            analysis. " \
                f"The confidence level is
{results['results']['confidence']:.2f}. " \
                "The spectral characteristics show natural
            patterns."

        story.append(Paragraph(interpretation, self.styles['Normal']))
        story.append(Spacer(1, 20))

        # Save waveform plot
        if results['waveform']:
            plt.figure(figsize=(10, 4))
            plt.subplot(2, 1, 1)
            plt.plot(results['waveform'][0], results['waveform'][1])
            plt.title('Audio Waveform')
            plt.xlabel('Time (s)')
            plt.ylabel('Amplitude')
            plt.grid(True)

            # Save plot
            plot_path = output_path.replace('.pdf', '_waveform.png')
            plt.savefig(plot_path, dpi=150, bbox_inches='tight')
            plt.close()

            # Add to PDF
            story.append(Paragraph("WAVEFORM VISUALIZATION",
            self.styles['Heading2']))
            story.append(Image(plot_path, width=6*inch, height=2.4*inch))
            story.append(Spacer(1, 20))

        # Save spectrogram plot
        if results['spectrogram']:
            plt.figure(figsize=(10, 6))
            librosa.display.specshow(
                results['spectrogram'][2],
                x_coords=results['spectrogram'][0],
                y_coords=results['spectrogram'][1],
                sr=results['analyzer'].sample_rate,
                hop_length=512
            )
            plt.colorbar(format='%+2.0f dB')

```

```

plt.title('Spectrogram')
plt.xlabel('Time (s)')
plt.ylabel('Frequency (Hz)')

# Save plot
plot_path = output_path.replace('.pdf', '_spectrogram.png')
plt.savefig(plot_path, dpi=150, bbox_inches='tight')
plt.close()

# Add to PDF
story.append(Paragraph("SPECTROGRAM VISUALIZATION",
self.styles['Heading2']))
story.append(Image(plot_path, width=6*inch, height=3.6*inch))
story.append(Spacer(1, 20))

# Build PDF
doc.build(story)
print(f"PDF report saved to: {output_path}")
return True

except Exception as e:
    print(f"Error generating PDF report: {e}")
    return False

def generate_excel_report(self, results, output_path):
    """Generate Excel report with analysis results"""
    try:
        # Create data dictionary
        data = {
            'Metric': [
                'Audio File',
                'Duration (s)',
                'Sample Rate (Hz)',
                'Is Deepfake',
                'Confidence',
                'Anomaly Score',
                'Explained Variance',
                'Spectral Centroid (Hz)',
                'Spectral Rolloff (Hz)',
                'Zero Crossing Rate',
                'Spectral Flux',
                'Spectral Entropy'
            ],
            'Value': [
                results['analyzer'].file_path,
                f"{results['analyzer'].duration:.2f}",
                str(results['analyzer'].sample_rate),
                'YES' if results['results']['is_deepfake'] else 'NO',
                f"{results['results']['confidence']:.4f}",
                f"{results['results']['anomaly_score']:.4f}",
            ]
        }

```

```

        f"{results['results']['explained_variance']:.4f}",
        f"{results['features']['spectral_centroid']:.2f}",
        f"{results['features']['spectral_rolloff']:.2f}",
        f"{results['features']['zcr']:.4f}",
        f"{results['features']['spectral_flux']:.4f}",
        f"{results['features']['spectral_entropy']:.4f}"
    ]
}

# Add MFCC coefficients
for i in range(min(13, len(results['features']['mfcc_mean']))):
    data['Metric'].append(f'MFCC_{i+1}_Mean')
    data['Value'].append(f"{results['features']['mfcc_mean'][i]:.4f}")
)

# Create DataFrame
df = pd.DataFrame(data)

# Write to Excel with formatting
with pd.ExcelWriter(output_path, engine='openpyxl') as writer:
    df.to_excel(writer, sheet_name='Analysis_Results', index=False)

# Get workbook and worksheet
workbook = writer.book
worksheet = writer.sheets['Analysis_Results']

# Format header
header_font = workbook._fonts[0] if workbook._fonts else None
for col_num, column_title in enumerate(df.columns, 1):
    cell = worksheet.cell(row=1, column=col_num)
    cell.font = header_font
    cell.font = workbook._fonts[0] if workbook._fonts else None

# Auto-adjust column width
for column in worksheet.columns:
    max_length = 0
    column_letter = column[0].column_letter
    for cell in column:
        try:
            if len(str(cell.value)) > max_length:
                max_length = len(str(cell.value))
        except:
            pass
    adjusted_width = min(max_length + 2, 50)
    worksheet.column_dimensions[column_letter].width =
adjusted_width

print(f"Excel report saved to: {output_path}")
return True

```

```

except Exception as e:
    print(f"Error generating Excel report: {e}")
    return False

import sys
from PyQt5.QtCore import QThread, pyqtSignal
from audio_analyzer import AudioAnalyzer

class AudioAnalysisThread(QThread):
    """Thread for asynchronous audio analysis to prevent GUI freezing"""

    # Signals for communication with main thread
    analysis_progress = pyqtSignal(str) # Progress messages
    analysis_complete = pyqtSignal(dict) # Final results
    error_occurred = pyqtSignal(str) # Error messages

    def __init__(self, file_path, sample_rate=22050):
        super().__init__()
        self.file_path = file_path
        self.sample_rate = sample_rate
        self.analyzer = None

    def run(self):
        """Run the audio analysis in a separate thread"""
        try:
            # Initialize analyzer
            self.analysis_progress.emit("Initializing audio analyzer...")
            self.analyzer = AudioAnalyzer(self.file_path, self.sample_rate)

            # Load audio
            self.analysis_progress.emit("Loading audio file...")
            if not self.analyzer.load_audio():
                self.error_occurred.emit("Failed to load audio file")
                return

            # Compute spectral features
            self.analysis_progress.emit("Computing spectral features...")
            self.analyzer.compute_spectral_features()

            # Compute MFCC
            self.analysis_progress.emit("Computing MFCC coefficients...")
            self.analyzer.compute_mfcc()

            # Compute statistical features
            self.analysis_progress.emit("Computing statistical features...")
            self.analyzer.compute_statistical_features()

            # Detect anomalies
            self.analysis_progress.emit("Running anomaly detection...")
            results = self.analyzer.detect_anomalies()

```

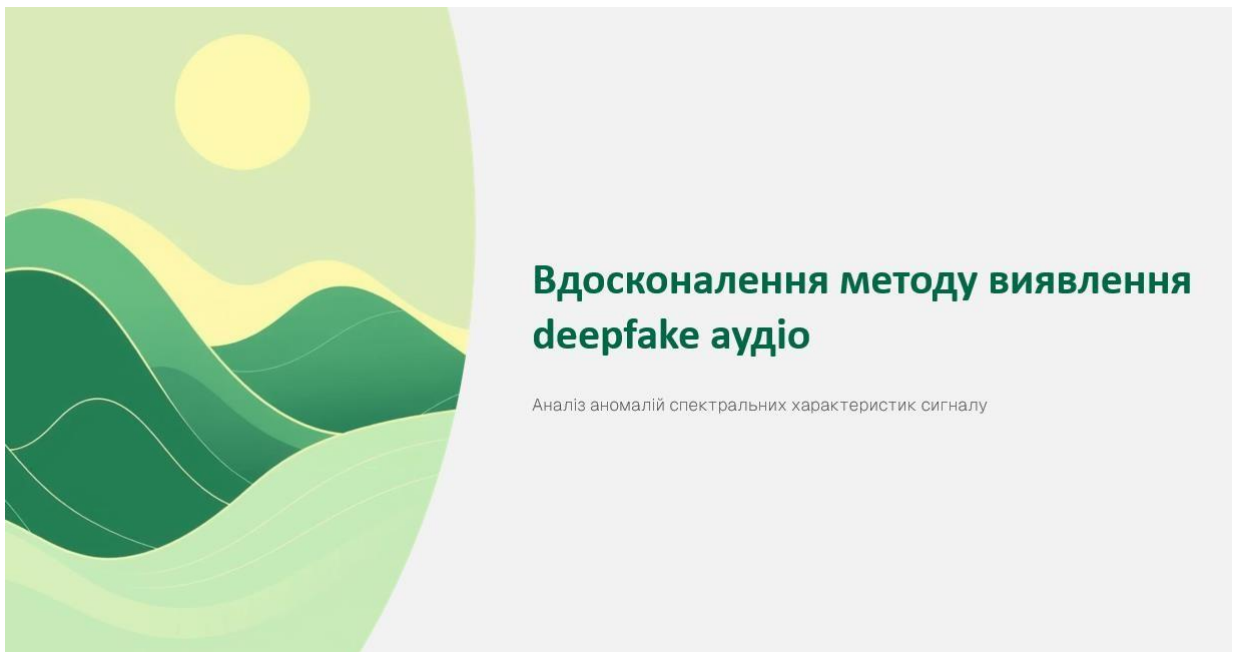
```
# Prepare complete results
complete_results = {
    'analyzer': self.analyzer,
    'results': results,
    'features': self.analyzer.features,
    'waveform': self.analyzer.get_waveform(),
    'spectrogram': self.analyzer.get_spectrogram(),
    'report': self.analyzer.get_analysis_report()
}

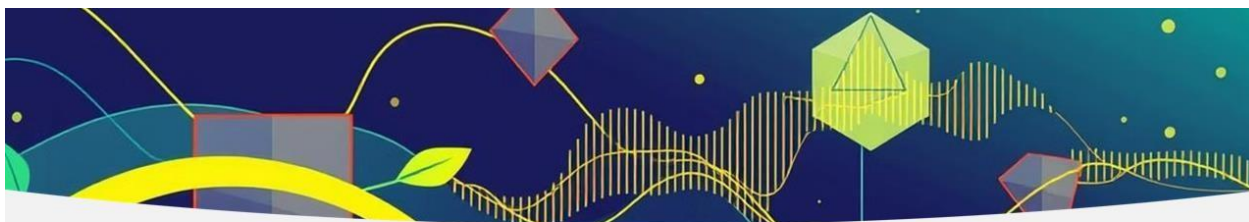
self.analysis_progress.emit("Analysis complete!")
self.analysis_complete.emit(complete_results)

except Exception as e:
    error_msg = f"Analysis error: {str(e)}"
    self.error_occurred.emit(error_msg)
    print(f"Thread error: {e}")

def stop(self):
    """Stop the analysis thread"""
    self.terminate()
    self.wait()
```

## ДОДАТОК В. Ілюстративний матеріал





## Що таке аудіо deepfake?

Аудіо deepfake – це штучно синтезовані або змінені голосові записи, що імітують реальних людей з високим ступенем переконливості. Ця технологія активно використовує передові методи штучного інтелекту, такі як:

- Голосове клонування**  
 Створення ідентичних копій голосів на основі коротких зразків.
- Текст-в-мову (Text-to-Speech, TTS)**  
 Генерація мови з текстового вводу, що звучить як голос конкретної особи.
- Голосова конверсія (Voice Conversion, VC)**  
 Перетворення голосу однієї людини на голос іншої, зберігаючи інтонації та емоції.

Ці технології несуть серйозні загрози, включаючи шахрайство, поширення дезінформації та порушення національної безпеки, підриваючи довіру до аудіоконтенту.

## Величезна небезпека deepfake аудіо

Deepfake аудіо створює реальні та значні загрози в сучасному світі, що підтверджується численними інцидентами:

### Шахрайство та фінансові збитки

У 2019 році шахраї використали AI-імітацію голосу генерального директора енергетичної компанії, щоб віддати наказ про переказ €220 000. Цей інцидент став одним з перших гучних випадків, що продемонстрував фінансовий потенціал зловживань.

### Маніпуляція та дезінформація

У 2023 році спостерігалися випадки використання AI-імітації голосів політиків для створення фейкових заяв з метою маніпулювання громадською думкою та впливу на вибори. Це підриває основи демократичних процесів та довіру до інформаційних джерел.

### Масштаби проблеми

Згідно з дослідженням McAfee 2023 року, кожен десятий мешканець планети вже став жертвою голосового deepfake-шахрайства, що підкреслює глобальний характер цієї загрози та необхідність ефективних рішень для її протидії.

## Чому виявлення deepfake аудіо складне?

Виявлення deepfake аудіо є надзвичайно складним завданням з кількох причин, що робить його одним з найактуальніших викликів для кібербезпеки та медіаграмотності:

- **Природність для слухача:** Людське вухо часто не здатне розпізнати штучно згенерований голос, особливо якщо він був створений високоякісними моделями. Межа між реальним і фальшивим стає все менш помітною.
- **Постійне вдосконалення:** Технології deepfake розвиваються стрімкими темпами. Нові алгоритми та моделі постійно вдосконалюються, що дозволяє створювати все більш реалістичні та важко виявляються підробки.
- **Різноманітність методів синтезу:** Існує безліч методів створення deepfake аудіо, таких як Text-to-Speech (TTS), Voice Conversion (VC), Generative Adversarial Networks (GAN) та Convolutional Neural Networks (CNN), кожен з яких залишає різні сліди в сигналі.
- **Неоднорідність аудіо:** Реальне аудіо містить багато варіацій: фоновий шум, різна якість запису, акценти, емоції, мовні особливості. Це створює складнощі для виявлення аномалій, оскільки вони можуть бути приховані серед природних відмінностей.

## Аналіз спектральних аномалій — ключ до виявлення

Виявлення найменших неприродних відхилень у частотних характеристиках сигналу є одним з найперспективніших підходів у боротьбі з deepfake аудіо. Цей метод ґрунтується на аналізі **спектрограм аудіо** — візуальних представлень розподілу енергії звуку за частотами та часом.

### Візуалізація частотних характеристик

Спектрограма дозволяє побачити, як змінюються частоти та амплітуда звуку з часом, виявляючи навіть мікроскопічні аномалії, які неможливо почути.

### Виявлення неприродних змін

Ми шукаємо аномалії у змінах частот, амплітуди, темпу та тривалості звукових подій, що можуть свідчити про штучну генерацію.

### Приклади аномалій

Серед типових ознак deepfake можуть бути раптові скачки в частотах, цифрові артефакти, неприродні паузи або повторення звукових патернів.

### Використання спеціальних ознак

Для глибшого аналізу ми використовуємо такі спектральні ознаки, як Mel-частотні кепстральні коефіцієнти (MFCC), Mel-спектрограми, частота перетинів нуля (Zero-Crossing Rate) та хроматичні ознаки (Chroma).

## Новітній метод RAIS (Rehearsal with Auxiliary-Informed Sampling)

У 2025 році дослідники з CSIRO, Австралія, представили інноваційний метод RAIS (Rehearsal with Auxiliary-Informed Sampling), який демонструє проривні результати у виявленні deepfake аудіо.

**RAIS** — це підхід до навчання моделей, який вирішує проблему "катастрофічного забування" (catastrophic forgetting), що є поширеною перешкодою при навчанні систем на потокових даних. Основні переваги RAIS:

- **Збереження різноманітних зразків:** Метод ефективно зберігає невеликий буфер різноманітних deepfake зразків, що дозволяє моделі постійно адаптуватися до нових типів підробок, не "забуваючи" про старі.
- **Використання додаткових "підказок":** RAIS інтегрує додаткові допоміжні мітки (auxiliary labels) під час навчання. Ці мітки надають моделі цінну контекстну інформацію про природу deepfake, що значно покращує її здатність до адаптації та класифікації.
- **Рекордна точність:** Завдяки цим інноваціям, RAIS досягає вражаючої середньої помилки виявлення лише 1.95%, що є найкращим показником серед існуючих методів на сьогодні.



☐ Цей метод значно підвищує надійність систем виявлення deepfake, дозволяючи їм ефективно протистояти постійно еволюціонуючим технологіям синтезу.

## Архітектури моделей для виявлення deepfake аудіо

Для ефективного виявлення deepfake аудіо використовуються складні нейромережеві архітектури, які можуть аналізувати як локальні, так і довготривалі патерни в аудіосигналах.

### Гібридна CNN-BiLSTM з механізмом уваги

Ця архітектура поєднує можливості згорткових нейронних мереж (CNN) для вилучення локальних спектральних ознак з двонаправленими довгостроковими короткочасними пам'яттю (BiLSTM) для аналізу часових залежностей. Механізм уваги (attention mechanism) дозволяє моделі зосереджуватися на найбільш інформативних ділянках аудіо.



### Ансамблеві методи

Для досягнення максимальної точності часто використовуються ансамблеві підходи, що об'єднують декілька різних моделей, таких як Xception, Random Forest та CNN-BiLSTM. Таке поєднання дозволяє компенсувати слабкі сторони одних моделей сильними сторонами інших, значно підвищуючи загальну надійність виявлення.

### Explainable AI (XAI)

Важливим аспектом є використання методів Explainable AI, таких як Grad-CAM та SHAP. Вони дозволяють зрозуміти, які саме ділянки спектрограми або які ознаки сигналу були вирішальними для рішення моделі. Це підвищує прозорість, довіру до системи та допомагає вдосконалювати алгоритми виявлення.

## Практичні кейси застосування

Технології виявлення deepfake аудіо знаходять широке застосування в різних галузях, підвищуючи безпеку та довіру до інформації:



### Веб-додатки для миттєвого аналізу

Розробка зручних онлайн-інструментів на базі Flask та Python, які дозволяють користувачам швидко завантажувати аудіофайли та отримувати результати аналізу на предмет наявності deepfake ознак.



### Захист голосових біометричних систем

Інтеграція методів виявлення deepfake для захисту систем голосової аутентифікації від спуфінгу (видачі себе за іншу особу) за допомогою синтезованих голосів.



### Верифікація автентичності в розслідуваннях

Використання у судових та медіа розслідуваннях для перевірки справжності аудіозаписів, що можуть слугувати доказами або джерелами інформації.



### Підвищення довіри до інформації

Забезпечення надійності аудіоконтенту в медіа та комунікаціях, що є критично важливим в епоху масового поширення фейкових новин та дезінформації.

## Виклики та перспективи розвитку

Незважаючи на значні досягнення, сфера виявлення deepfake аудіо продовжує стикатися з низкою викликів, які визначають напрямки подальших досліджень та розробок:

### Еволюція Deepfake технологій

Постійне вдосконалення методів генерації deepfake вимагає безперервної адаптації та розробки нових, більш стійких і гнучких методів виявлення, здатних протистояти майбутнім загрозам.

### Необхідність великих датасетів

Для навчання потужних моделей потрібні великі, різноманітні та добре розмічені датасети, що охоплюють широкий спектр deepfake методів, мов та акустичних умов.

1

2

3

4

### Баланс між точністю та швидкістю

Критично важливо знайти оптимальний баланс між високою точністю виявлення та швидкістю обробки аудіосигналів, особливо для систем реального часу.

### Розробка стандартів і регуляцій

Для ефективної боротьби з аудіо deepfake необхідні міжнародні стандарти, етичні норми та правові регуляції, що визначатимуть відповідальність за створення та поширення маніпульованого контенту.

## Висновок: майбутнє захисту від аудіо deepfake

Захист від deepfake аудіо є ключовим для підтримки довіри в цифровому світі. Наші висновки та перспективи підкреслюють наступне:



### Ефективність спектрального аналізу

Аналіз спектральних аномалій залишається одним з найбільш ефективних інструментів для виявлення штучних втручань в аудіосигнал.



### Інновації відкривають горизонти

Інноваційні підходи, такі як метод RAIS, демонструють, що постійні дослідження можуть забезпечити прориви в галузі безпеки аудіо та надати надійний захист.



### Спільна робота — ключ до протидії

Лише спільні зусилля науковців, промисловості та державних органів можуть ефективно протистояти постійно зростаючим загрозам від deepfake.



### Захист голосу — захист довіри

В кінцевому підсумку, захист автентичності голосу – це захист довіри, яка є фундаментальним елементом будь-якої комунікації та взаємодії в сучасному цифровому суспільстві.



## ДОДАТОК Г. Протокол перевірки на антиплагіат

**ПРОТОКОЛ ПЕРЕВІРКИ КВАЛІФІКАЦІЙНОЇ РОБОТИ**

Назва роботи: Вдосконалення методу виявлення deepfake аудіо на основі аналізу аномалій спектральних характеристик сигналу

Тип роботи: магістерська кваліфікаційна робота

Підрозділ: кафедра менеджменту та безпеки інформаційних систем  
факультет менеджменту та інформаційної безпеки  
гр.2КІТС-24м

Коефіцієнт подібності текстових запозичень, виявлених у роботі системою StrikePlagiarism (КП1) **0,66 %**

Висновок щодо перевірки кваліфікаційної роботи (відмітити потрібне)

- Запозичення, виявлені у роботі, оформлені коректно і не містять ознак академічного плагіату, фабрикації, фальсифікації. Роботу прийняти до захисту**
- У роботі не виявлено ознак плагіату, фабрикації, фальсифікації, але надмірна кількість текстових запозичень та/або наявність типових розрахунків не дозволяють прийняти рішення про оригінальність та самостійність її виконання. Роботу направити на доопрацювання.
- У роботі виявлено ознаки академічного плагіату та/або в ній містяться навмисні спотворення тексту, що вказують на спроби приховування недобросовісних запозичень. Робота до захисту не приймається.

Експертна комісія:

к.т.н., доцент, зав. каф. МБІС Карпінець В.В. \_\_\_\_\_

к.ф.-м.н., доцент каф. МБІС Шиян А.А. \_\_\_\_\_

Особа, відповідальна за перевірку Коваль Н.П. \_\_\_\_\_

З висновком експертної комісії ознайомлений(-на)

Керівник \_\_\_\_\_

Здобувач \_\_\_\_\_

доц. Грицак А.В.

Молчан Є.В.